

Температурные возмущения

**Научный анализ планеты Марс и ее влияния на терроризм,
осадки и крахи фондового рынка**

Энтони из Бостона

Авторские права 2024 Энтони Мур

Все права защищены

Эта книга разделена на три различные академические статьи, которые используют достоверный научный анализ для объяснения того, как планета Марс оказывает влияние на земные дела посредством своего гравитационного притяжения. Этот гравитационный эффект влияет на температурные возмущения, которые в свою очередь влияют на климат и поведение человека. Это позволяет нам применять научные факты к моделям прогнозирования, где корреляция близка к 100%. Следовательно, мы можем сделать вывод из данных, что корреляция действительно указывает на причинно-следственную связь.

В первых двух статьях приводятся научные обоснования и доказательства того, что данные, показывающие корреляцию между ракетными атаками в ракетного огня из Газы обвалами фондового рынка с конфигурацией планеты Марс относительно Земли, свидетельствуют о том, что существует связь между физикой, задействованной на астрофизическом уровне, метеорологическими результатами и их влиянием на биологические процессы земных организмов, которые проявляют определенное поведение.

В третьей статье приводятся проницательные наблюдения, которые постулируют связь между расположением Луны и Марса со временем выпадения экстремальных осадков на Ближнем Востоке.

В этой книге приводятся ссылки на исследования 2014 и 2024 годов для уточнения научной основы исследования. Оба исследования связывают движения небесных объектов с изменениями погоды и климата. Другие исследования связывают изменения погоды с поведением человека. Все это можно проследить вплоть до орбиты планеты Марс.

Раздел I

Еще в 2019 году, используя данные о запуске ракет с 2005 года, я обнаружил, что враги Израиля проводили атаки таким образом, что было легко предсказать, когда они решат увеличить интенсивность этих атак. Наблюдая, когда Марс будет находиться в пределах 30 градусов от лунного узла в течение календарного года (с января по декабрь), я смог найти сильную корреляцию между эскалацией ракетного огня из Газы в Израиль относительно остальной части года. Было обнаружено, что с 2005 года боевики Газы запускали свой самый высокий уровень ракетного огня, когда Марс будет находиться в пределах 30 градусов от лунного узла. После многих лет успешных предсказаний для меня становится оправданным предоставить научное объяснение, которое помогло бы прояснить этот вопрос. Во-первых, позвольте мне предоставить основу и обоснование для начала исследования влияния Марса на поведение человека.

Эффект Марса, впервые представленный французским исследователем Мишелем Гокленом в 1955 году, представляет собой тезис, который предоставляет статистические доказательства, подтверждающие связь между положением планеты Марс и выдающимися спортивными чемпионами. Доказательства показали, что существует статистическая значимость появления Марса в ключевых областях астрологических карт крупных спортивных чемпионов. Гоклен разделил карту на 12 секторов и в своем исследовании астрологических карт тысяч элитных спортсменов обнаружил, что Марс был расположен в ключевых секторах, называемых восходящим сектором и кульминационным сектором, с вероятностью, большей, чем случайность. Базовая ставка для появления планеты в 2 из 12 секторов, основанная на случайности, составила 17%. В обширных выборках данных Гоклена Марс появлялся с частотой 22%, что больше, чем совпадение, и, таким образом, — отбросив все другие возможные значения — означает, что Марс должен иметь какое-то влияние. Таким образом, этого открытия достаточно, чтобы рационализировать веру во влияние Марса.

Профессор Сьютберт Эртель появился в 1980-х годах и разработал критерий расчета известности путем подсчета количества цитирований конкретного спортсмена в спортивных справочниках. Чем больше количество цитирований, тем больше известность. В своем тесте, используя коллекцию Гоклена вместе с его собственными критериями известности, он обнаружил, что эффект Марса играл более сильную роль среди спортсменов с большим количеством цитирований, подтверждая гипотезу Гоклена о том, что Марс чаще появляется в ключевых секторах на картах чемпионов по основным видам спорта. Значимость работы Гоклена заключается в том, что это был первый случай, когда астрологии было уделено научное внимание. Работа Гоклена и Эртеля является достаточно сильной искрой, чтобы оправдать веру во влияние Марса, и обеспечивает прочную основу для формирования новой системы, основанной на науке и эмпирических данных.

После того, как Гоклен и Эртель связали влияние Марса с научным потенциалом, я взял Марс и связал его с религиозным значением. Я взялся за решение древней тайны, касающейся числа зверя, 666, которое пришло из христианской библейской литературы. 666 — это число, которое вызвало много напряжения, потому что это число, связанное с Сатаной, великим противником и врагом Бога и Божьего народа. В христианской традиции 666 определяется как число зверя, и на протяжении веков было много попыток выяснить, что и кого обозначает это число. Традиционно это число связано с человеком, но другие приписывали его системам и царствам. В любом случае, было множество попыток ученых и мистиков разгадать тайну 666. Я приступил к решению загадки и придумал Марс 360, что является обращением Марса вокруг Солнца и его влиянием на человечество.

Используя английскую шумерскую гематрию, в которой буквы алфавита пронумерованы кратно 6...А=6, В=12, с=18 и т. д., я сложил буквы Марса и получил 306. После простого сложения 360 и 306, я получил 666 и связал Сатану с влиянием Марса или Марс 360. Имейте в виду, что в еврейской талмудической традиции Самаэль является царем демонов и заклятым врагом

Израиля и управляется Марсом. Таким образом, здесь у нас есть религиозная традиция, которая предшествует и предполагает будущее научное понимание влияния Марса.

Объединив это религиозное утверждение с научной поддержкой работы Гоклена относительно влияния Марса на выдающихся чемпионов спорта и попытавшись выяснить, может ли Марс применяться к другим земным вопросам, связанным с авраамическим этосом 666/зверя/Сатаны, я смог обнаружить, что положение Марса в пределах 30 градусов от лунного узла совпало с эскалацией ракетных обстрелов из Газы в Израиль с 2005 года. Важно отметить, что конкурентные качества, обозначенные в выводе в исследовании Гоклена о том, что Марс влияет на чемпионов спорта, также могут быть применены к солдатам или террористам в ситуациях, когда конечная цель — доминирование или уничтожение противника. Я обнаружил эту корреляцию в 2019 году. После этого я смог доказать, что это так в реальном времени. В моем исследовании статистика показывает, что Марс обычно совершает полный транзит в пределах 30 градусов от лунного узла в течение периода около 3-3,5 месяцев каждый календарный год, если только Марс не становится ретроградным во время выравнивания, что может продлить время этой конфигурации. Базовая ставка для предсказания того, что что-то произойдет в течение примерно трехмесячного периода в течение календарного года, составляет около 30,0%. По сути, любой, кто случайно выбирает 3,5 месяца в течение календарного года, имеет около 30% шансов предсказать временные рамки, в которые произойдет самый большой ракетный обстрел из Газы по Израилю. Однако в период между 2019 и 2024 годами, используя наблюдение за Марсом, я был точным в предсказании того, когда произойдет самая высокая концентрация запусков ракет по Израилю со 100% вероятностью успеха. В 2020 году Марс находился в пределах 30 градусов от лунного узла с 15 января по 3 апреля. Согласно данным, этот период охватывал самую высокую концентрацию запусков ракет по Израилю по сравнению со всем 2020 годом. В это время было запущено около 115 ракет, больше, чем в любое другое время в 2020 году. В 2021 году Марс прошел полную фазу нахождения в пределах 30 градусов от

лунного узла с 9 февраля по 13 мая. Более 4000 ракет были выпущены по Израилю к концу этой фазы, больше, чем в любое другое время в 2021 году. В 2022 году Марс прошел полную фазу нахождения в пределах 30 градусов от лунного узла с 22 июня по 19 сентября. Около 1100 ракет были выпущены по Израилю в этот период времени в начале августа, больше, чем в любое другое время в 2022 году. В 2023 году Марс прошел полную фазу нахождения в пределах 30 градусов лунного узла в период с 24 августа по 15 ноября, и за это время террористы выпустили 10 000 ракет по Израилю, больше, чем за любой другой период в 2023 году. В 2024 году Марс прошел полную фазу нахождения в пределах 30 градусов лунного узла в период с 12 апреля по 25 июня. За этот период ХАМАС и «Исламский джихад» выпустили около 770 ракет, что уже превысило количество, выпущенное за любой другой период в 2024 году.

Согласно данным о ракетных обстрелах из Газы, начиная с 2005 года, ХАМАС и Исламский джихад выпустили в общей сложности 26 722 ракеты по Израилю. С 2005 года по Израилю было выпущено 18 636 ракет, когда Марс находился в пределах 30 градусов от лунного узла. В любое другое время с 2005 года по Израилю было выпущено 8086 ракет. 68% от общего числа ракет, выпущенных по Израилю с 2005 года, были выпущены, когда Марс находился в пределах 30 градусов от лунного узла. За 15/20 лет между 2005 и 2024 годами большинство ракет, выпущенных в течение календарного года, были выпущены, когда Марс находился в пределах 30 градусов от лунного узла. За 20/20 лет между 2005 и 2024 годами месяц, содержащий самый высокий ракетный обстрел за год, также был месяцем, когда Марс находился в пределах 30 градусов от лунного узла. Это 100% корреляция.

Конечно, после встречи со многими скептиками, которые часто использовали оговорку, что корреляция не равна причинно-следственной связи, я был обязан предоставить более биологическое и геологическое объяснение, которое могло бы прояснить этот марсианский тезис за пределами простого статистического анализа. Но следует сказать, что любое начинание, которое применяет индуктивное рассуждение,

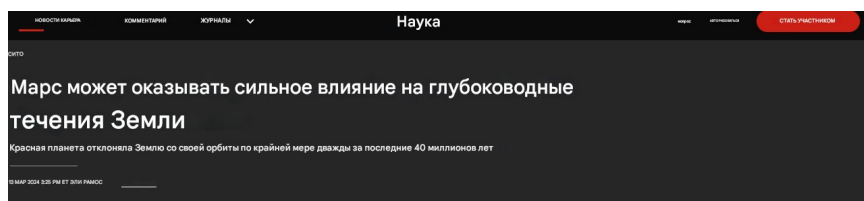
должно выдвинуть модель прогнозирования, и здесь у нас уже есть одна. В любом случае, давайте рассмотрим примеры некоторых теорий, выдвинутых о том, как Марс или небесные тела могут оказывать влияние на поведение человека.

Во время работы Гоклена над эффектом Марса было предпринято множество попыток объяснить, как Марс может оказывать геологическое или биологическое влияние на поведение человека. Гоклен предположил, что рождение плода было вызвано его реакцией на планетарные сигналы. Фрэнк Макгиллион, автор книги «Открывающийся глаз», объяснил это подробнее, выдвинув гипотезу о том, что сигналы воспринимаются шишковидной железой. Жак Альбронн и Серж Ютин, авторы книги «История астрологии», позже предположили, что убеждения человека формируются генетически. В 1990 году Перси Сеймур, автор книги «Доказательства науки», попытался объяснить, что сигналы, излучаемые планетами, являются результатом взаимодействия планетарных приливов и магнитосферы. Питер Робертс предположил, что сигналы от планет воспринимаются человеческой душой. Немецкий профессор психологии Арно Мюллер утверждал, что мужчины, рожденные с выдающимися планетами, являются доминирующими мужчинами с наибольшими репродуктивными правами. Эртель пытался выяснить, есть ли физическая основа для эффекта Марса. Он проверил Марс по отношению к Земле и проверил, вызовет ли расстояние между Землей и Марсом изменения в эффекте Марса. Угловой размер, склонение, орбитальное положение относительно Солнца и геомагнитная активность на Земле были исключены Эртелем как все, что могло бы физически объяснить эффект Марса. Я объясняю феномен Марса далее, постулируя и демонстрируя, как Марс создает эффект, когда он находится в пределах 30 градусов от лунного узла. Суть этого выравнивания и гипотезы по сути заключается в том, что чем ближе планета Марс к пересечению орбиты Луны и орбиты Земли, тем создается эффект, который заставляет людей проявлять более пессимистичные, циничные и агрессивные характеристики. Во время этой фазы инвесторы фондового рынка негативно относятся к рынку, в то время как активисты

становятся более агрессивными по сравнению с другими периодами, когда Марс не находится в пределах 30 градусов от лунного узла. Основная предпосылка, которую легко обосновать, заключается в том, что если Луна оказывает гравитационное воздействие на приливы океана, и поскольку люди состоят в основном из воды, то, таким образом, рационально полагать, что Луна может оказывать влияние на поведение человека. Однако я предположил, что Марс также должен оказывать подобное влияние, как и Луна.

Лунные узлы — это точки пересечения между плоскостью орбиты Луны вокруг Земли и плоскостью орбиты Земли вокруг Солнца. Начиная с 30 градусов от лунного узла, чем ближе орбита Марса вокруг Солнца к пересечению (лунному узлу) между орбитой Луны вокруг Земли и орбитой Земли вокруг Солнца, тем больше влияние Марса на земные события. Лучшее физическое объяснение, которое я могу дать, возможно, должно быть выведено из влияния Луны. Я предположил, что поскольку подтверждено, что Луна оказывает гравитационное притяжение на Землю, так что чем ближе Луна к Земле, тем выше приливы в океане, то Луна также должна влиять на настроение людей, потому что человеческое тело состоит в основном из воды. Поскольку это объяснение Марса основано на его положении по отношению к пересечению между плоскостью орбиты Луны и плоскостью орбиты Земли, я утверждаю, что Марс может оказывать влияние на людей аналогичным образом. Мой большой прорыв случился в 2024 году, когда ученые обнаружили, что Марс оказывает сильное гравитационное притяжение на Землю, приближая Землю к Солнцу, что приводит к фазам потепления и похолодания, которые длятся более 2 миллионов лет. Имейте в виду, что мои постулаты о Марсе, как и постулаты Гоклена, предшествуют этому научному открытию о том, что Марс действительно оказывает влияние на Землю. И вот теперь, в 2024 году, ученые начинают утверждать, что Марс действительно оказывает влияние на климат и океанские приливы Земли, что подтверждает мой тезис, а также тезис Гоклена.

Вот статья с сайта science.org: «Луна вызывает как приливы, так и отливы, но это не единственное небесное тело, которое влияет на воды Земли. Согласно исследованию, опубликованному в Nature Communications на этой неделе, гравитация Марса влияет на глубоководные течения нашей планеты».



Вот отрывок из статьи.

Исследование, опубликованное в Nature Communications на этой неделе. Сравнивая более 50 лет записей глубоководного бурения со сдвигами орбиты Земли, исследователи обнаружили, что гравитационное воздействие Марса на Землю заставляет ее слегка колебаться вокруг своей оси. Каждые 2,4 миллиона лет орбита Марса подходит достаточно близко к Земле, чтобы ее гравитация могла повлиять на нее, наклонив обычный путь и ориентацию Земли. Это орбитальное смещение приводит к тому, что Земля подвергается большему воздействию солнечного света, что приводит к потеплению климата, что, в свою очередь, возбуждает океанские течения и делает их сильнее. Однако некоторые исследователи сомневаются, что слабое гравитационное притяжение Марса является истинной причиной этих изменений, сообщает New Scientist.

Это открывает шлюзы для влияния Марса, и с этой информацией мы можем развить более глубокое понимание того, как Марс влияет на поведение человека. Согласно этому научному открытию, поскольку Марс движется вокруг Солнца, он оказывает гравитационное притяжение на Землю, в конечном итоге влияя на наклон оси Земли и плоскость орбиты, что приводит к периодам потепления и охлаждения в течение длительных периодов времени, фактически миллионов лет. С этим пониманием мы можем утверждать, что даже в течение календарного года, поскольку Марс вращается вокруг Солнца, он все еще оказывает некоторую меру гравитационного притяжения и некоторую степень потепления, хотя и очень незначительную. Это объясняет вращение Марса вокруг

Солнца, что позволяет нам также объяснить, как лунный узел учитывается во всем этом.

По данным НАСА, Луна удаляется от Земли на расстояние 3 сантиметра каждый год из-за расширения орбиты Луны. Я бы предположил, что Марс может быть катализатором, вызывающим этот эффект, когда Марс проходит в пределах 30 градусов от лунного узла. Позвольте мне объяснить.

Между всеми объектами во вселенной существует гравитационное притяжение. Гравитационное притяжение массы не только влияет на положение и ориентацию других масс и наоборот, оно также может влиять на орбитальные плоскости других масс и наоборот. Это то, что происходит, когда Марс проходит в пределах 30 градусов от лунного узла — по сути, масса Марса оказывает гравитационное притяжение на орбитальную плоскость Луны вокруг Земли. Она делает это через лунный узел.

Лунный узел — это просто точка, в которой плоскость орбиты Луны вокруг Земли пересекает плоскость орбиты Земли вокруг Солнца. Я предполагаю, что эта точка пересечения подвергает плоскость орбиты Луны гравитационному притяжению Марса, когда Марс находится в пределах 30 градусов от лунного узла, что, по сути, со временем приблизит плоскость орбиты Луны к Солнцу, что в дальнейшем отдаляет саму Луну от Земли на расстояние 3 см каждый год. С новым пониманием того, что Марс вращается вокруг Солнца и оказывает гравитационное воздействие на наклон оси Земли, что приводит к периодам потепления и охлаждения в течение миллионов лет и даже в течение более коротких промежутков времени, мы теперь можем сделать вывод, что когда Марс проходит в пределах 30 градусов от лунного узла, Марс также оказывает гравитационное воздействие на орбитальный путь Луны и растягивает орбитальную плоскость Луны, отдаляя Луну от Земли, что, следовательно, будет иметь дестабилизирующий эффект на колебание Земли, поскольку именно Луна отвечает за поддержание стабильного колебания Земли. Исследователи утверждают, что по мере того, как Луна продолжает

удаляться от Земли, Земля, следовательно, станет подвержена сильным колебаниям в климатических моделях, поскольку уменьшающееся влияние Луны на стабилизацию колебания Земли приведет к тому, что колебание Земли станет неустойчивым, что приведет к резким сезонным изменениям. Принимая во внимание Марс, мы теперь можем понять эту динамику.

С этой точки зрения мы можем просто применить соответствующую агрессию, экстраполированную из влияния Марса, к более высоким температурам, поскольку существует большой объем научных доказательств, связывающих агрессию с более высокими температурами — мы можем установить это как аксиому для нашего исследования влияния Марса на поведение человека. Но в этом случае мы должны выдвинуть гипотезу, что соответствующая агрессия исходит из более высокой температуры по отношению к средней, и что эти сценарии могут быть связаны с тем, что Марс находится в пределах 30 градусов от лунного узла. Теперь можно сделать вывод, что когда Марс находится в пределах 30 градусов от лунного узла, он способен оказывать еще большее гравитационное влияние на наклон оси Земли, подтягивая плоскость орбиты Луны, тем самым расширяя плоскость орбиты Луны, постепенно отдаляя Луну от Земли и, таким образом, уменьшая стабилизирующее влияние Луны на колебание Земли, что подвергнет Землю более резким колебаниям температуры, даже если Марс продолжает оказывать гравитационное притяжение на Землю, вращаясь вокруг Солнца. Это должно, таким образом, сильнее влиять на температуру и поведение человека. Это может объяснить, почему есть свидетельства того, что действия человека более радикальны, когда Марс находится в пределах 30 градусов от лунного узла.

Эти критики влияния Марса больше не могут отрицать влияние Марса и приписывать агрессию из Газы или Ближнего Востока или откуда-либо еще более теплым температурам, которые наступают весной и летом. Я могу развенчать

утверждение, что воинственная агрессия может быть просто приписана сезонным изменениям погоды, а не влиянию Марса.

Те, кто утверждает, что любой может предсказать самую высокую эскалацию ракетного обстрела Израиля, ожидая, что это произойдет в теплые месяцы, могут проверить свою теорию. Их теория дает 7-месячное окно, что намного больше, чем то, что есть у меня в 3,5 месяца. Вот мои временные рамки ожидания эскалации ракетного обстрела с использованием Марса в пределах 30 градусов от лунного узла, которые были точны каждый год

15 января 2020 г. — 3 апреля 2020 г. — наивысшая эскалация произошла в феврале.

9 февраля 2021 г. — 13 мая 2021 г. — наивысшая эскалация произошла в мае.

22 июня 2022 г. - 19 сентября 2022 г. - самая высокая эскалация произошла в августе.

24 августа 2023 г. — 15 ноября 2023 г. — наивысшая эскалация произошла в октябре.

12 апреля 2024 г. - 25 июня 2024 г. - самая высокая эскалация на данный момент произошла в мае.

Если бы за последние 5 лет кто-то попытался предсказать, что самая высокая эскалация ракетных обстрелов Израиля относительно остального года произойдет в весенние и летние месяцы между 20 марта и 20 сентября (окно в 7 месяцев), они были бы правы в 3 из последних 5 лет. Однако они бы ошиблись в 2020 и 2023 годах, когда это действительно имело бы значение, особенно учитывая масштаб атак 7 октября 2023 года . Таким образом, даже при 7-месячном окне они не будут столь же точными, как те, кто использует 3,5-месячный период, в течение которого Марс находится в пределах 30 градусов от лунного узла.

Более того, я могу утверждать, что более высокие температуры относительно среднего значения могут вызвать насилие на Ближнем Востоке из-за гравитационного притяжения Марса к Земле, приближая ее к Солнцу. Здесь легко запутаться, потому что можно заметить, что Марс находится дальше от Солнца, чем Земля, что приводит к мысли, что любое гравитационное притяжение Марса только отдалило бы Землю от Солнца. Визуализация того, как Марс и Земля вращаются вокруг Солнца, а также того, как бывают моменты, когда Марс находится ближе всего к Земле и дальше всего от Земли, может помочь избежать путаницы. По мере того, как Марс вращается вокруг Солнца, чем дальше он от Земли, тем больше его гравитационное притяжение приближает наклон оси Земли к Солнцу. И наоборот, чем ближе Марс к Земле в своем вращении вокруг Солнца, тем больше гравитационное притяжение Марса отдаляет наклон оси Земли от Солнца. Вот наглядное



В этом примере гравитация Марса притягивает Землю к Солнцу.



В этом примере гравитация Марса притягивает Землю к Солнцу. Марс также притягивает орбитальную траекторию Луны через лунный узел X



С научным открытием о гравитационном влиянии Марса на Землю и его влиянии на климат Земли мы можем согласиться, что этот эффект Марса, способствующий длительным периодам земного охлаждения и потепления, является результатом медленного изменения Марсом наклона оси Земли и орбитальной траектории. Во время гравитационного влияния Марса, посредством которого он притягивает наклон Земли ближе к Солнцу, подвергая ее большему воздействию солнечной радиации, плоскость орбиты Земли также подвергается влиянию, становясь более эллиптической с течением времени, что подвергает Землю большему тепловому излучению в перигелии, чем в афелии. В настоящее время орбитальная траектория Земли близка к круговой, с разницей в тепловом излучении в перигелии и афелии всего в 6%.

Наклон Земли является основным фактором, объясняющим изменения температуры, в отличие от близости Земли к Солнцу. Фактически, в январе Земля расположена ближе всего к Солнцу, но в это время температура ниже. В то время как в июле Земля дальше всего от Солнца, но температура все равно выше. Причина этой динамики объясняется тем, как наклон оси Земли влияет на то, как солнечные лучи попадают на Землю. Летом лучи от Солнца попадают на Землю под крутым углом и не распространяются, что приводит к большей концентрации энергии, попадающей на Землю. Это контрастирует с зимой, когда Солнце попадает на Землю под более пологим углом, где солнечные лучи более рассеяны и менее интенсивны с точки зрения энергии. Можно попытаться применить эту динамику к ситуации с ракетным обстрелом в Газе, но, как уже объяснялось, использование весенних и летних месяцев привело бы к ошибке в расчетах в 2 из 5 лет, которые я использовал в качестве примера. Если мы учтем Марс, мы можем начать утверждать, что расположение Марса по отношению к Земле будет влиять на средние температуры в любой данный сезон. Например, предположим, что Марс находится дальше всего от Земли, в пределах 30 градусов от лунного узла, но оказывая гравитационное воздействие на наклон оси Земли, приближает угол к Солнцу, хотя и на незначительный градус. Результатом,

теоретически, независимо от сезона, должна быть более высокая средняя температура, возможно, больше осадков, и, таким образом, подвергать людей более высокому уровню агрессии. Вот пример. Вот визуализация того, как Марс выровнялся с Землей 7 октября ' в день, когда ХАМАС начал масштабную террористическую операцию против Израиля. Марс находился в пределах 30 градусов от лунного узла, но далеко от Земли, но оказывая гравитационные силы, притягивающие наклон оси Земли к Солнцу



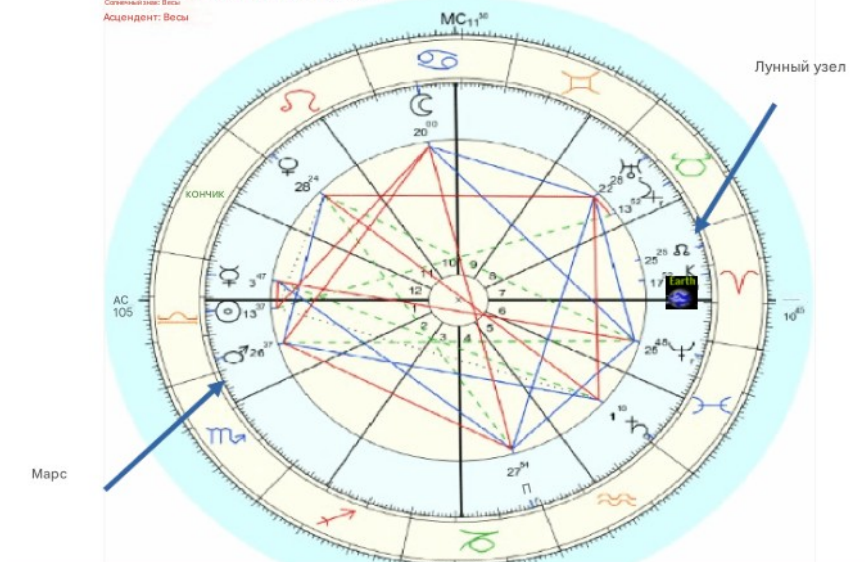
Вот астрологическая карта на 7 октября. В астрологической карте Земля всегда находится напротив Солнца. Я добавил значок

Имя: Ракетный обстрел Гази
рождения в субботу, 7 октября 2023 г.
в городе Гази, ISRL
34628, 31n30

Время: 6:30 утра.
Время ун-та: 3:30
Сид. Время: 6:49:59

АСТРОДИНАТ
www.astro.com
Тип: 2.78x 0.0-1.25-OKL-2023

Натальная карта (Метод: Веб-стиль / Плацидус)
Солнечный знак: Весы
Асцендент: Весы



Это пример крупной атаки, произошедшей осенью, а не в типичный период времени, известный как вызывающий агрессию. Таким образом, мы можем рассмотреть здесь фактор Марса. Я предположил, что влияние Марса на агрессию связано не с более высокими температурами в целом, а с более высокими температурами относительно среднего значения. Октябрь 2023 года был самым теплым октябрем, когда-либо зарегистрированным.



На планете только что был зафиксирован самый теплый октябрь за всю историю наблюдений

На данный момент 2023 год является рекордно теплым для планеты

Направление: Спутники, Климат Темы: климат, жара, морской лед, климатические данные, засуха, тепло океана, ежемесячный климатический отчет

Делиться:



15 ноября 2023 г.

Климат в цифрах

Октябрь 2023 г.

Средняя глобальная температура в октябре составила 2,41 градуса по Фаренгейту (1,34 градуса по Цельсию) выше среднего показателя XX века в 57,1 градуса по Фаренгейту (14,0 градуса по Цельсию), что стало самым теплым октябрём в истории наблюдений. Это на 0,43 градуса по Фаренгейту (0,24 градуса по Цельсию) выше предыдущего рекорда октября 2015 года. Глобальная температура поверхности океана также установила рекордно высокий уровень уже седьмой месяц подряд.

Существует большой корпус информации, исследований и разработок, которые связывают более высокие температуры с агрессией и снижением когнитивных функций, однако, что касается тезиса о Марсе и того, как он влияет на агрессию, я утверждаю, что более высокие температуры по отношению к среднему значению вызывают агрессию и снижают когнитивные функции. Я также предполагаю, что эти более высокие температуры по отношению к среднему значению должны теоретически приводить к осадкам выше среднего.

Я приложил к этому документу данные о ракетных обстрелах из Газы для справки.

Эта статистика касается только боевиков в секторе Газа и всех ракетных обстрелов Израиля из сектора Газа с 2005 года.

Существует закономерность, при которой наибольшая концентрация ракетных обстрелов Израиля в течение календарного года происходит, когда Марс находится в пределах 30 градусов от лунного узла. Это происходит с частотой 70% с 2005 года.

Начиная с 2005 года, каждый год месяцем с наибольшим количеством запусков ракет в году становится месяц, в течение которого Марс в какой-то момент времени находился в пределах 30 градусов от лунного узла.

Рисунок Н - Ракетные обстрелы Израиля из Газы

* Месяц с наибольшим количеством ракетных обстрелов

	2005	2006	2007	2008	2009	2010	2011	2012
Янв	40	7	28	136	345*	13	17	9
Фев	5	9	43	228	52	5	6	36
Мар	23	41	31	103	34	35*	38	173
Апр	34	79	25	373*	5	5	87	10
Май	77	54	257*	206	1	14	1	3
Июнь	129	140	63	153	2	14	4	83
Июль	211*	191*	61	4	1	13	20	18
Авг	50	41	81	8	1	14	145*	21
Сент	61	40	70	1	-10	16	8	17
Окт	26	52	53	1	1	3	52	116
Ноя	42	157	65	125	4	5	11	1734*
Дек	76	50	113	361	4	15	30	1

Рисунок Н - Ракетные обстрелы Израиля из Газы

* Месяц с наибольшим количеством ракетных обстрелов

	2013	2014	2015	2016	2017	2018	2019
Янв	0	22	0	0*	0	6	0
Фев	1	9	0	0	7*	4	0
Мар	4	65	0	5	2	0	3
Апр	17*	19	1	0	1	0	0
Май	1	4	1	2	1	70	600*
Июнь	5	62	3	0	1	64	3
Июль	5	2,874*	1	2	2	174*	0
Авг	4	950	3	1	1	8	0
Сент	8	0	4	0	0	0	1
Окт	3	1	5*	0	1	0	0
Ноя	0	0	3	0	0	17	455
Дек	4	1	4	0	7	0	4

Рисунок Н - Ракетные обстрелы Израиля из Газы

* Месяц с наибольшим количеством ракетных обстрелов

	2020	2021	2022	2023	2024	2025	2026
Янв	8	3	0	1	357		
Фев	104*	0	0	8	165		
Мар	0	0	0	0	104		
Апр	0	45	5	66	113		
Май	1	4375*	0	1470	452*		
Июнь	3	0	1	0	205		
Июль	3	0	4	6	216		
Авг	15	1	1100*	0	116		
Сент	13	2	0	0			
Окт	3	0	0	8500*			
Ноя	3	0	4	2000			
Дек	2	0	1	1000			

Даты Марса в пределах 30 градусов от лунного узла

29 мая 2005 г. - 29 августа 2005 г. 17 ноября 2005 г. - 27 декабря 2005 г. 20 июля 2006 г. - 14 октября 2006 г. 19 марта 2007 г. - 30 мая 2007 г.
 28 апреля 2008 г. - 31 июля 2008 г. 8 января 2009 г. - 24 марта 2009 г. 24 авг. 2009 г. - 2 мая 2010 г. 02 ноя 2010 - 18 янв 2011
 11 июня 2011 г. - 1 сентября 2011 г. 24 августа 2012 г. — 12 ноября 2012 г. 03 апр. 2013 г. - 22 июня 2013 г. 19 дек. 2013 г. - 28 авг. 2014 г.
 27 января 2015 г. - 12 апреля 2015 г. 27 сентября 2015 г. - 26 декабря 2015 г. 21 ноя 2016-01 фев 2017 11 июля 2017 г. - 10 октября 2017 г.
 8 апреля 2018 г. - 14 ноября 2018 г. 01 мая 2019 г. - 29 июля 2019 г. 15 января 2020 г. - 3 апреля 2020 г.

Ниже приведены будущие даты Марса в пределах 30 градусов от лунного узла.

9 февр. 2021 г. — 13 мая 2021 г.
 4 ноября 2021 г. — 22 января 2022 г.
 22 июня 2022 г. 19 сентября 2022 г.
 26 дек. 2022 г. — 24 янв. 2023 г.

24 авг. 2023 г. — 15 нояб. 2023 г.
 12 апреля 2024 г. — 25 июня 2024 г.
 5 июня 2025 г. — 4 сентября 2025 г.
 4 февраля 2026 г. — 19 апреля 2026 г.
 27 сентября 2026 г. — 12 июня 2027 г.

В течение пяти лет подра мне удавалось предсказать, когда будет наблюдаться наибольшая концентрация ракетного обстрела
Израиль появится в течение календарного года.

В последние пять лет прогнозировалось, что самая высокая эскалация ракетных обстрелов в течение календарного года произойдет
произойдет в то время, когда Марс будет находиться в пределах 30 градусов от лунного узла.

- 15 января 2020 г. — 3 апреля 2020 г. — <https://www.youtube.com/watch?v=e5Gx04ZW2fc>
- 9 февраля 2021 г. - 13 мая 2021 г. - <https://www.youtube.com/watch?v=v1sA-ZS73Lw&t>
- 22 июня 2022 г. - 19 сентября 2022 г. - <https://www.youtube.com/watch?v=6EniWVOTWew&t>
- 24 августа 2023 г. — 15 ноября 2023 г. — <https://www.youtube.com/watch?v=IgbNPEO9q54&t>
- 12 апреля 2024 г. - 25 июня 2024 г. - https://www.youtube.com/watch?v=qW_-CiWu5bO&t

<https://www.youtube.com/@anthonym1690>

По данным о ракетных обстрелах из Газы с 2005 года, ХАМАС и «Исламский джихад» выпустили в общей сложности 26 722 ракеты по Израилю.

С 2005 года по Израиль было выпущено 18 636 ракет, когда Марс находился в пределах 30 градусов от лунного узла.

В любой другой момент с 2005 года по Израиль было выпущено 8086 ракет.

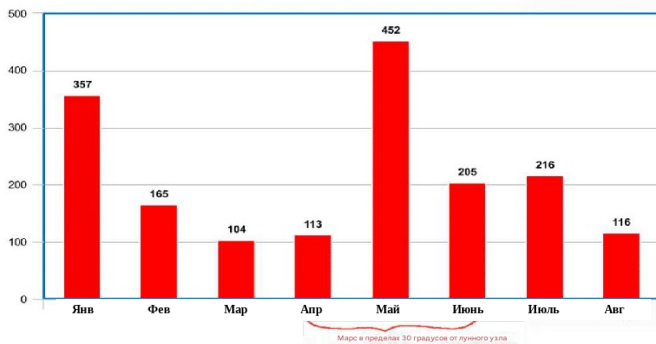
68% от общего числа ракет, выпущенных по Израилю с 2005 года, были выпущены, когда Марс находился в пределах 30 градусов от лунного узла.

В течение 15/20 лет между 2005 и 2024 годами большинство ракет, запущенных в течение календарного года, были запущены, когда Марс находился в пределах 30 градусов от лунного узла.

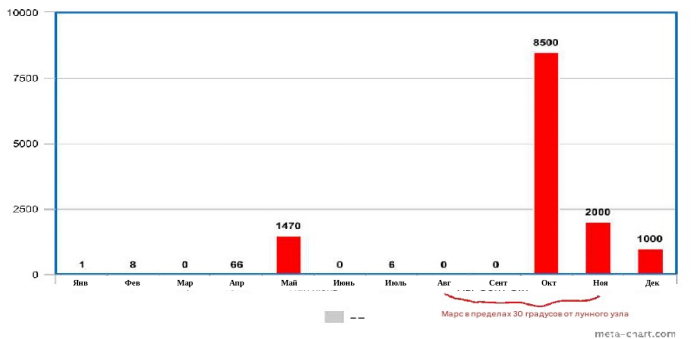
В течение 20/20 лет между 2005 и 2024 годами месяц, в течение которого наблюдался самый высокий уровень ракетных запусков в году, также приходился на тот момент, когда Марс находился в пределах 30 градусов от лунного узла.

Ниже представлены графики ракетных обстрелов Израиля с 2005 года.

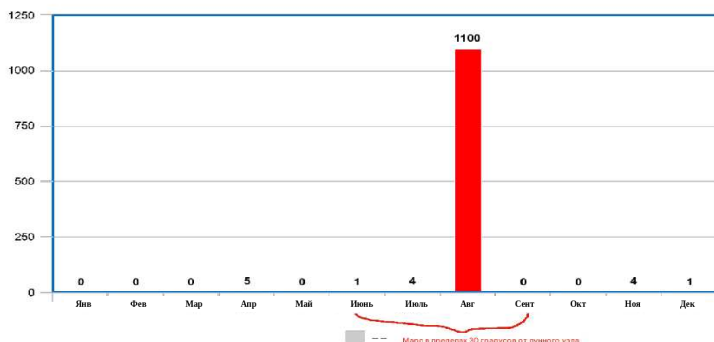
Ракетный обстрел Израиля в 2024 году



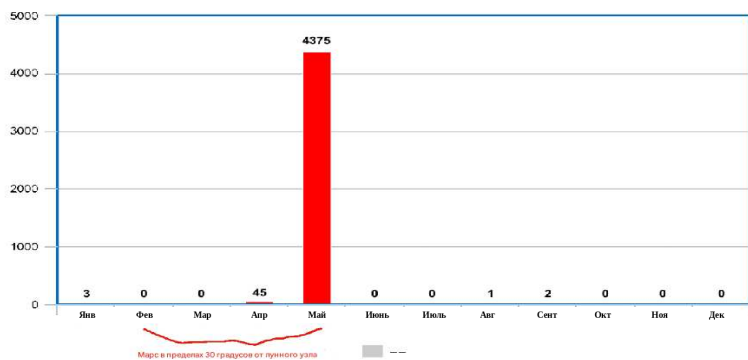
Ракетный обстрел Израиля в 2023 году



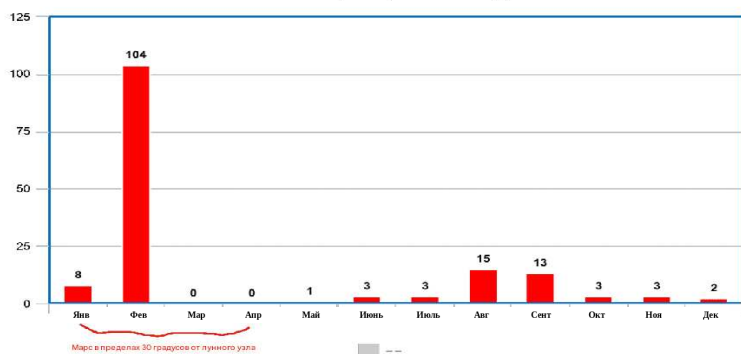
Ракетный обстрел Израиля в 2022 году



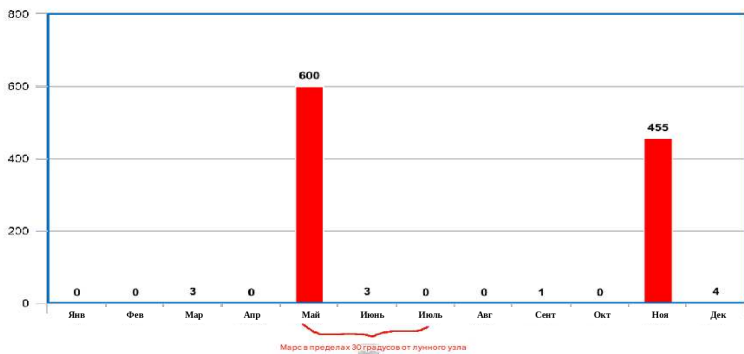
Ракетный обстрел Израиля в 2021 году



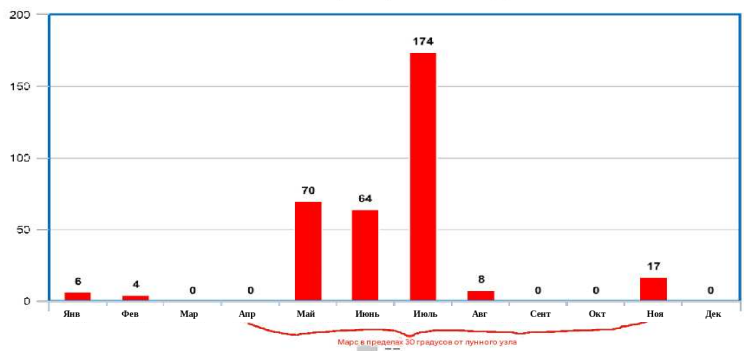
Ракетный обстрел Израиля в 2020 году



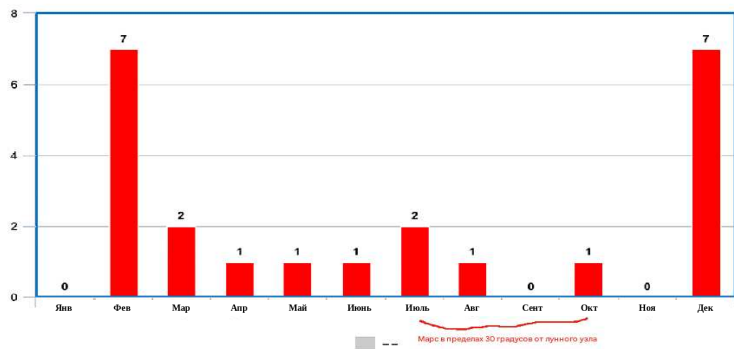
Ракетный обстрел Израиля в 2019 году



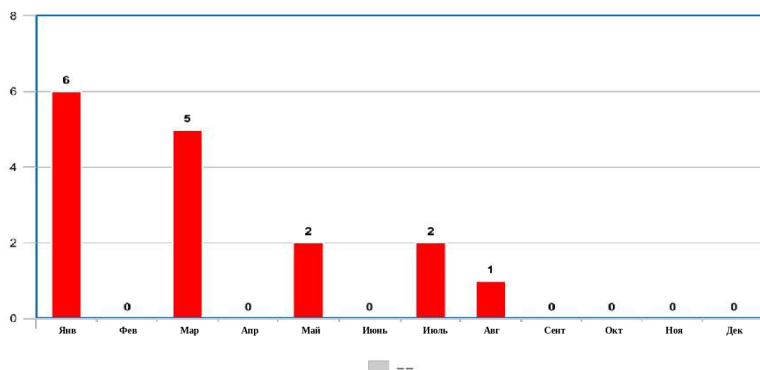
Ракетный обстрел Израиля в 2018 году



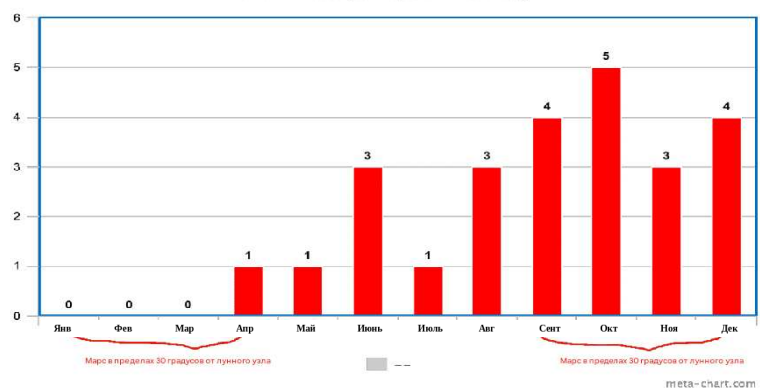
Ракетный обстрел Израиля в 2017 году



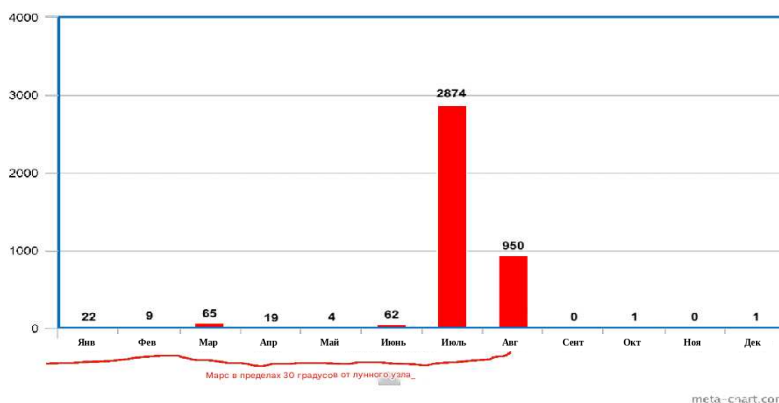
Ракетный обстрел Израиля в 2016 году



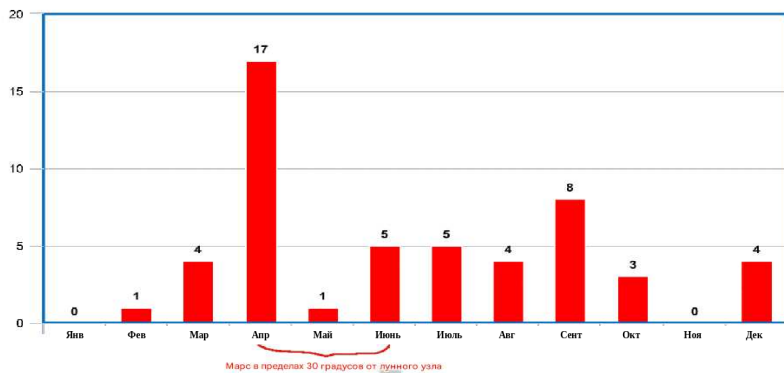
Ракетный обстрел Израиля в 2015 году



Ракетный обстрел Израиля в 2014 году

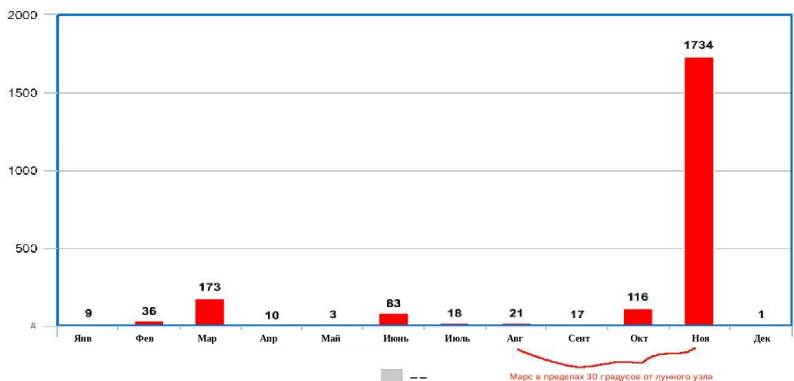


Ракетный обстрел Израиля в 2013 году



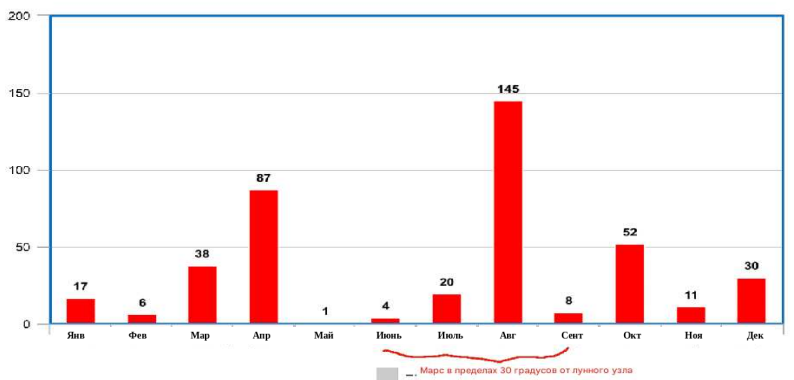
meta-chart.com

Ракетный обстрел Израиля в 2012 году



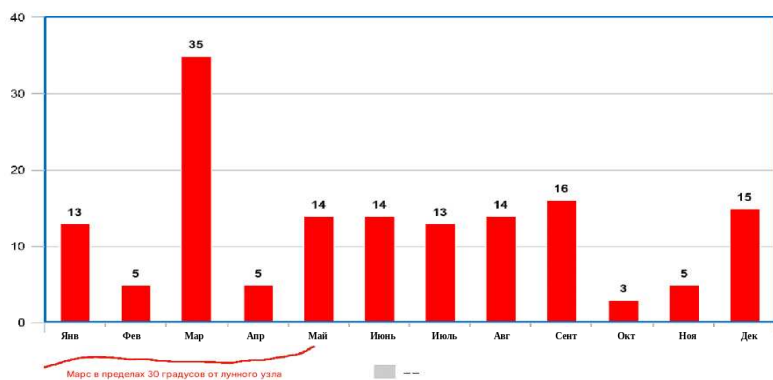
meta-chart.com

Ракетный обстрел Израиля в 2011 году

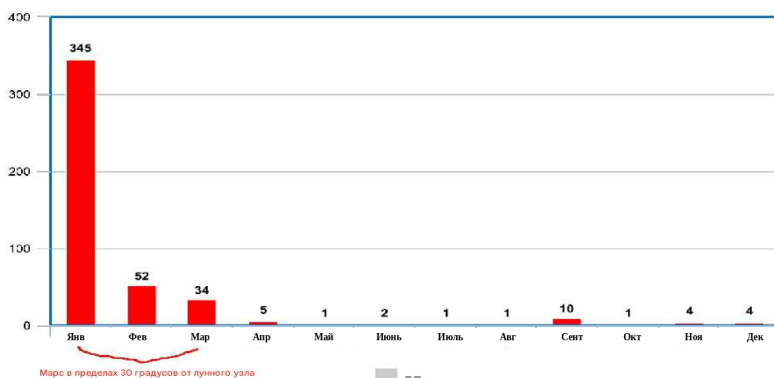


meta-chart.com

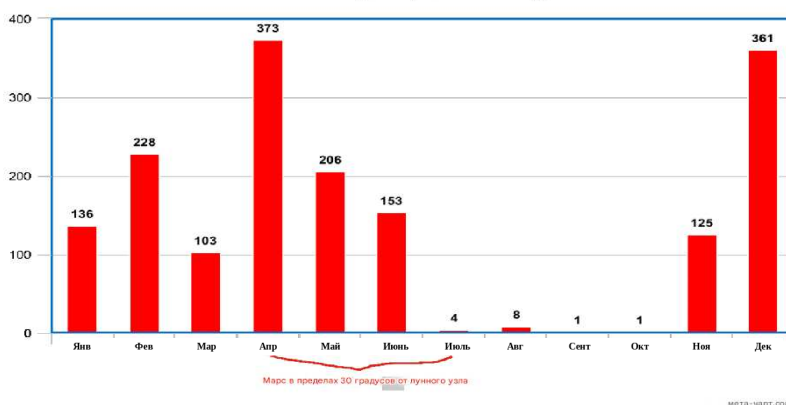
Ракетный обстрел Израиля в 2010 году.



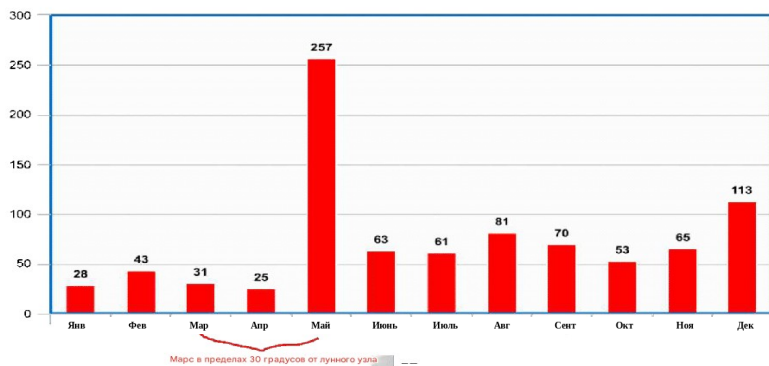
Ракетный обстрел Израиля в 2009 году.



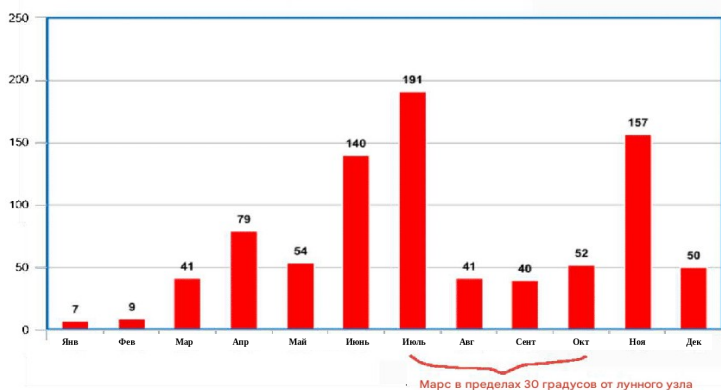
Ракетный обстрел Израиля в 2008 году.



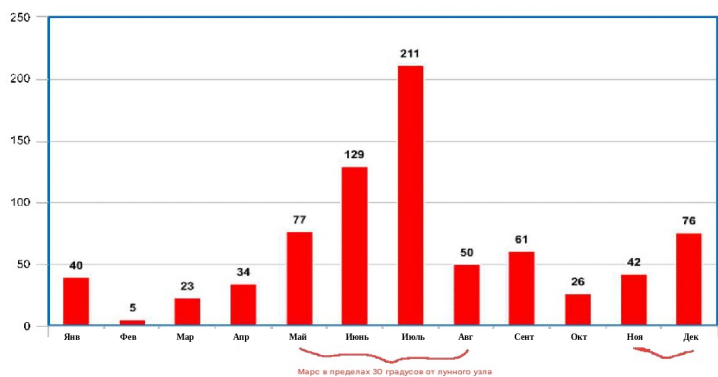
Ракетный обстрел Израиля в 2007 году



Ракетный обстрел Израиля в 2006 году



Ракетный обстрел Израиля в 2005 году



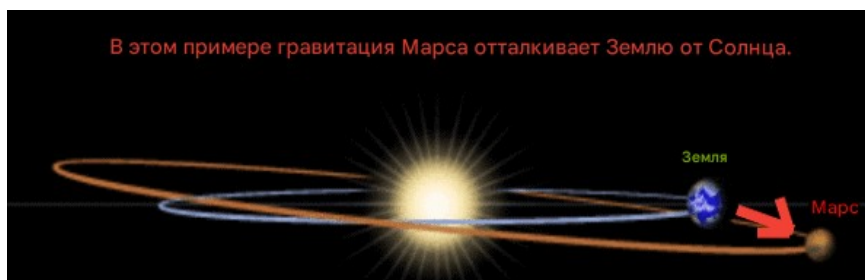
meta-chart.com

Раздел II

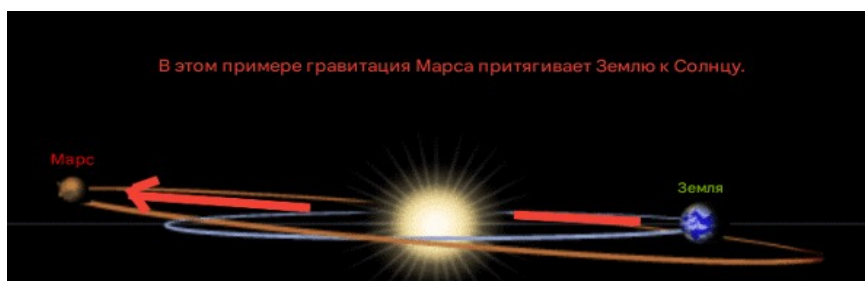
В этом разделе изложены 25 основных крахов и спадов фондового рынка в истории США. Данные показывают 100%-ную корреляцию между такими событиями и положением Марса по отношению к Земле. Каждый крах фондового рынка и крупный спад акций в истории США происходили, когда Марс находился на орбите позади Солнца с точки зрения Земли.

Чтобы получить соответствующий контекст относительно того, что демонстрирует эта статья, важно принять во внимание недавнее исследование, опубликованное в Nature Communications в марте 2024 года, примерно через 5 лет после того, как эта идея была впервые представлена общественности. В этом исследовании, опубликованном в марте 2024 года, исследователи обнаружили, что Марс оказывает гравитационное притяжение на наклон Земли, подвергая Землю более высоким температурам и большему количеству солнечного света, и все это в течение цикла в 2,4 миллиона лет. Я утверждаю, что это позволяет нам предположить, что даже в меньших временных рамках Марс все еще оказывает гравитационное притяжение на наклон оси Земли, достаточное для повышения температуры, когда планета находится в пределах 30 градусов от лунного узла, что может повлиять на поведение человека. Ссылаясь на факт многочисленных исследований, которые связывают агрессию и раздражительность с более высокими температурами, я устанавливаю аксиому, а затем утверждаю, что Марс в пределах 30 градусов от лунного узла должен влиять на мозг, снижая познавательные способности и вызывая агрессию и раздражительность.

Вот визуализация того, что происходит, когда Марс движется вокруг Солнца и оказывает гравитационное воздействие на наклон оси Земли. На этой первой графике гравитация Марса оттягивает наклон Земли от Солнца.



На следующем рисунке гравитация Марса тянет Землю к Солнцу.



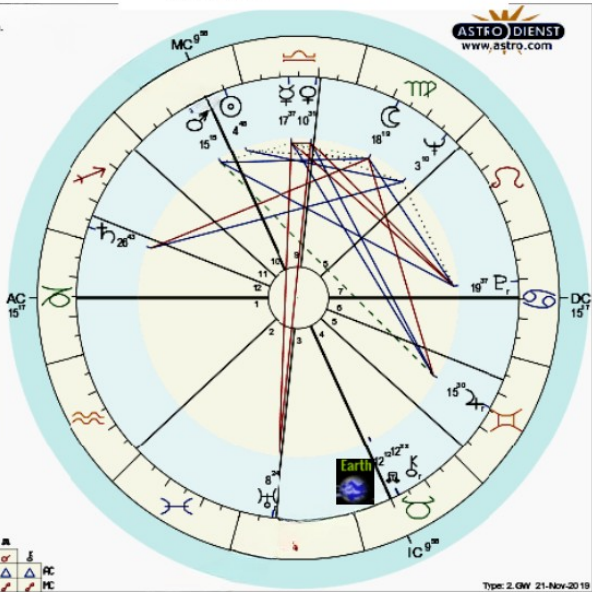
В этом последнем визуальном представлении этот сценарий должен иметь наиболее заметное влияние на поведение человека. Вот как этот сценарий Марса, тянущего наклон Земли к Солнцу, отображается в астрологической карте. Это карта краха фондового рынка 28 октября 1929 года. Планета Земля всегда находится напротив Солнца в астрологической карте.

-12.82%

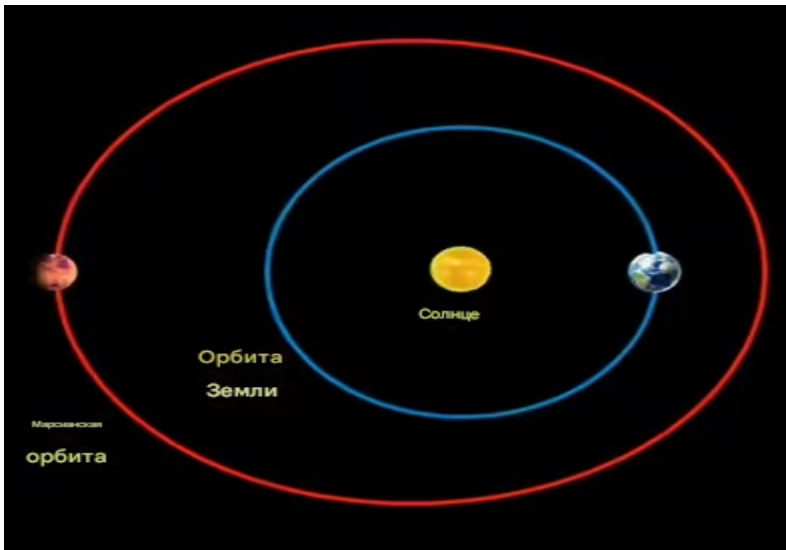
Dow Jones
 Mo., 28 October 1929 Time: 12:00 p.m.
 New York, NY (US) Univ. Time: 17:00
 74w00, 40n43 Sid. Time: 14:30:12

Event Chart
 Method: Web Style / Placidus
 Sun sign: Scorpio
 Ascendant: Capricorn

☉ Sun	4 Sco 47° 39"
☾ Moon	18 Vir 18° 35"
☿ Mercury	17 Lib 37° 15"
♀ Venus	10 Lib 30° 38"
♂ Mars	15 Sco 15° 24"
♃ Jupiter	19 Gem 30° 23"
♄ Saturn	26 Sag 42° 51"
♅ Uranus	8 Ari 24° 21"
♆ Neptune	3 Vir 10° 8"
♇ Pluto	19 Can 37° 6"
♁ True Node	12 Tau 11° 46"
♂ Chiron	12 Tau 21° 50"
MC 15 Cap 17°	2:28 Aqu 19° 3 9 Ari 23°
PC 9 Sco 58° 11:	3 Sag 13° 12:23 Sag 37°

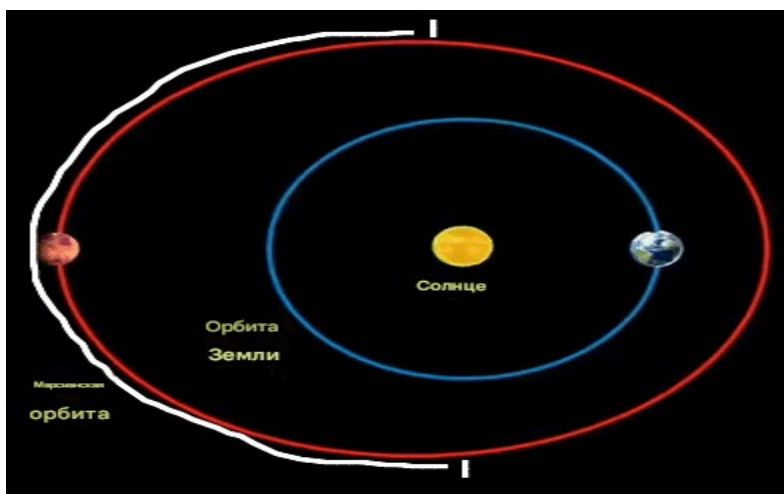


Вот вид сверху на тот же сценарий планетарной конфигурации.



Во время всех крупных обвалов фондового рынка и однодневных падений Марс находился где-то вдоль белой линии, как показано на этом графике, что, согласно исследованию, указывает на то, что Марс тянет Землю к Солнцу, вызывая раздражительность.

Вот как этот же визуальный образ представлен в астрологической карте. Смотрите следующую страницу.



Обратите внимание на белую линию.

-12.82%

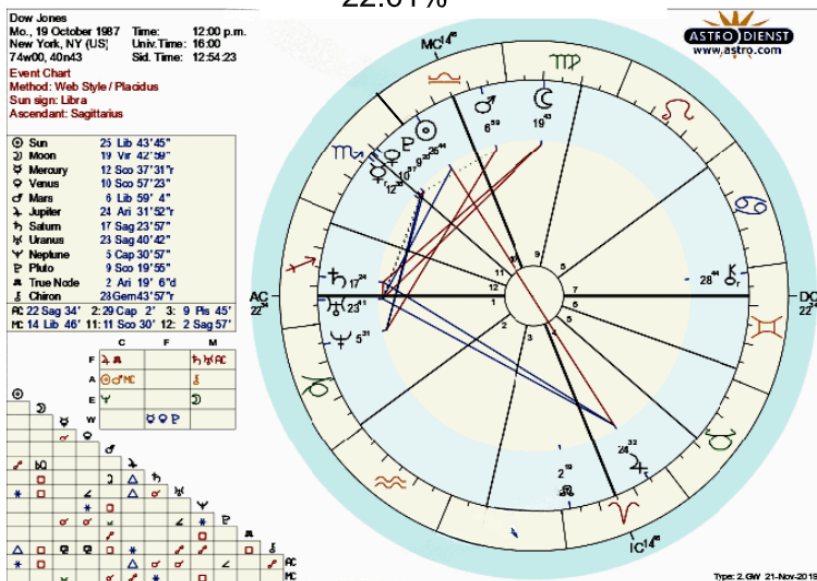
Dow Jones
Mo., 28 October 1929 Time: 12:00 p.m.
New York, NY (US) Univ Time: 17:00
74w00, 40n43 Sid. Time: 14:30:12
Event Chart
Method: Web Style / Placidus
Sun sign: Scorpio
Ascendant: Capricorn

☉ Sun	4 Sco 47'39"
☾ Moon	18 Vir 18'35"
☿ Mercury	17 Lib 37'15"
♀ Venus	19 Lib 30'38"
♂ Mars	15 Sco 15'24"
♃ Jupiter	13 Gem 30'23"
♄ Saturn	28 Sag 42'51"
♅ Uranus	8 Ari 24'21"
♆ Neptune	3 Vir 10' 8"
♇ Pluto	19 Can 37' 0"
♁ True Node	12 Tau 11'40"
♂ Chiron	12 Tau 21'50"
♈ MC	15 Cap 17' 2:28 Aqu 19' 3: 9 Ari 23'
♏ IC	9 Sco 58' 11: 3 Sag 13' 12:23 Sag 37'

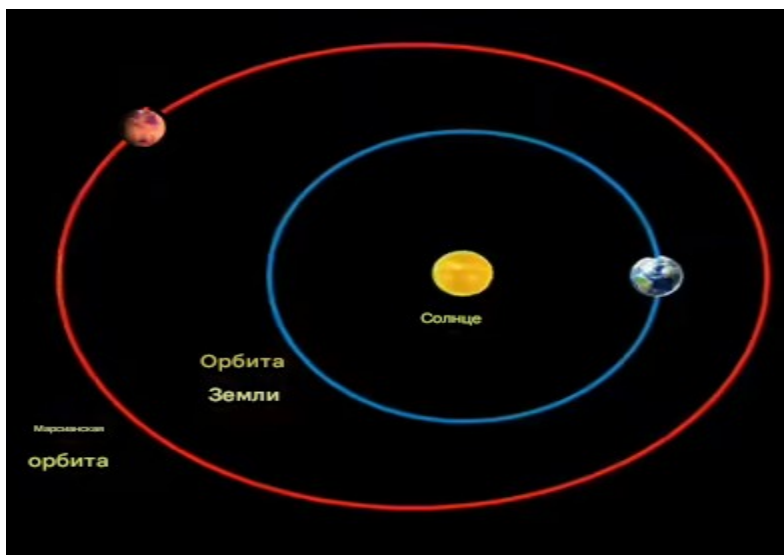
		C	F	M
☉				
☾				
☿				
♀				
♂				
♃				
♄				
♅				
♆				
♇				
♁				
♂				
♈				
♏				
♐				
♑				
♒				
♓				
♈				
♏				
♐				
♑				
♒				
♓				
♈				
♏				
♐				
♑				
♒				
♓				
♈				
♏				
♐				
♑				
♒				
♓				
♈				
♏				
♐				
♑				
♒				
♓				
♈				
♏				
♐				
♑				
♒				
♓				
♈				
♏				
♐				
♑				
♒				
♓				
♈				
♏				
♐				
♑				
♒				
♓				
♈				
♏				
♐				
♑				
♒				
♓				
♈				
♏				
♐				
♑				
♒				
♓				
♈				
♏				
♐				
♑				
♒				
♓				
♈				
♏				
♐				
♑				
♒				
♓				
♈				
♏				
♐				
♑				
♒				
♓				
♈				
♏				
♐				
♑				
♒				
♓				
♈				
♏				
♐				
♑				
♒				
♓				
♈				
♏				
♐				
♑				
♒				
♓				
♈				
♏				
♐				
♑				
♒				
♓				
♈				
♏				
♐				
♑				
♒				
♓				
♈				
♏				
♐				
♑				
♒				
♓				
♈				
♏				
♐				
♑				
♒				
♓				
♈				
♏				
♐				
♑				
♒				
♓				
♈				
♏				
♐				
♑				
♒				
♓				
♈				
♏				
♐				
♑				
♒				
♓				
♈				
♏				
♐				
♑				
♒				
♓				
♈				
♏				
♐				
♑				
♒				
♓				
♈				
♏				
♐				
♑				
♒				
♓				
♈				
♏				
♐				
♑				
♒				
♓				
♈				
♏				
♐				
♑				
♒				
♓				
♈				
♏				
♐				
♑				
♒				
♓				
♈				
♏				
♐				
♑				
♒				
♓				
♈				
♏				
♐				
♑				
♒				
♓				
♈				
♏				
♐				
♑				
♒				
♓				
♈				
♏				
♐				
♑				
♒				
♓				
♈				
♏				
♐				
♑				
♒				
♓				
♈				
♏				
♐				
♑				
♒				
♓				
♈				
♏				
♐				
♑				
♒				
♓				
♈				
♏				
♐				
♑				
♒				
♓				
♈				
♏				
♐				
♑				
♒				
♓				
♈				
♏				
♐				
♑				
♒				
♓				
♈				
♏				
♐				
♑				
♒				
♓				
♈				
♏				
♐				
♑				
♒				
♓				
♈				
♏				
♐				
♑				
♒				
♓				
♈				
♏				
♐				
♑				
♒				
♓				
♈				
♏				
♐				
♑				
♒				
♓				
♈				
♏				
♐				
♑				
♒				
♓				
♈				
♏				
♐				
♑				
♒				
♓				
♈				
♏				
♐				
♑				
♒				
♓				
♈				
♏				
♐				
♑				
♒				
♓				
♈				
♏				
♐				
♑				
♒				
♓				
♈				
♏				
♐				
♑				
♒				
♓				
♈				
♏				
♐				
♑				
♒				
♓				
♈				
♏				
♐				
♑				
♒				
♓				
♈				
♏				
♐				
♑				
♒				
♓				
♈				
♏				
♐				
♑				
♒				
♓				
♈				
♏				
♐				
♑				
♒				
♓				
♈				
♏				
♐				
♑				
♒				
♓				
♈				
♏				
♐				
♑				
♒				
♓				
♈				
♏				
♐				
♑				
♒				
♓				
♈				
♏				
♐				
♑				
♒				
♓				
♈				
♏				
♐				
♑				
♒				
♓				
♈				
♏				
♐				
♑				
♒				
♓				
♈				
♏				
♐				
♑				
♒				
♓				
♈				
♏				
♐				
♑				
♒				
♓				
♈				
♏				
♐				
♑				
♒				
♓				
♈				
♏				
♐				
♑				
♒				
♓				
♈				

19 октября 1987 г. Крах фондового рынка

-22.61%

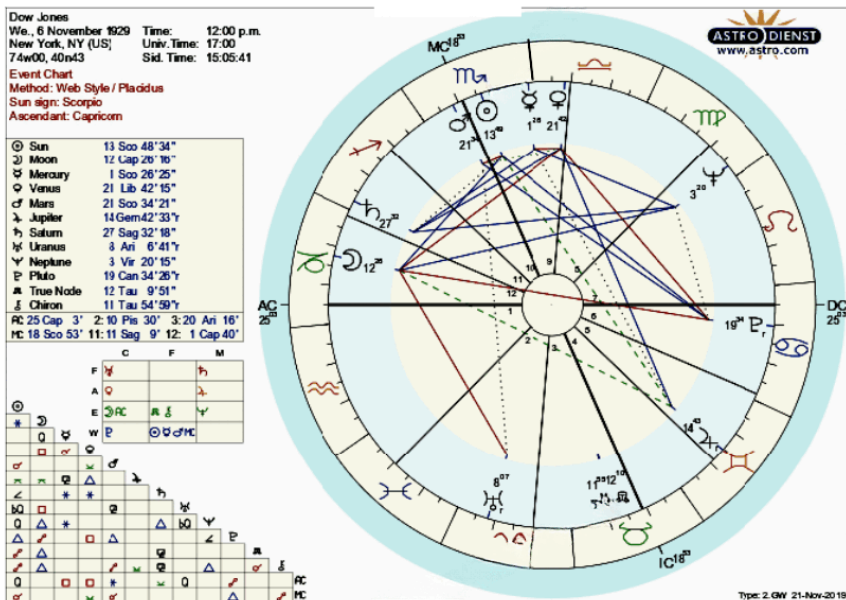


Вот как Марс располагался в космосе в тот день относительно Земли.

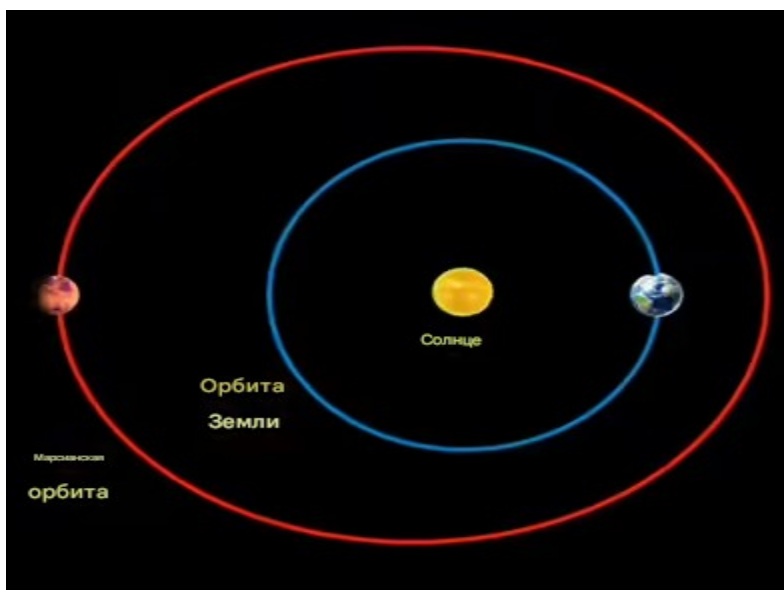


6 ноября 1929 г. Крах фондового рынка

-9.92%

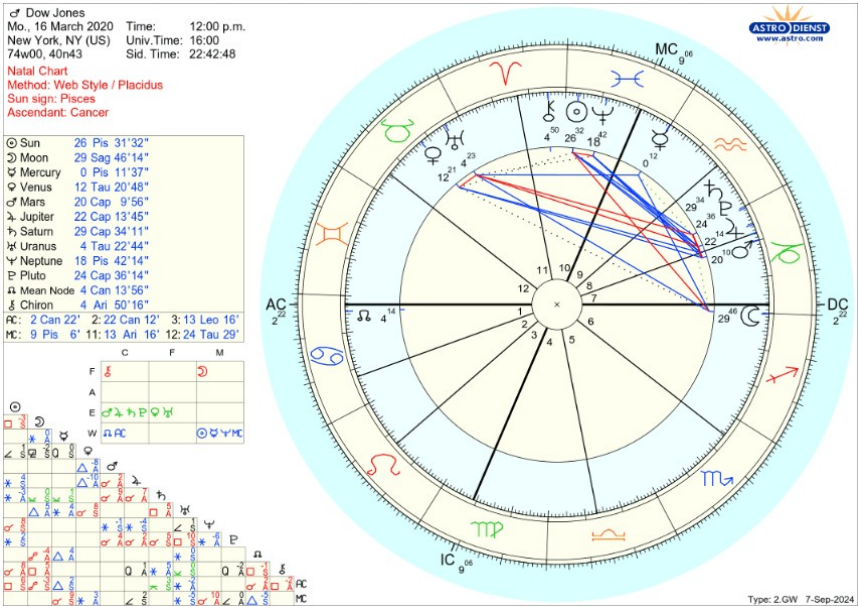


Вот где Марс находился в космосе с точки зрения Земли.

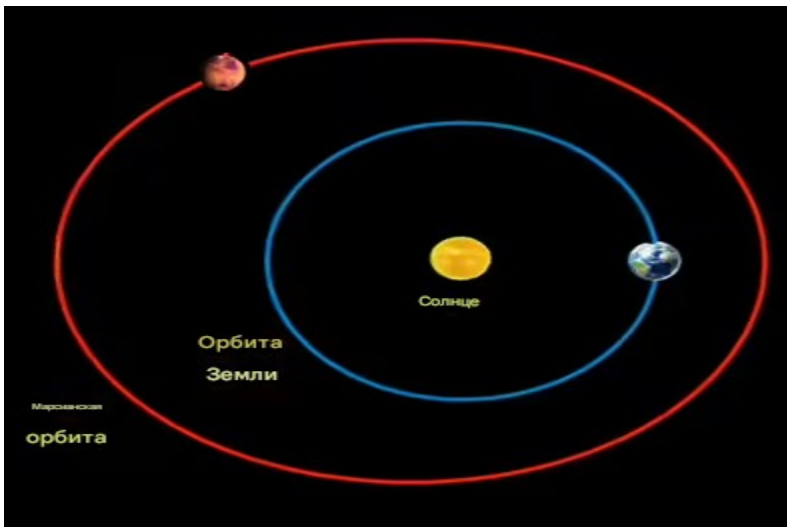


16 марта 2020 г. Крах фондового рынка

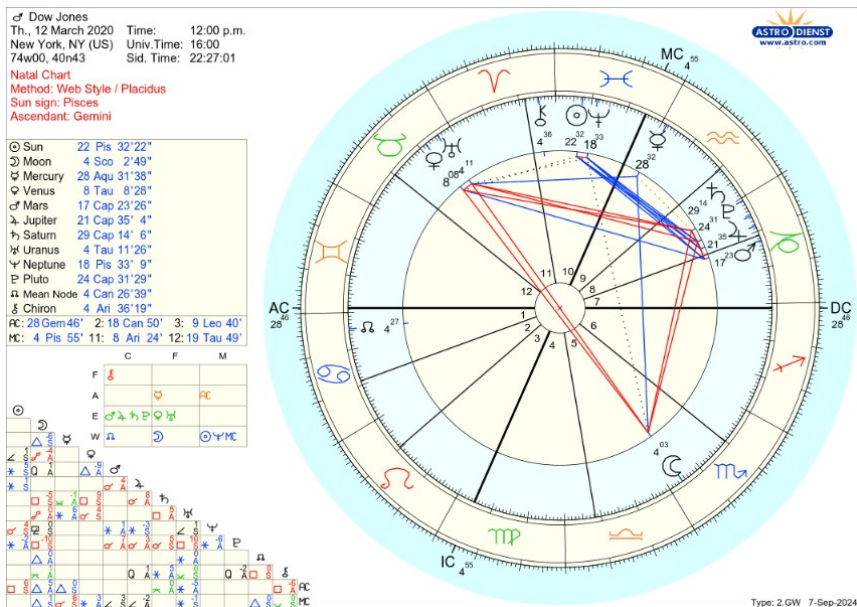
-12.93



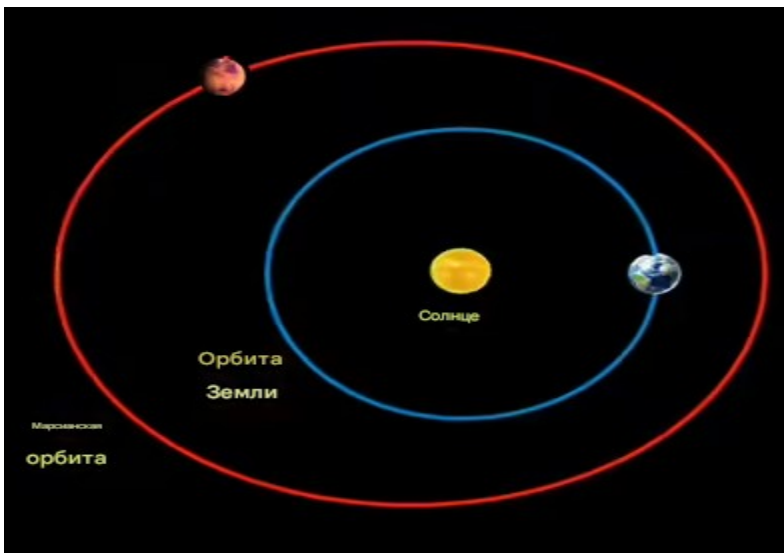
Вот как Марс располагался на небе относительно Земли.



12 марта 2020 г. Крах фондового рынка
-9.99

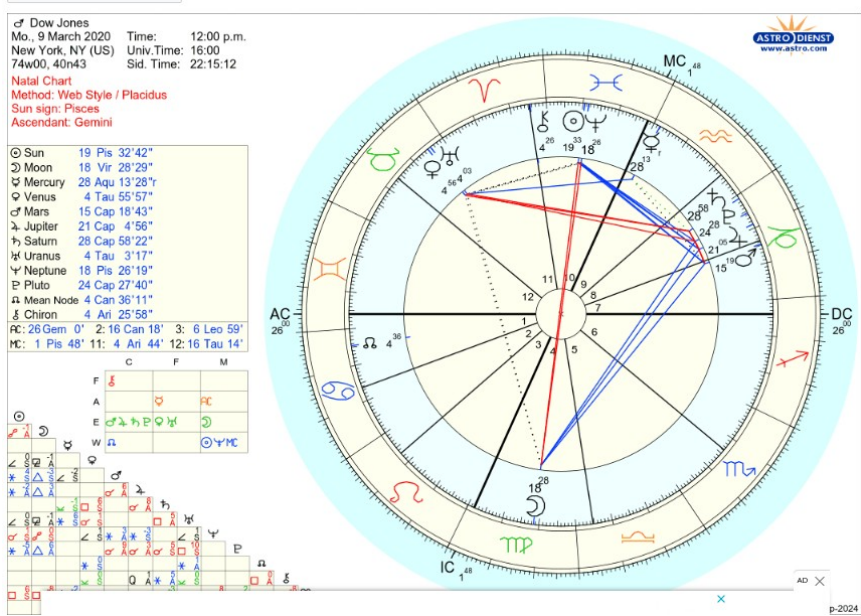


Вот как Марс располагался на небе в тот день.

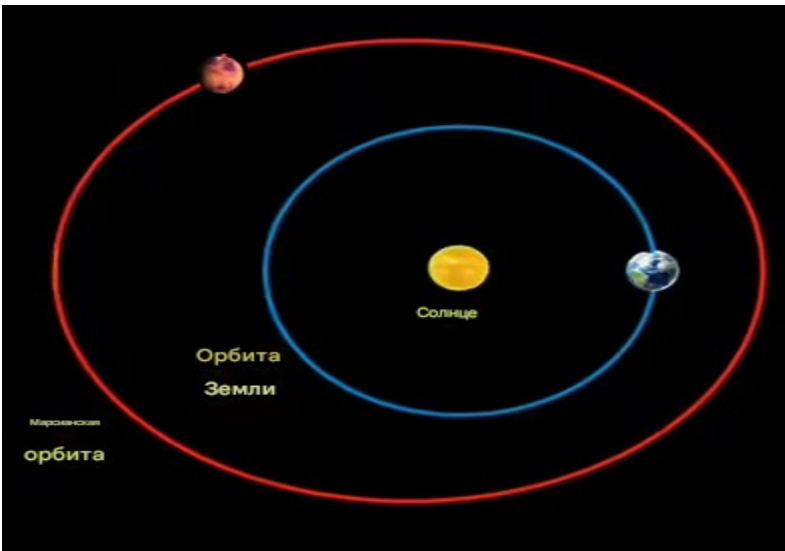


9 марта 2020 г. Крах фондового рынка

-7.79

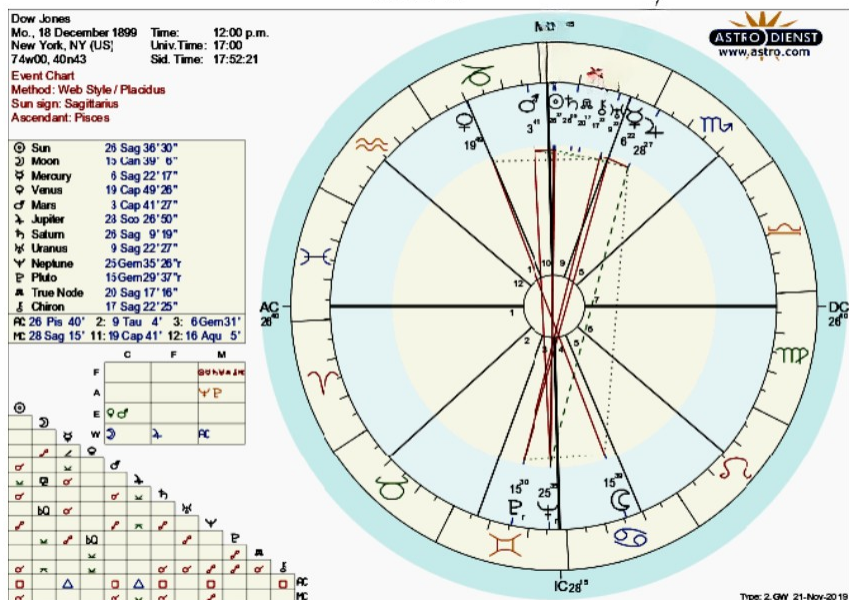


Вот где в тот день находился Марс на небе.

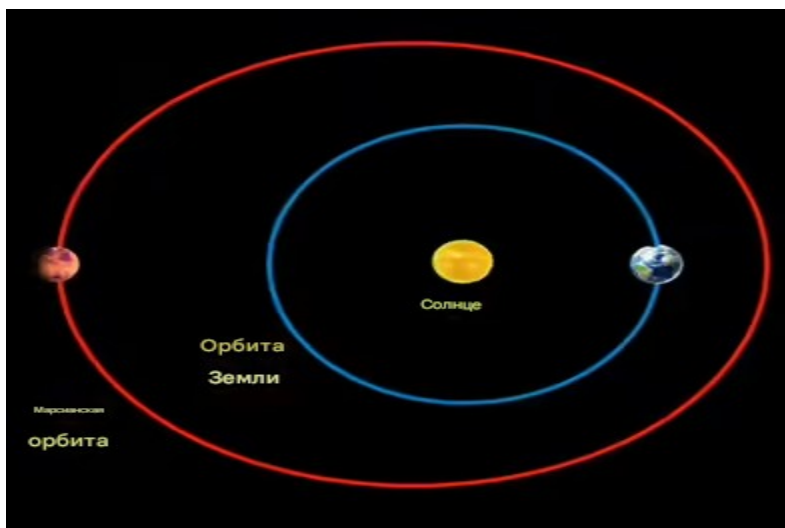


18 декабря 1899 года фондовый рынок упал на -8,72 процента.

-8.72 %

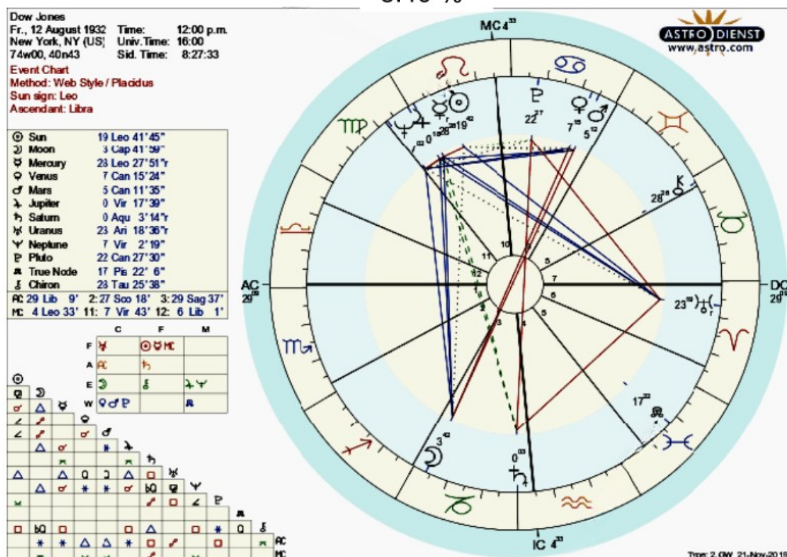


Вот как Марс выстроился на небе в тот день.

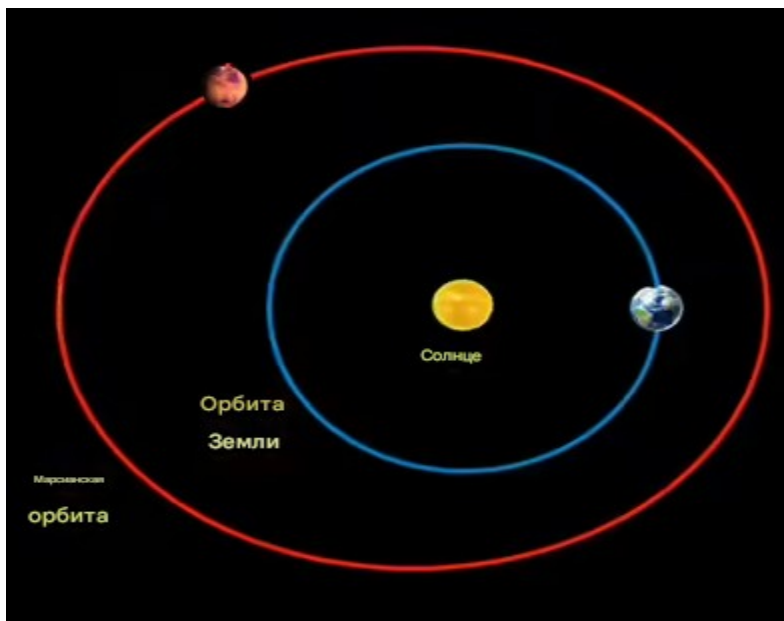


12 августа 1932 года фондовый рынок упал на -8,4%.

-8.40 %

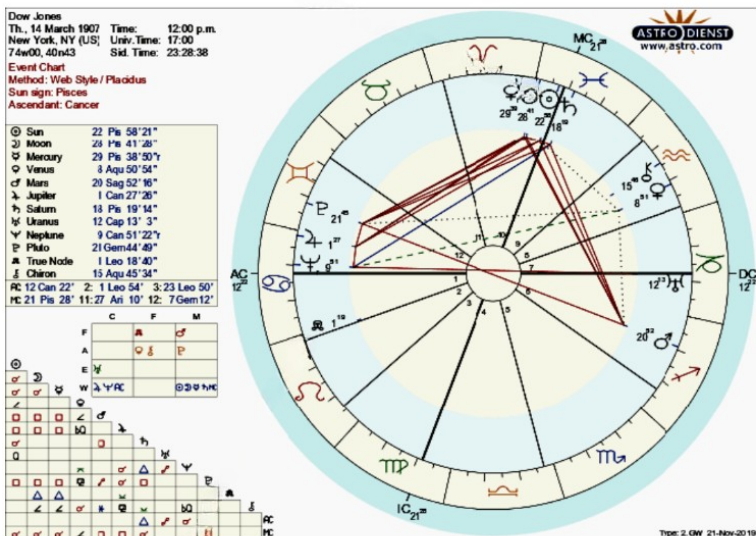


Вот как Марс располагался на небе в тот день.

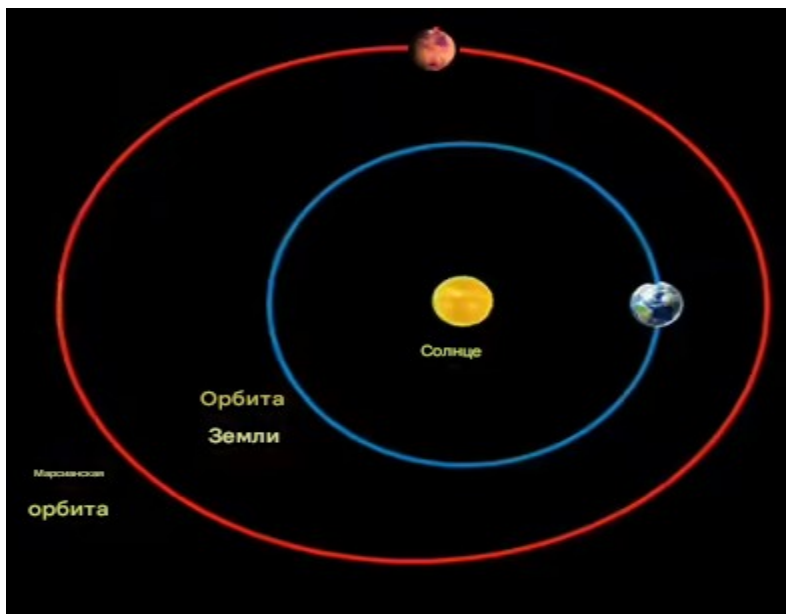


14 марта 1907 года фондовый рынок упал на -8,29%.

-8.29%



Вот как Марс располагался на небе в тот день.

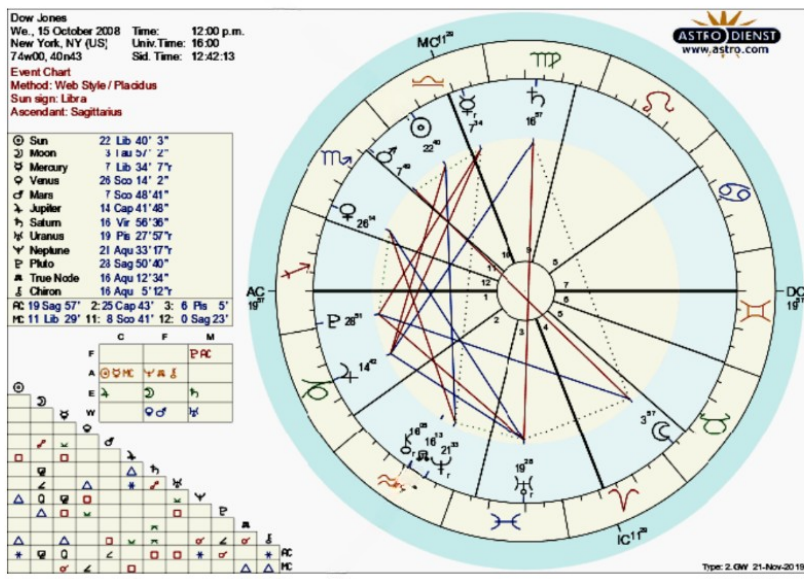


-8.04

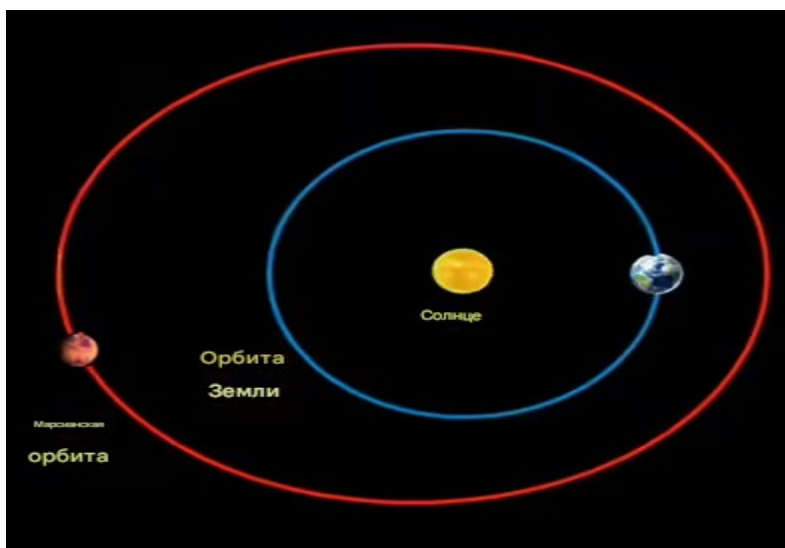


15 октября 2008 года фондовый рынок упал на -7,87%.

-7.87%

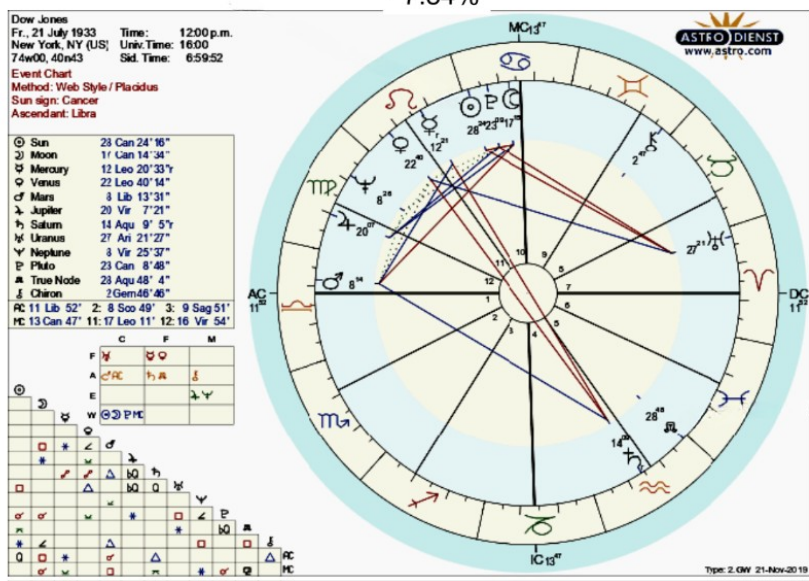


Вот где в тот день располагался Марс на небе.

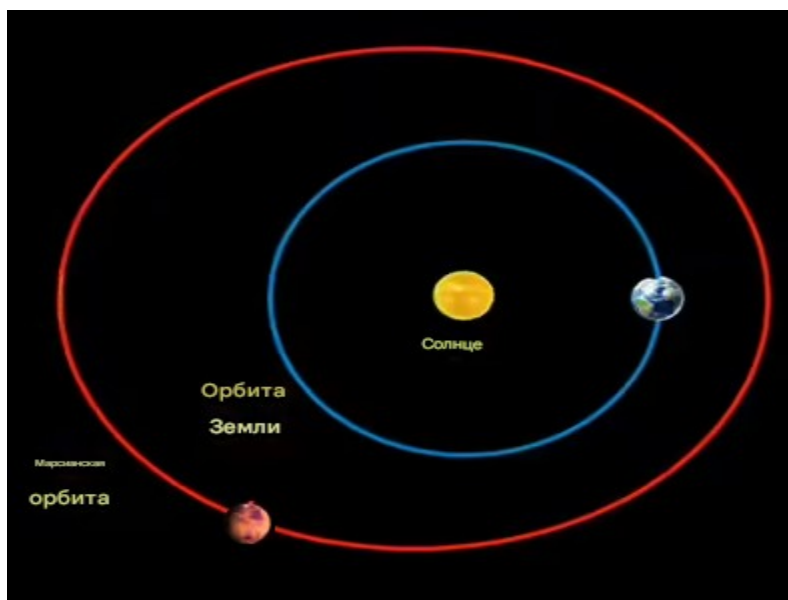


21 июля 1933 г. Фондовый рынок упал на -7,84.

-7.84%

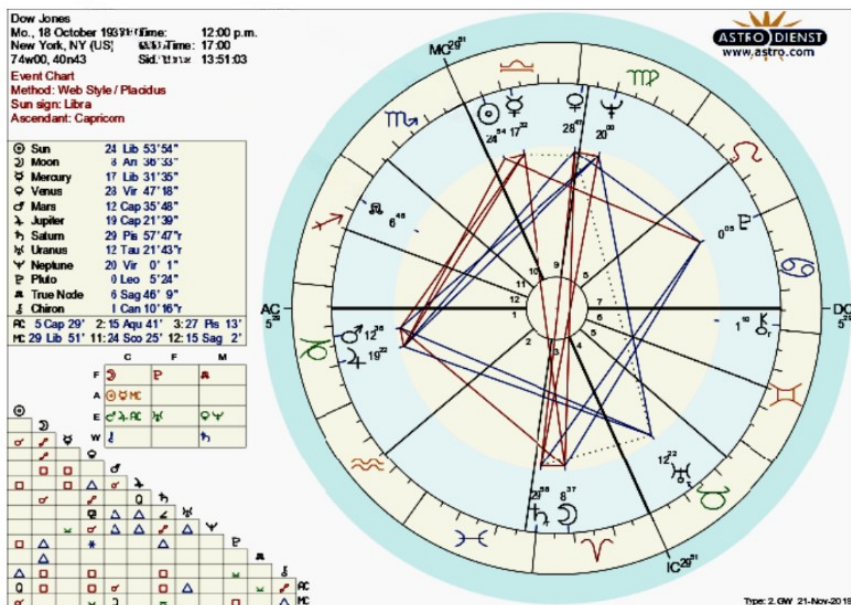


Вот где в тот день располагался Марс на небе.

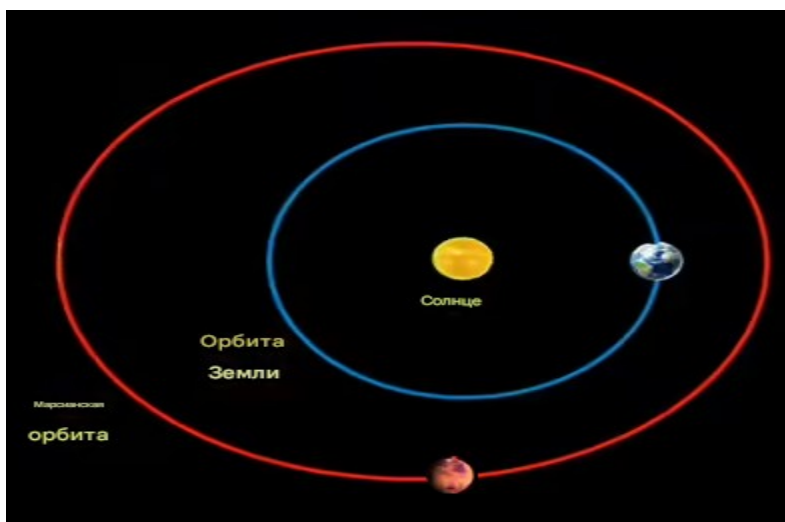


18 октября 1937 года фондовый рынок упал на -7,75%.

-7.75%

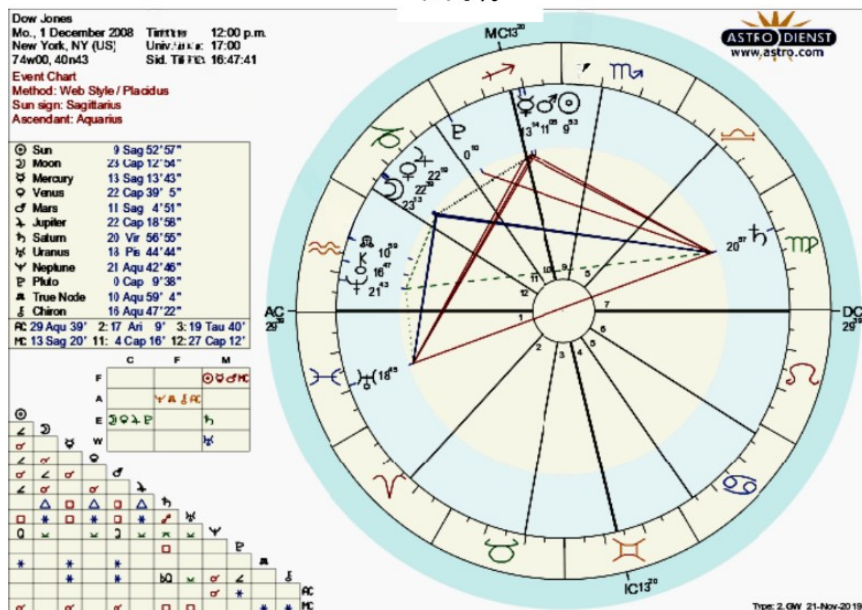


Вот где в тот день находился Марс.

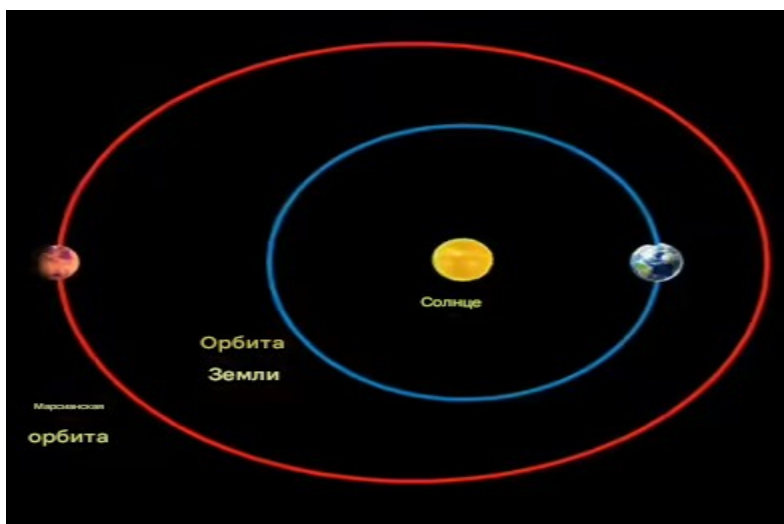


1 декабря 2008 года фондовый рынок упал на -7,70%.

-7.70%

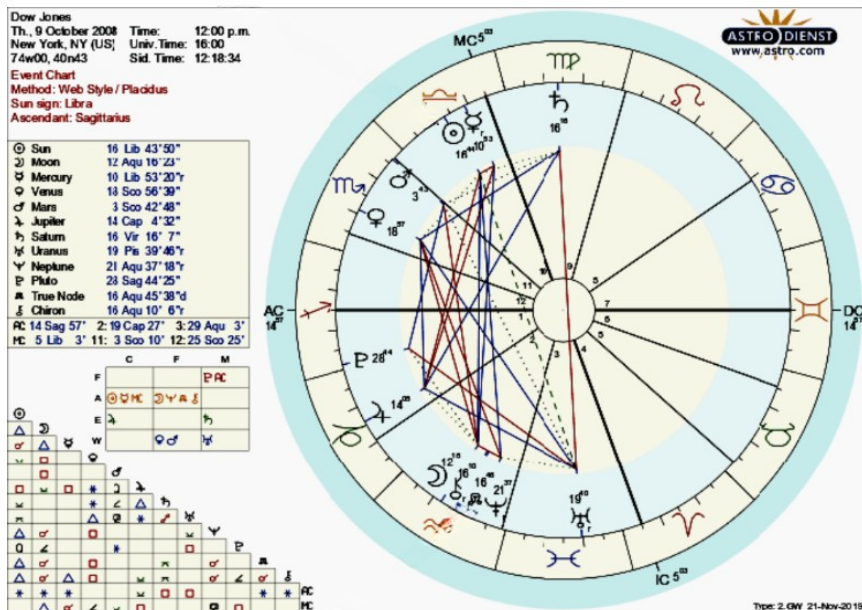


Вот где в тот день располагался Марс на небе.

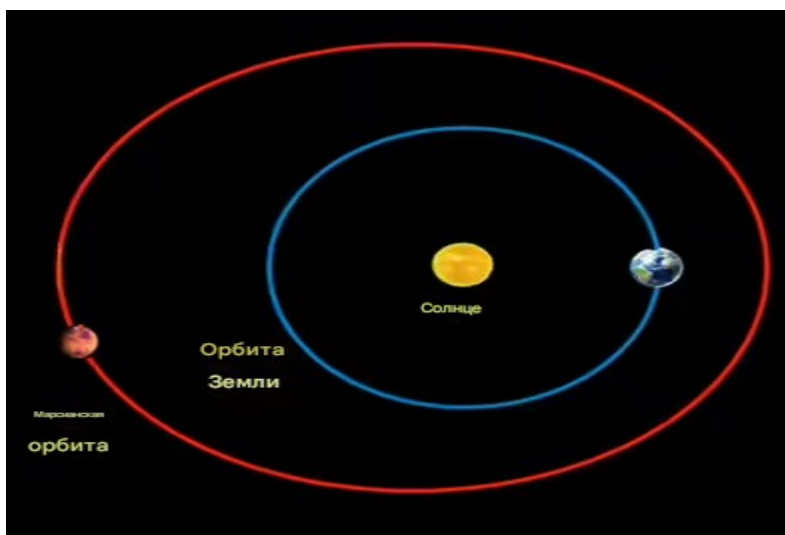


9 октября 2008 года фондовый рынок упал на -7,33%.

-7.33 %

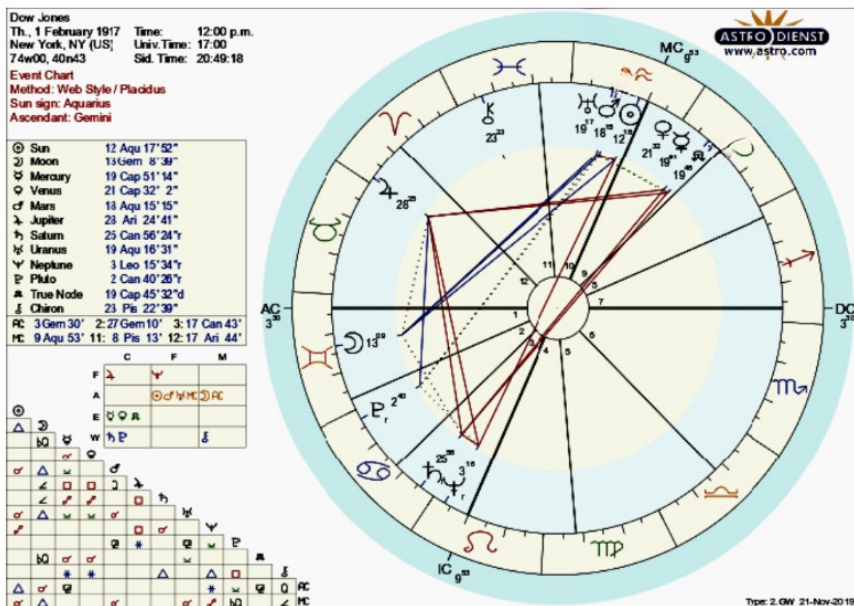


Вот где в тот день располагался Марс на небе.

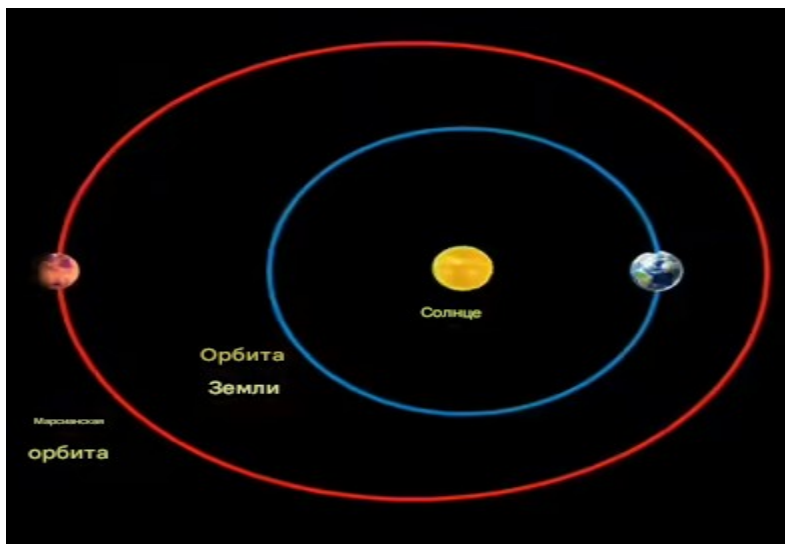


1 февраля 1917 года фондовый рынок упал на -7,24%.

-7.24%

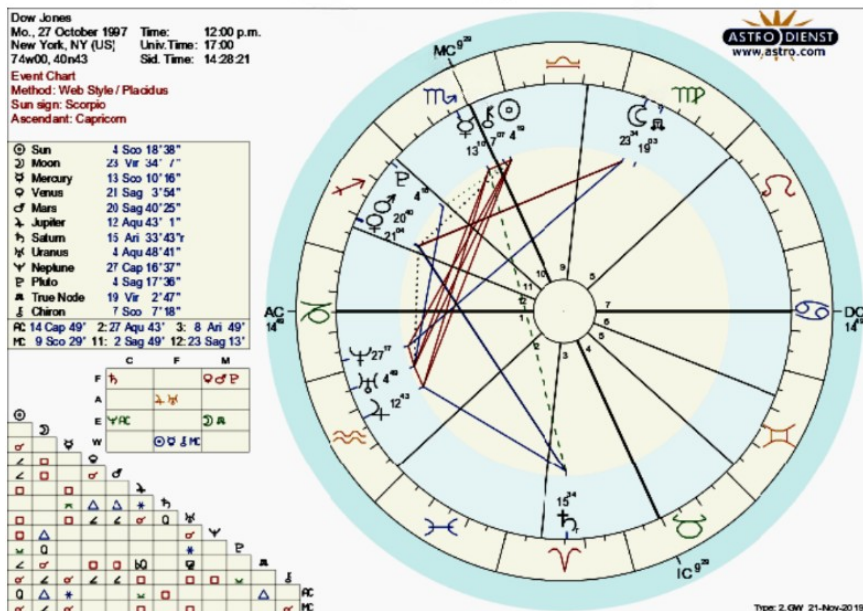


Вот где в тот день располагался Марс на небе.

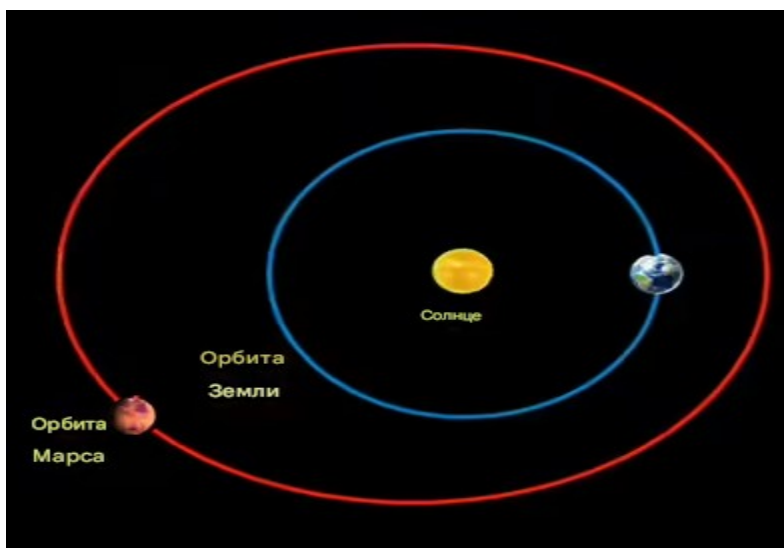


27 октября 1997 года фондовый рынок рухнул на -7,18%.

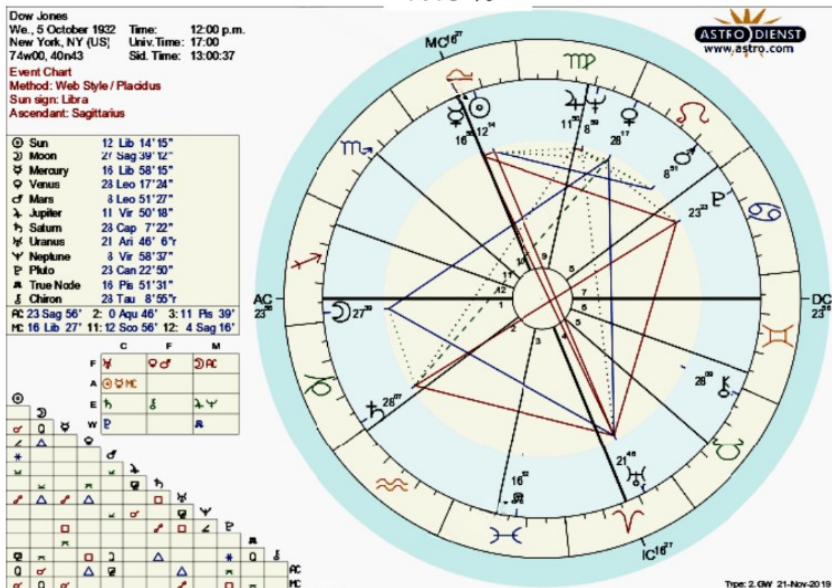
-7.18%



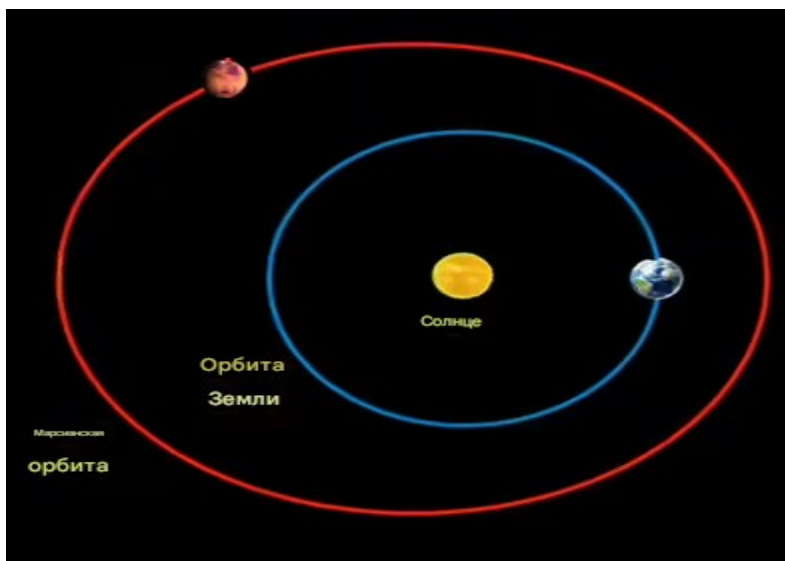
Вот где в тот день располагался Марс на небе.



5 октября 1932 года фондовый рынок упал на -7,15 процента.
-7.15 %

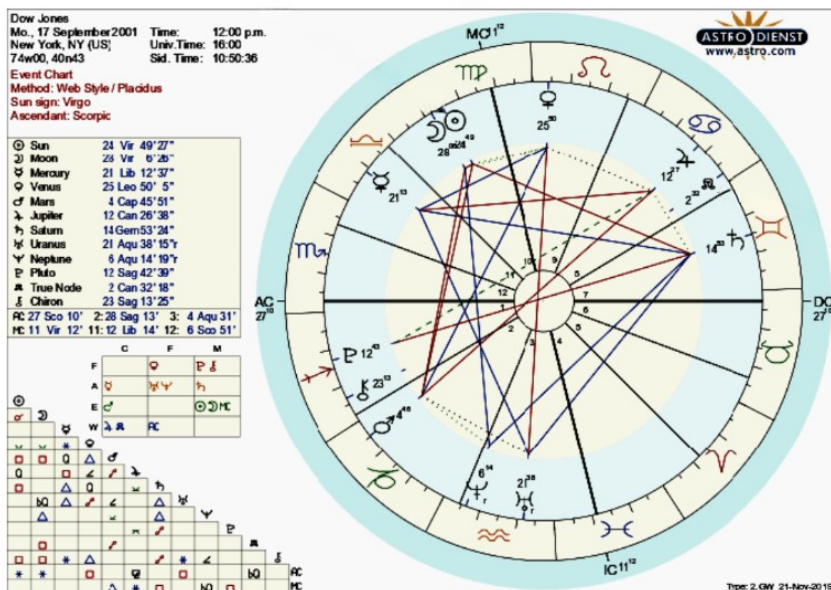


Вот где в тот день располагался Марс на небе.

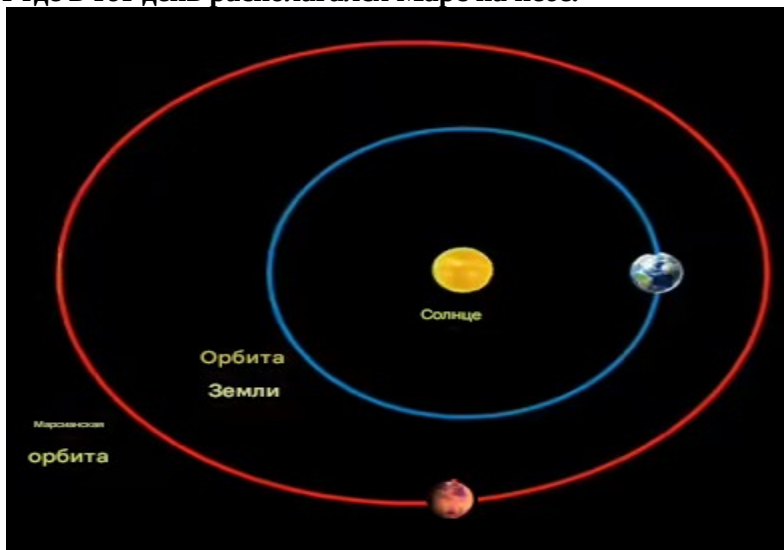


17 сентября 2001 года фондовый рынок упал на -7,13%.

-7.13%

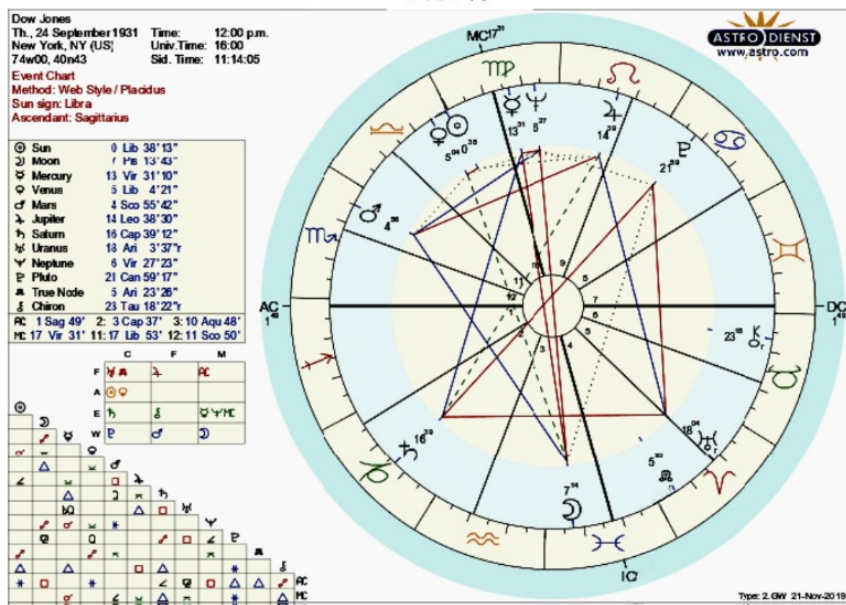


Вот где в тот день располагался Марс на небе.

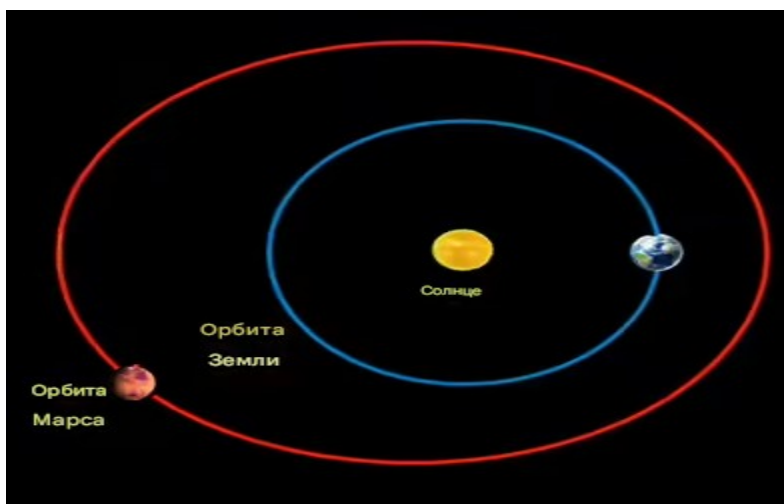


24 сентября 1931 года фондовый рынок упал на -7,07%.

-7.07%

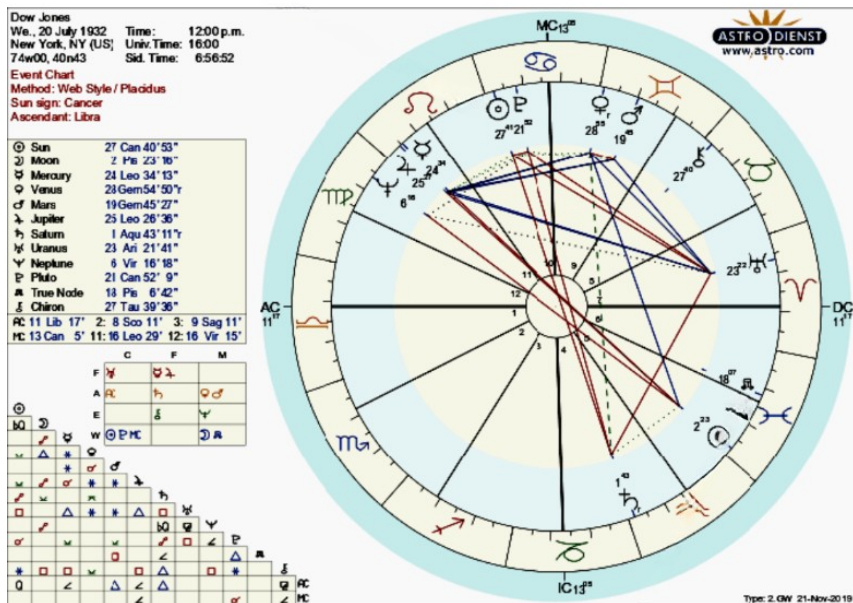


Вот где в тот день располагался Марс на небе.

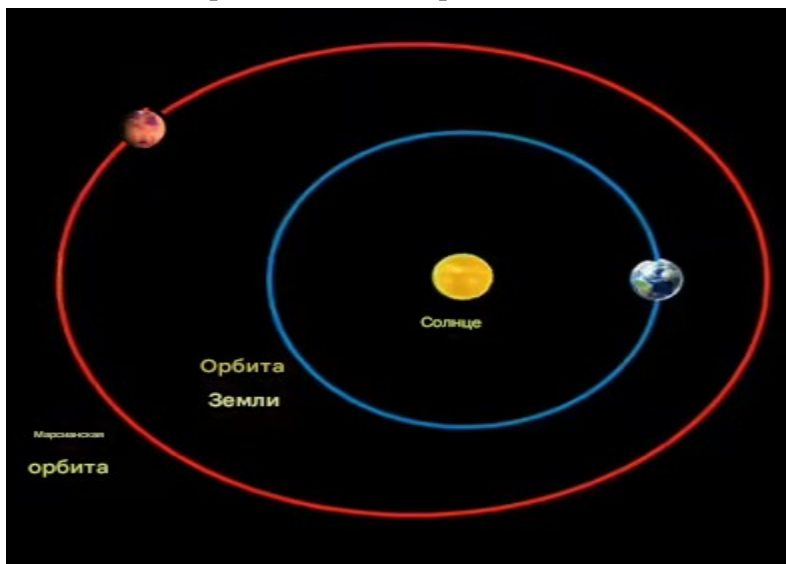


20 июля 1932 года фондовый рынок упал на -7,07%.

-7.07%

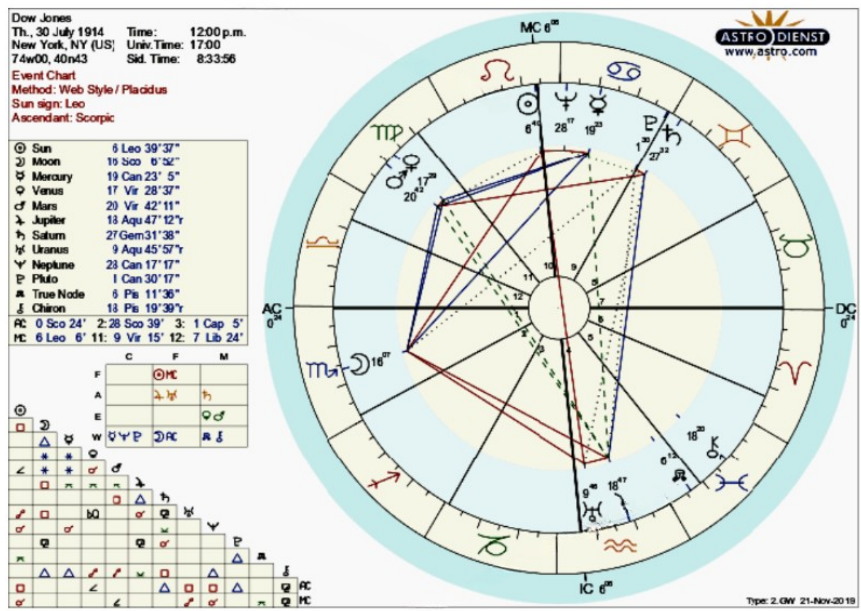


Вот где в тот день располагался Марс на небе.

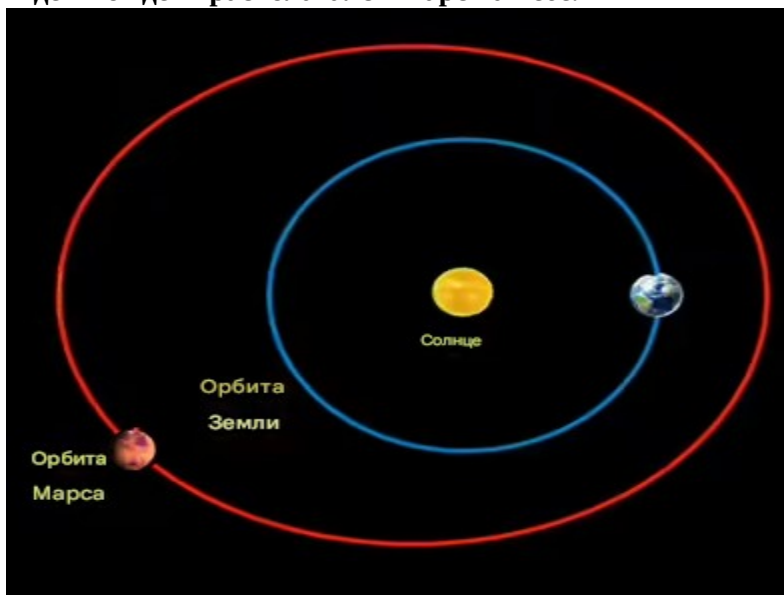


30 июля 1914 года фондовый рынок упал на -6,91%.

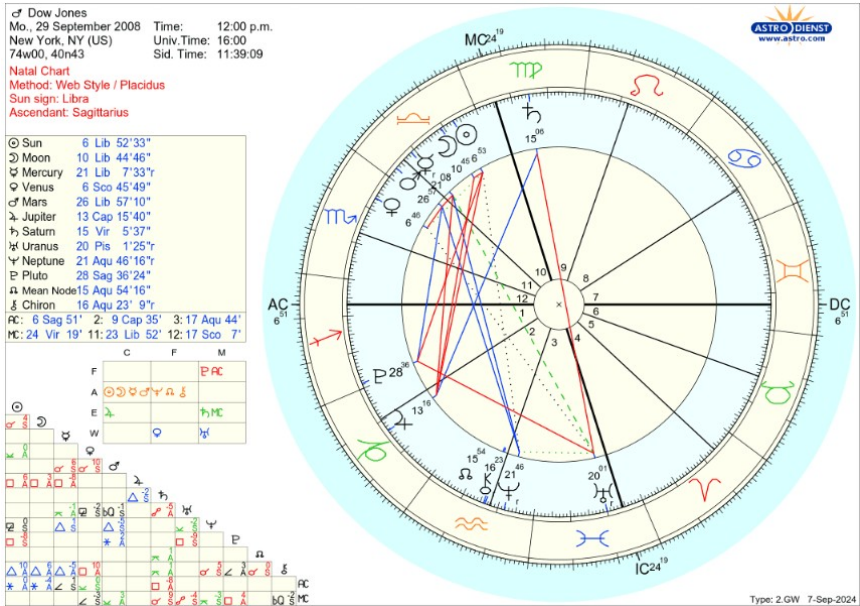
-6.91%



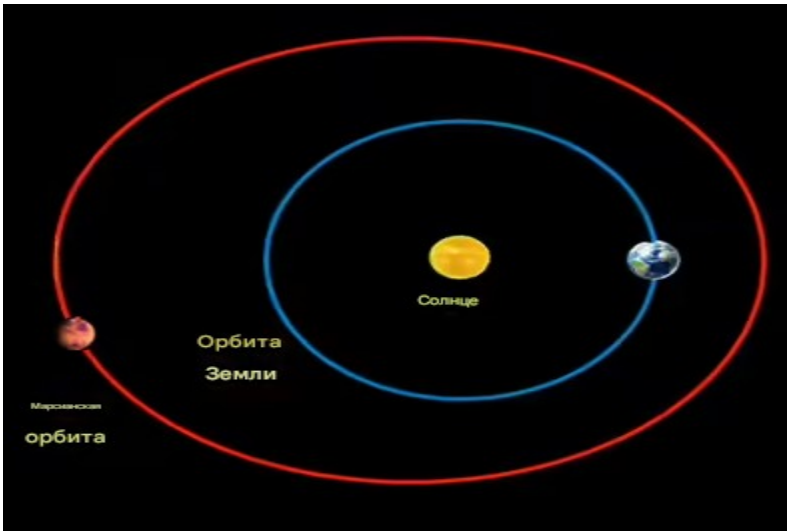
Вот где в тот день располагался Марс на небе.



29 сентября 2008 года фондовый рынок упал на 6,98%.
-6,98%

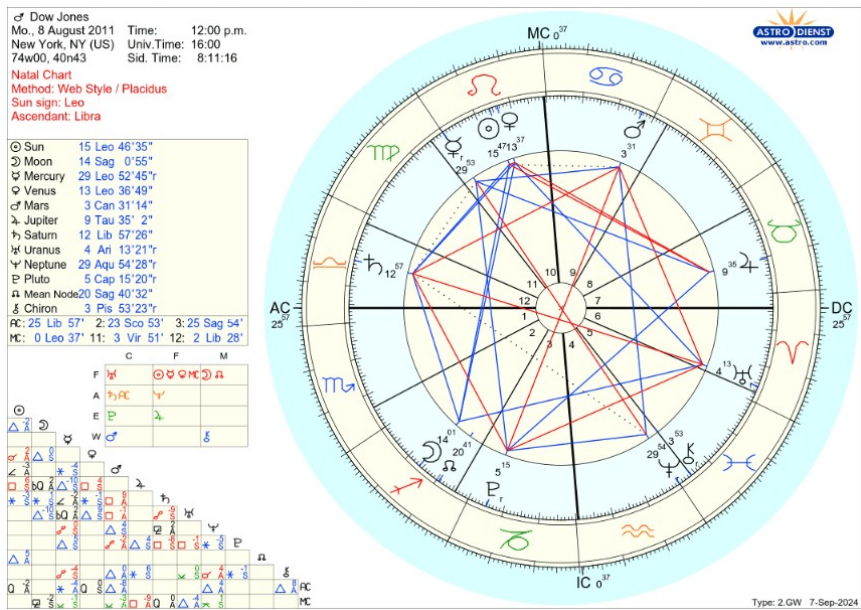


Вот где в тот день располагался Марс на небе.

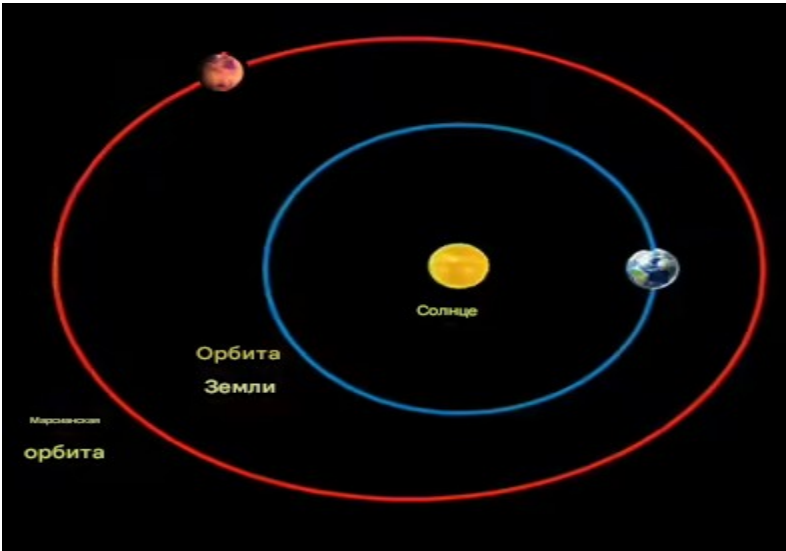


8 августа 2011 года фондовый рынок упал на -5,15%.

-5,15%

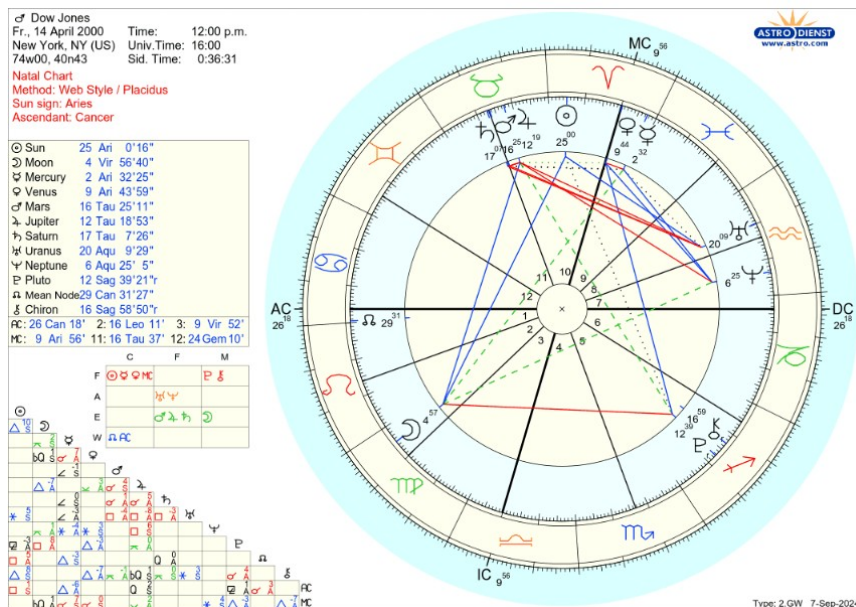


Вот где в тот день располагался Марс на небе.

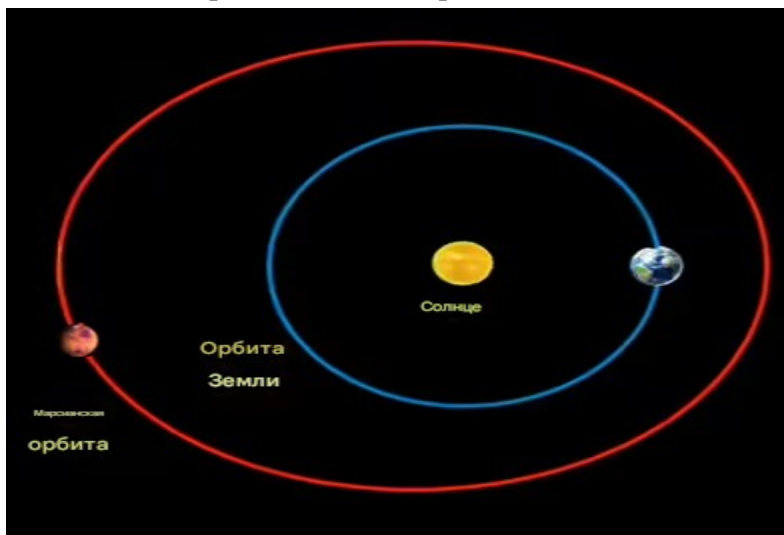


14 апреля 2000 года фондовый рынок упал на -5,66%.

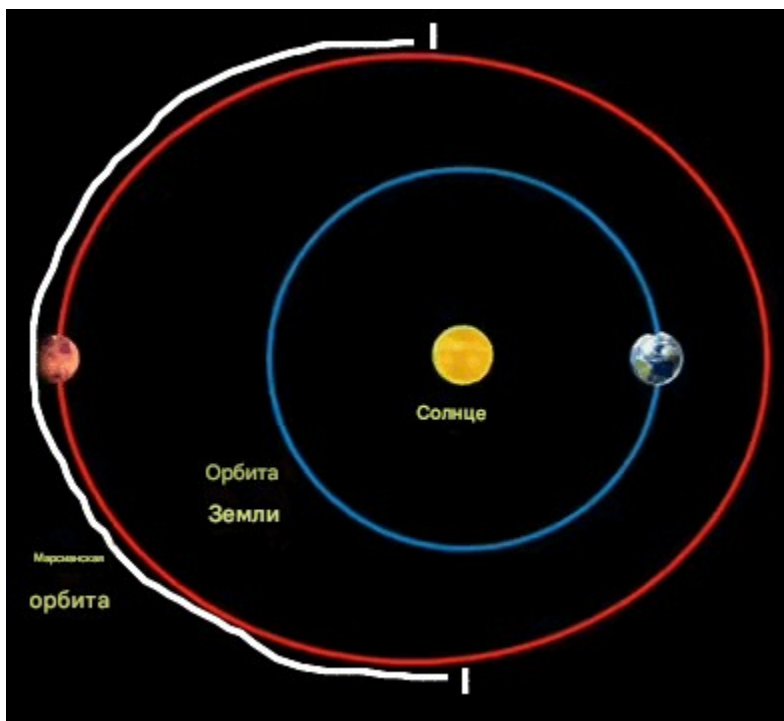
-5,66%



Вот где в тот день располагался Марс на небе.



Во все дни крупных крахов фондового рынка и спадов в истории Dow Jones Марс всегда находился в орбитальной фазе, с точки зрения Земли, отмеченной белой линией.



Эти данные показывают, что крупный крах фондового рынка никогда не произойдет, когда Марс будет находиться на орбите в области, не отмеченной белой линией. Мы можем сказать это со 100% уверенностью.

Белая область — это фаза орбиты, когда Марс удаляется от Земли, но также и когда его гравитация тянет наклон оси Земли к Солнцу, возможно, принося более высокие температуры, что должно самым негативным образом повлиять на настроения инвесторов, предполагая, что более высокие температуры относительно среднего значения влияют на когнитивные функции и вызывают некий вариант раздражительности или пессимизма. Существуют исследования, подтверждающие эту

динамику между более высокими температурами и негативными состояниями настроения.

За пределами белой области, по мере того как Марс приближается к Земле, гравитация Марса отклоняет наклон земной оси от Солнца, что предположительно приводит к более низким температурам и менее негативным настроениям, что может объяснить, почему крупные обвалы фондового рынка никогда не происходят во время этой фазы орбиты Марса.

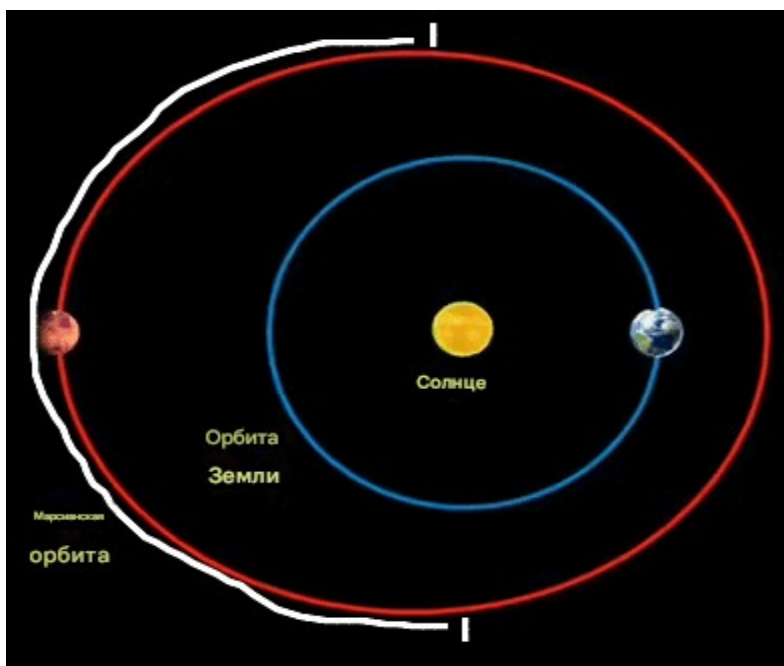
Процентные изменения индекса Dow Jones в период с 1896 по 2023 год в корреляции с орбитальной фазой Марса.

Энтони из Бостона

Прежде чем анализировать приведенные ниже данные, ознакомьтесь с контекстом этой статьи.

<https://www.academia.edu/123648970>

Ниже приведены временные рамки, когда Марс заходил за Солнце с точки зрения Земли, а также то, как вел себя индекс Доу-Джонса в это время. Все 25 крупных крахов фондового рынка произошли, когда Марс находился где-то вдоль белой линии. Это указано в данных в скобках. Теория заключается в том, что когда Марс находится в этой орбитальной фазе, его гравитация тянет осевой наклон Земли к Солнцу, увеличивая тепло и отрицательно влияя на настроения инвесторов.



С 15 июля 1896 года по 1 сентября 1896 года Марс находился за Солнцем. Индекс Доу-Джонса упал на -3,46%.

15 февраля 1897 г. — 18 октября 1898 г. Марс находился за Солнцем. Индекс Доу-Джонса вырос на 29%.

24 марта 1899 г. — 15 ноября 1900 г. Марс находился за Солнцем. Индекс Доу-Джонса упал на -3,14%.

(18 декабря 1899 года фондовый рынок упал на -8,72%)

2 мая 1901 г. - 27 декабря 1902 г. Марс находился за Солнцем. Dow упал на -14,93%

9 июня 1903 г. - 26 января 1905 г. Марс находился за Солнцем, индекс Доу-Джонса вырос на 23%.

1 августа 1905 г. — 14 марта 1907 г. Марс находился за Солнцем, индекс Доу-Джонса упал на -4,84%.

(14 марта 1907 года фондовый рынок упал на -8,29%)

14 октября 1907 г. — 13 мая 1909 г. — Марс за Солнцем, индекс Доу вырос на +40%.

18 декабря 1909 г. — 8 августа 1911 г. — Марс за Солнцем, Dow упал на -15,63%.

27 января 1912 г. — 4 октября 1913 г. — Марс за Солнцем, Dow упал на -0,30%

11 марта 1914 г. — 9 ноября 1915 г. — Марс за Солнцем, Dow вырос на +17,29%

(30 июля 1914 года фондовый рынок упал на -6,91%)

18 апреля 1916 г. — 12 декабря 1917 г. — Марс за Солнцем, Dow упал на 26,10%.

(1 февраля 1917 года фондовый рынок упал на -7,24%)

22 мая 1918 г. — 14 января 1920 г. — Марс за Солнцем, Dow вырос на +23,54%.

7 июля 1920 г. — 19 февраля 1922 г. — Марс за Солнцем, Dow упал на -7,60%

15 сентября 1922 г. — 12 апреля 1924 г. — Марс за Солнцем, Dow упал на -8,78%.

23 ноября 1924 г. – 10 июля 1926 г. – Марс позади Солнца, индекс Доу вырос на +36%.

16 января 1927 г. – 15 сентября 1928 г. – Марс за Солнцем, Dow вырос на 45%

1 марта 1929 г. – 27 октября 1930 г. – Марс за Солнцем, Dow упал на 38%.

(29 октября 1929 г. Крах фондового рынка)

(6 ноября 1929 г. Крах фондового рынка)

28 марта 1931 г. – 30 ноября 1932 г. – Марс за Солнцем, Dow упал на -92,36%.

(12 августа 1932 г., фондовый рынок упал на -8,4 %)

(24 сентября 1931 года фондовый рынок упал на -7,07%)

(5 октября 1932 года фондовый рынок упал на -7,15 %)

(20 июля 1932 года фондовый рынок упал на -7,07%)

3 мая 1933 г. – 1 января 1935 г., Марс за Солнцем, Dow вырос на +37%

(21 июля 1933 г. Фондовый рынок упал на -7,84%)

16 июня 1935 г. – 3 февраля 1937 г., Марс за Солнцем, Dow вырос на +47,67%

10 августа 1937 г. – 22 марта 1939 г. Марс за Солнцем, Dow упал на -21,97%.

(18 октября 1937 года фондовый рынок упал на -7,75%)

25 октября 1939 г. – 2 июня 1941 г. – Марс за Солнцем, Dow упал на 25,90%.

31 декабря 1942 г. – 28 августа 1943 г. – Марс за Солнцем, Dow вырос на +21,05%

13 февраля 1944 г. – 12 октября 1945 г. – Марс за Солнцем, Dow вырос на +32%

17 марта 1946 г. – 18 ноября 1947 г. – Марс за Солнцем, Dow упал – 4,61%

23 апреля 1948 г. – 18 декабря 1949 г. – Марс за Солнцем, Dow вырос на +8,78%.

29 мая 1950 г. – 22 января 1952 г. – Марс за Солнцем, Dow вырос на +22,91%.

16 июля 1952 г. – 2 марта 1954 г. – Марс за Солнцем, Dow вырос на +7,72%

1 октября 1954 г. - 28 апреля 1956 г. – Марс за Солнцем, Dow вырос на +36,53%

7 декабря 1956 г. – 25 июля 1958 г. – Марс за Солнцем, Dow вырос на +2,42%.

27 января 1959 г. – 26 сентября 1960 г. – Марс за Солнцем, Dow упал на -1,68%.

5 марта 1961 г. – 6 ноября 1962 г. – Марс за Солнцем, Dow упал на -7,97%.

10 апреля 1963 г. – 6 декабря 1964 г. – Марс за Солнцем, Dow вырос на +21,51%.

17 мая 1965 г. – 8 января 1967 г. – Марс за Солнцем, Dow упал на -14,02%.

26 июня 1967 г. – 14 февраля 1969 г. – Марс за Солнцем, Dow вырос на +8,68%.

24 августа 1969 г. — 1 апреля 1971 г. — Марс за Солнцем, индекс Доу вырос на +9,19%.

17 ноября 1971 г. – 20 июня 1973 г. – Марс за Солнцем, Dow вырос на +8,88%

15 января 1974 г. – 9 сентября 1975 г. – Марс за Солнцем, Dow вырос на +2,03%

21 февраля 1976 г. – 20 октября 1977 г. – Марс за Солнцем, Dow упал на 18,33%.

29 марта 1978 г. – 23 ноября 1979 г. – Марс за Солнцем, Dow упал на +8,27%.

1 мая 1980 г. – 24 декабря 1981 г. – Марс за Солнцем, Dow вырос на +8,21%

9 июня 1982 г. – 30 января 1984 г. – Марс за Солнцем, Dow вырос на +44%

1 августа 1984 г. – 16 марта 1986 г. – Марс за Солнцем, Dow вырос на +49%

15 октября 1986 г. – 19 мая 1988 г. – Марс за Солнцем, Dow вырос на +16,03%

(19 октября 1987 г. Крах фондового рынка)

(26 октября 1987 года фондовый рынок упал на -8,04%)

17 декабря 1988 г. – 7 августа 1990 г. – Марс за Солнцем, Dow вырос на +24,76%

6 февраля 1991 г. – 5 октября 1992 г. – Марс за Солнцем, Dow вырос на +14,44%

12 марта 1993 г. – 10 ноября 1994 г. – Марс за Солнцем, Dow вырос на +10,79%

21 апреля 1995 г. – 13 декабря 1996 г. – Марс за Солнцем, Dow вырос на +40,92%

20 мая 1997 г. – 14 января 1999 г. – Марс за Солнцем, Dow вырос на +26,49%

(27 октября 1997 года фондовый рынок рухнул на -7,18%)

8 июля 1999 г. – 22 февраля 2001 г. – Марс за Солнцем, Dow упал на -3,20%

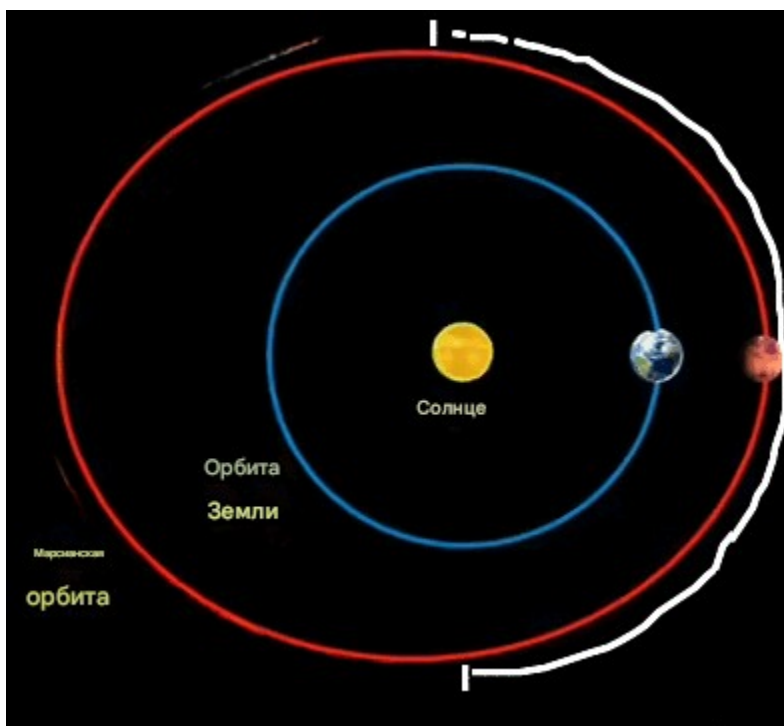
(14 апреля 2000 г. фондовый рынок упал на -5,66%)

13 сентября 2001 г. – 18 апреля 2003 г. – Марс за Солнцем, Dow упал на -9,25%

(17 сентября 2001 г. фондовый рынок упал на -7,13%)
 1 декабря 2003 г. – 12 июля 2005 г. – Марс за Солнцем, Dow вырос на +8,13%
 17 января 2006 г. – 17 сентября 2007 г. – Марс за Солнцем, Dow вырос на +21,00%
 27 февраля 2008 г. – 28 октября 2009 г. – Марс за Солнцем, Dow упал на 16,66%
 (15 октября 2008 г. фондовый рынок упал на -7,87%)
 (29 сентября 2008 г. фондовый рынок упал на -6,98%)
 (9 октября 2008 г. фондовый рынок упал на -7,33%)
 (1 декабря 2008 года фондовый рынок упал на -7,70%)
 5 апреля 2010 г. – 1 декабря 2011 г. – Марс за Солнцем, Dow вырос на +12,35%
 (8 августа 2011 г. фондовый рынок упал на -5,15%)
 8 мая 2012 г. – 2 января 2014 г. – Марс за Солнцем, Dow вырос на 24,46%
 15 июня 2014 г. – 8 февраля 2016 г. – Марс за Солнцем, Dow упал на 2,81%
 15 августа 2016 г. – 23 марта 2018 г. – Марс за Солнцем, Dow вырос на 24%
 4 ноября 2018 г. – 7 июня 2020 г. – Марс за Солнцем, Dow вырос на +7,28%
 (9, 12 и 16 марта 2020 г., крах фондового рынка)
 1 января 2021 г. – 27 августа 2022 г. — Марс за Солнцем, Dow вырос на +5,48%

Ниже приведены временные рамки, когда Марс проходил перед солнцем с точки зрения Земли, а также то, как Dow Jones вел

себя в это время. Никаких крупных крахов фондового рынка не произошло, когда Марс находился где-либо вдоль белой линии (см. ниже). Это указано в данных. Теория заключается в том, что когда Марс находится в этой орбитальной фазе, его гравитация оттягивает наклон оси Земли от солнца, усиливая охлаждение и положительно влияя на настроения инвесторов.



С 2 сентября 1896 по 13 февраля 1897 Марс находился перед Солнцем. Индекс Доу-Джонса вырос на 22%

19 октября 1898 г. - 23 марта 1899 г. Марс перед Солнцем, индекс Доу-Джонса вырос на +32,90.

16 ноября 1900 г. – 1 мая 1901 г. Марс находился перед Солнцем. Индекс Доу-Джонса вырос на +13,49%

28 декабря 1902 г. - 9 июня 1903 г. Марс находился перед Солнцем, индекс Доу-Джонса упал на -10,09%.

27 января 1905 г. – 31 июля 1905 г. Марс находился перед Солнцем, индекс Доу-Джонса вырос на +16%.

15 марта 1907 г. – 13 октября 1907 г. – Марс перед Солнцем. Dow упал на -18,70%.

14 мая 1909 г. – 17 декабря 1909 г. – Марс напротив Солнца, индекс Доу вырос на +8,23.

9 августа 1911 г. – 26 января 1912 г. – Марс перед Солнцем, Dow упал на -0,53%.

5 октября 1913 г. – 9 марта 1914 г. – Марс перед Солнцем, Dow вырос на +1,17%

10 ноября 1915 г. – 18 апреля 1916 г. – Марс перед Солнцем. Индекс Доу вырос на +0,04%.

13 декабря 1917 г. – 21 мая 1918 г. – Марс перед Солнцем, индекс Доу вырос на 21%

15 января 1920 г. – 6 июля 1920 г. – Марс перед Солнцем, Dow упал на -8,06%

20 февраля 1922 г. – 14 сентября 1922 г. – Марс перед Солнцем, индекс Доу вырос на +18,33%.

13 апреля 1924 г. – 22 ноября 1924 г. – Марс перед Солнцем, индекс Доу вырос на +19,21%.

11 июля 1926 г. – 15 января 1927 г. – Марс перед Солнцем, индекс Доу вырос на +0,47%

16 сентября 1928 г. – 28 февраля 1929 г. – Марс перед Солнцем. Индекс Доу вырос на +29%.

28 октября 1930 г. – 27 марта 1931 г. — Марс перед Солнцем, Dow упал на 7,81%.

30 ноября 1932 г. – 2 мая 1933 г. Марс перед Солнцем, индекс Доу вырос на +35%.

2 января 1935 г. – 15 июня 1935 г. Марс перед Солнцем, индекс Доу вырос на +14,15%.

4 февраля 1937 г. – 9 августа 1937 г., Марс перед Солнцем, Dow упал на -0,31%.

23 марта 1939 г. – 24 октября 1939 г. – Марс перед Солнцем, индекс Доу вырос на +11,45%.

3 июня 1941 г. – 30 декабря 1941 г. – Марс перед Солнцем, Dow упал на -3,81%

29 августа 1943 г. – 12 февраля 1944 г. – Марс перед Солнцем, Dow упал на 0,11%.

13 октября 1945 г. – 16 марта 1946 г. – Марс перед Солнцем, Dow вырос на +4,87%

19 ноября 1947 г. – 22 апреля 1948 г. – Марс перед Солнцем, индекс Доу вырос на +0,91%.

19 декабря 1949 г. – 28 мая 1950 г. – Марс перед Солнцем, индекс Доу вырос на +11,49%.

23 января 1952 г. – 15 июля 1952 г. – Марс перед Солнцем, Dow вырос на +0,64%

3 марта 1954 г. – 1 октября 1954 г. – Марс перед Солнцем, Dow вырос на +19,25%.

29 апреля 1956 г. – 7 декабря 1956 г. – Марс перед Солнцем, Dow упал на -3,00%.

26 июля 1958 г. – 26 января 1959 г. – Марс перед Солнцем, Dow вырос на +16,86%.

27 сентября 1960 г. – 5 марта 1961 г. – Марс перед Солнцем, Dow вырос на +15,37%

7 ноября 1962 г. – 9 апреля 1963 г. – Марс перед Солнцем, Dow вырос на +14,72%

7 декабря 1964 г. – 16 мая 1965 г. – Марс перед Солнцем, Dow вырос на +7,70%

9 января 1967 г. – 25 июня 1967 г. – Марс перед Солнцем, Dow вырос на +8,43%

15 февраля 1969 г. – 23 августа 1969 г. – Марс перед Солнцем, Dow упал на -12,54%.

2 апреля 1971 г. – 16 ноября 1971 г. – Марс перед Солнцем, Dow упал на -9,42%.

21 июня 1973 г. – 14 января 1974 г. – Марс перед Солнцем, Dow упал на -3,98%.

10 сентября 1975 г. – 20 февраля 1976 г. – Марс перед Солнцем, Dow вырос на +18,21%

21 октября 1977 г. – 28 марта 1978 г. – Марс перед Солнцем, Dow упал на -6,84%.

24 ноября 1979 г. – 30 апреля 1980 г. – Марс перед Солнцем, Dow вырос на +1,17%

25 декабря 1981 г. – 8 июня 1982 г. – Марс перед Солнцем, Dow упал на -8,11%

1 февраля 1984 г. – 30 июля 1984 г. – Марс перед Солнцем, индекс Доу вырос на -9,10%.

17 марта 1986 г. – 14 октября 1986 г. – Марс перед Солнцем, Dow вырос на +1,18%.

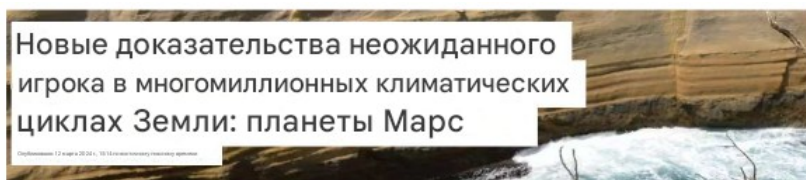
20 мая 1988 г. – 16 декабря 1988 г. – Марс перед Солнцем, Dow вырос на +10,03%

8 августа 1990 г. – 5 февраля 1991 г. – Марс перед Солнцем, Dow вырос на +3,77%

6 октября 1992 г. – 11 марта 1993 г. – Марс перед Солнцем, Dow вырос на 8,58%.
11 ноября 1994 г. – 20 апреля 1995 г. – Марс перед Солнцем, Dow вырос на +10,37%
14 декабря 1996 г. – 19 мая 1997 г. – Марс перед Солнцем, Dow вырос на +14,24%
15 января 1999 г. – 7 июля 1999 г. – Марс перед Солнцем, Dow вырос на +21,08%
23 февраля 2001 г. – 12 сентября 2001 г. – Марс перед Солнцем, Dow упал на 8%
19 апреля 2003 г. – 30 ноября 2003 г. – Марс перед Солнцем, Dow вырос на +16%
13 июля 2005 г. – 16 января 2006 г. – Марс перед Солнцем, Dow вырос на +4,30%
18 сентября 2007 г. – 26 февраля 2008 г. – Марс перед Солнцем, Dow упал на -4,71
29 октября 2009 г. – 4 апреля 2010 г. – Марс перед Солнцем, Dow вырос на +12,09%
2 декабря 2011 г. – 7 мая 2012 г. – Марс перед Солнцем, Dow вырос на +8,17%
3 января 2014 г. – 14 июня 2014 г. – Марс перед Солнцем, Dow вырос на +2,27%
9 февраля 2016 г. – 14 августа 2016 г. – Марс перед Солнцем, Dow вырос на +15,08%
24 марта 2018 г. – 3 ноября 2018 г. – Марс перед Солнцем, Dow вырос на +7,69%
8 июня 2020 г. – 31 декабря 2020 г. – Марс перед Солнцем, Dow вырос на +16,45%
28 августа 2022 г. – 19 февраля 2023 г. – Марс перед Солнцем, Dow вырос на +4,78%

Раздел III

Чтобы получить соответствующий контекст относительно того, что демонстрирует эта статья, важно принять во внимание недавнее исследование, опубликованное в Nature Communications в марте 2024 года, примерно через 5 лет после того, как эта идея была впервые представлена общественности. В этом исследовании, опубликованном в марте 2024 года, исследователи обнаружили, что Марс оказывает гравитационное притяжение на наклон Земли, подвергая Землю более высоким температурам и большему количеству солнечного света, и все это в течение цикла в 2,4 миллиона лет. Я утверждаю, что это позволяет нам предположить, что даже в меньших временных рамках Марс все еще оказывает гравитационное притяжение на наклон оси Земли, достаточное для повышения температуры, когда Марс движется позади Солнца, или понижения температуры, когда он движется перед Солнцем, с точки зрения Земли. Это повлияло бы на количество осадков, если бы другая динамика вызвала температурные возмущения, способствующие образованию осадков.



Дитмар Моллер

📧 Email

X (Twitter)

📘 Facebook 995

🌐 LinkedIn

📷 Instagram

Наше существование регулируется естественными циклами: от ежедневных ритмов сна и приема пищи до более длительных закономерностей, таких как смена времен года и четырехгодичный цикл високосных лет.

После изучения донных отложений, возраст которых составляет 65 миллионов лет, мы обнаружили ранее не обнаруженный цикл, который можно добавить в список: приливы и отливы в глубоководных течениях, связанные с 2,4-миллионным всплеском глобального потепления и похолодания, вызванным гравитационным перетягиванием каната между Землей и Марсом. Наше исследование опубликовано в Nature Communications.

Авторы



Адриана Дуткевич
ARC Future Fellow University
of Sydney



Дитмар Моллер
Профессор географии, Карлсбергский
университет



Оксана Кикина
Доцент, Университет Сабаньи

Еще в 2014 году двое ученых из Вашингтонского университета изучали климатические данные за 15 лет и обнаружили, что лунные подсчеты влияют на количество осадков. Цубаса Кохьяма и его профессор Джон Уоллес изучали данные об осадках за 15 лет с 1998 по 2012 год и обнаружили, что положение Луны, когда она находится над головой с нашей точки наблюдения, стоя на земле или под ногами, увеличивает давление воздуха, что приводит к повышению температуры, большему поглощению влаги и меньшему количеству осадков. Тем не менее, эффект составил всего 1% от всех изменений количества осадков, но данные были достаточно значимыми, чтобы связать положение Луны с количеством осадков. При восходе или заходе с нашей точки наблюдения количество осадков теоретически должно быть больше. Но на меридиане, согласно исследованию, Луна уменьшает количество осадков. Наука, лежащая в основе этого исследования, заключается в том, что гравитация Луны притягивает земную атмосферу выше, увеличивая давление воздуха. Когда это происходит, воздух под ней становится теплее и способен поглощать больше влаги. Это исследование позволяет нам использовать положение Луны в качестве нашего триггера осадков. Кроме того, если считать, что Луна оказывает стабилизирующее воздействие на колебание Земли, то можно указать на положение Луны относительно Марса как на кратковременное противодействующее влияние гравитационного притяжения Марса к наклону земной оси, поскольку, когда Луна выстраивается напротив Марса, она может на мгновение сместить температуру в сторону от текущей тенденции, обусловленной гравитационным притяжением Марса к Земле.

29 января 2016 г.

Приливные силы Луны влияют на количество осадков на Земле

Ханна Хики

Ханна Хики

Когда Луна находится высоко в небе, она создает выпуклости в атмосфере планеты, что приводит к незаметным изменениям в количестве выпадающих внизу осадков.

Новое исследование Вашингтонского университета, опубликованное в журнале *Geophysical Research Letters*, показывает, что лунные силы влияют на количество осадков, хотя и весьма незначительно.

С этим новым пониманием вращения Марса вокруг Солнца и его связи с земными климатическими моделями и поведением человека мы можем предположить, как эта динамика будет разыгрываться, когда дело дойдет до прогнозирования осадков. Основная предпосылка осадков заключается в том, что более теплый воздух способен удерживать влагу/водяной пар до тех пор, пока не поступит более холодный воздух и не заставит водяной пар подвергнуться процессу, называемому конденсацией, который превращает водяной пар в жидкие капли или то, что мы знаем как дождь. Понимание того, как Марс может создавать условия для дождя, поможет нам предсказывать события осадков гораздо эффективнее. До сих пор предполагалось, что когда Марс движется позади Солнца, с точки зрения Земли, его гравитационное притяжение к наклону оси Земли может подвергать Землю большему воздействию солнечного света и более высоким температурам. Когда Марс движется перед Солнцем, с точки зрения Земли, его гравитационное притяжение к наклону оси Земли оттягивает Землю от Солнца, что должно вызывать меньше солнечного света, меньше тепла и большее охлаждение. Учитывая эти

аспекты, мы можем применить эту динамику к сезонам, в которые это происходит, что позволит предсказать, когда более теплый воздух смешается с более холодным или наоборот и создаст условия для выпадения влаги в осадки и выпадения осадков.

Вот пример того, что я имею в виду. Самые теплые месяцы в календарном году — весна и лето, которые начинаются около 20 марта и длятся до 20 сентября. Мы можем принять за константу, что в это время года будет больше влаги в воздухе и меньше дождей, если только на него не повлияет переменная Марса, так что если Марс движется позади Солнца в этот период, увеличивая воздействие солнечного света и тепла на Землю, можно ожидать, что осадков будет меньше, что позволяет нам предсказать, что весна и лето в этом году будут более сухими. Если все наоборот, что Марс движется перед Солнцем весной и летом, оттягивая наклон Земли, подвергая Землю меньшему воздействию солнечного света и большему охлаждению, мы можем предположить, что весной и летом будет больше осадков, поскольку более холодный воздух, принесенный этой конфигурацией Марса, смешается с более теплым весенним и летним воздухом и создаст условия для осадков.

Эта динамика будет также применяться, когда речь идет о более прохладных месяцах, осени и зиме между 20 сентября и 20 марта. Если Марс движется позади Солнца в течение зимы, более теплый воздух из этого будет смешиваться с более холодным и создавать условия для осадков. Если Марс движется перед Солнцем в этот период, будет больше более холодного воздуха с меньшей вероятностью для осадков.

Мы также можем учитывать Марс, находящийся в пределах 30 градусов от лунного узла, как фактор, который может усугубить условия для выпадения осадков, вытягивая и растягивая орбитальную плоскость Луны, удаляя Луну от Земли, что оказывает дестабилизирующее воздействие на колебание Земли.

С помощью этой теоретической структуры мы можем применить условия, необходимые для запуска реальных осадков. Предположение о периоде более высоких или более низких осадков на основе положения Марса относительно Земли и сезона в это время не дает фактического механизма, который мог бы вызвать дождь. Таким образом, мы должны представить себе сценарий, в котором более холодный и более теплый воздух будут смешиваться в определенный период. Допустим, у нас есть Марс, движущийся за Солнцем, зимой, создавая сценарий для более теплой зимы, поскольку гравитация Марса тянет осевой наклон Земли в этот период. В этой связи мы можем предположить, что в этот период будет больше дождя, а не снега. Однако нам все еще нужно интерполировать сценарий, в котором более теплый воздух будет смешиваться с более холодным воздухом. Если этот сценарий движения Марса за Солнцем зимой предсказывает более теплую зиму, то для того, чтобы был дождь в этот сезон, необходимо объяснить механизм, который приносит более холодный воздух. Таким образом, мы можем вставить лунную схему.

Еще в 2014 году двое ученых из Вашингтонского университета изучали климатические данные за 15 лет и обнаружили, что лунные подсчеты влияют на количество осадков. Цубаса Кохьяма и его профессор Джон Уоллес изучали данные об осадках за 15 лет с 1998 по 2012 год и обнаружили, что положение Луны, когда она находится над головой с нашей точки наблюдения, стоя на земле или под ногами, увеличивает давление воздуха, что приводит к повышению температуры, большему поглощению влаги и меньшему количеству осадков. Тем не менее, эффект составил всего 1% от всех изменений количества осадков, но данные были достаточно значимыми, чтобы связать положение Луны с количеством осадков. При восходе или заходе с нашей точки наблюдения количество осадков теоретически должно быть больше. Но на меридиане, согласно исследованию, Луна уменьшает количество осадков. Наука, лежащая в основе этого исследования, заключается в том, что гравитация Луны притягивает земную атмосферу выше, увеличивая давление воздуха. Когда это происходит, воздух под ней становится теплее и способен поглощать больше

влаги. Это исследование позволяет нам использовать положение Луны в качестве триггера выпадения осадков.

Кроме того, поскольку Луна понимается как оказывающая стабилизирующее воздействие на колебание Земли, мы можем указать на положение Луны относительно Марса как на кратковременное противодействующее влияние гравитационного притяжения Марса к наклону оси Земли, поскольку, когда Луна выстраивается напротив Марса, она может на мгновение сместить температуру от текущей тенденции, которая поддерживается гравитационным притяжением Марса к Земле. Если мы находимся в более теплом, чем обычно, сезоне, потому что Марс движется позади Солнца, притягивая наклон оси Земли к Солнцу, мы можем утверждать, что когда Луна выстраивается напротив Марса, но позади Земли, мы можем предсказать, что гравитация Луны, притягивающая наклон Земли от Солнца, вызовет кратковременное изменение температуры, что создаст условия для смешивания более холодного воздуха с более теплым и разделения водяных паров, позволяя воде выпадать в осадки и становиться дождем.

Вот общая идея того, как можно представить себе этот сценарий, вызывающий дождь.



На изображении мы видим условия, которые могут привести к поглощению влаги и водяного пара во время потепления, а затем к выпадению осадков, поскольку Луна прерывает потепление, пытаясь противостоять гравитационному притяжению Марса и отклонить наклон Земли от Солнца. Это будет кратковременным, в течение 1-5 дней, поскольку Луна движется вокруг Земли намного быстрее, чем Марс вокруг Солнца.

Теперь имейте в виду, что существует множество вариаций этой динамики, которые могут вызвать выпадение осадков. Например, Марс, проходящий перед солнцем летом, тем самым вызывая более низкие, чем обычно, температуры, поскольку гравитация Марса оттягивает наклон оси Земли от солнца, может столкнуться с противодействием, когда Луна проходит перед землей, что создаст условия для осадков, поскольку гравитационное влияние Луны на землю, притягивающее землю к солнцу, может прервать более прохладную тенденцию. Теплый воздух будет смешиваться с более холодным воздухом, что приведет к разделению водяных паров. Вот пример, представляющий такой сценарий.

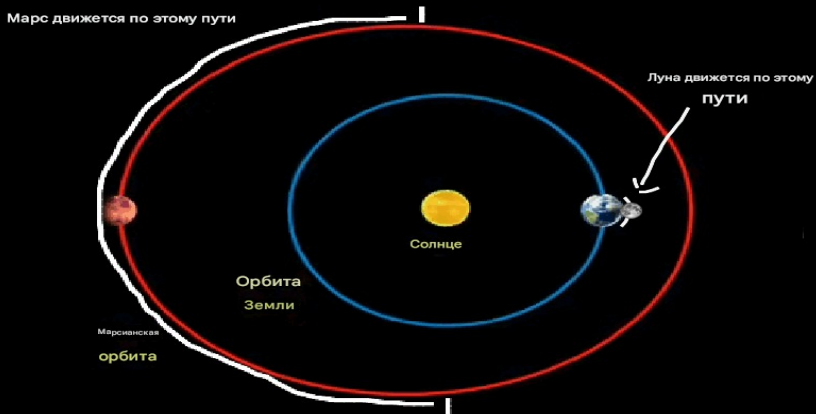
В то время как Марс отклоняет наклон оси Земли от Солнца, гравитация Луны отклоняет наклон оси Земли обратно к Солнцу.



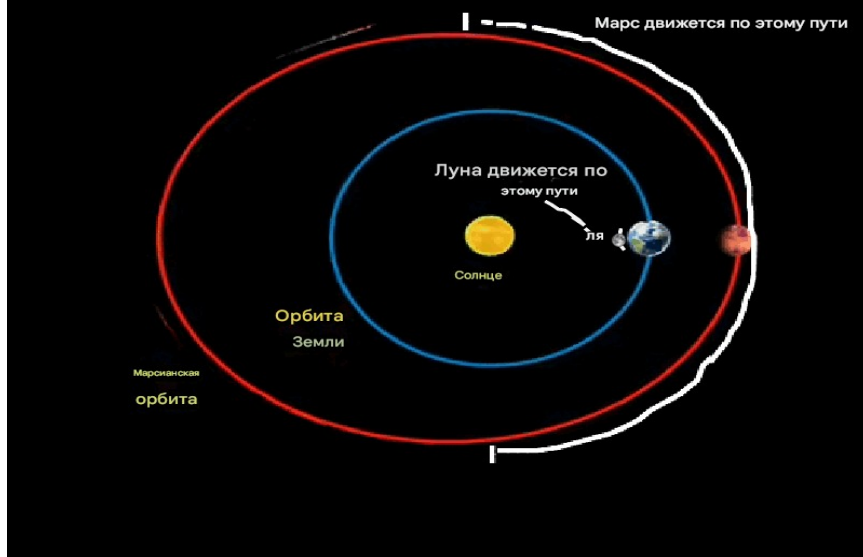
Это должно привести к кратковременному изменению тенденции к похолоданию, вызванной Марсом, и вызвать выпадение осадков.

Вот базовый обзор условий выпадения осадков.

Условия выпадения осадков

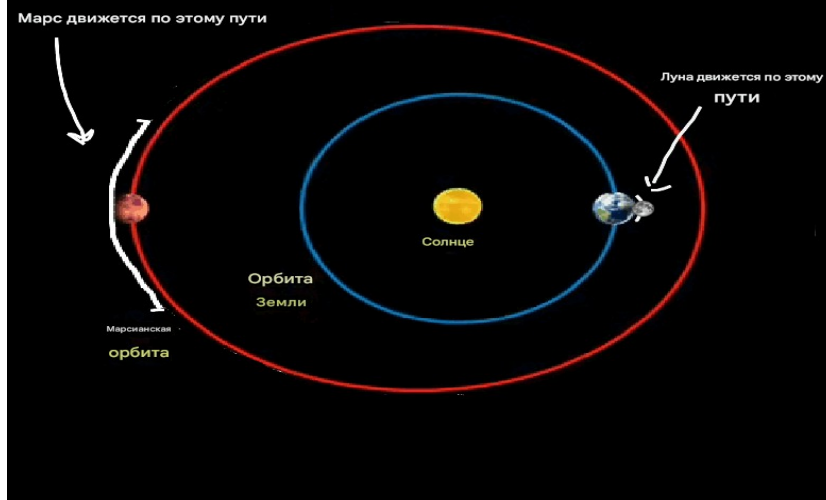


Условия выпадения осадков



Эти первые два примера интерполируют, как дождь может быть вызван этим выравниванием, и сужают параметры, которые могут вызвать ливень. Теперь мы можем сузить все еще больше и вставить представление о том, что чем ближе выравнивание в противостоянии между Луной и Марсом, тем более вероятно, что будет сильный дождь. Итак, теперь давайте сузим требуемый путь Луны и Марса.

Условия выпадения осадков



Условия выпадения осадков



Сузив эти рамки, мы можем углубиться в два других варианта, которые также могут быть применены к науке об осадках, которые включают тесное соединение между Луной и Марсом. Если Луна движется перед Землей, а Марс движется позади Солнца, то оба тела в соединении будут тянуть осевую наклон Земли к Солнцу, подвергая Землю большему воздействию солнечного света и тепла. Здесь мы можем сделать предположение, что более высокие температуры, которые возникают в результате, могут привести к осадкам, поскольку теплый фронт смешивается с менее теплым воздухом, что может привести к распаду водяных паров. Вот пример этого тесного соединения.



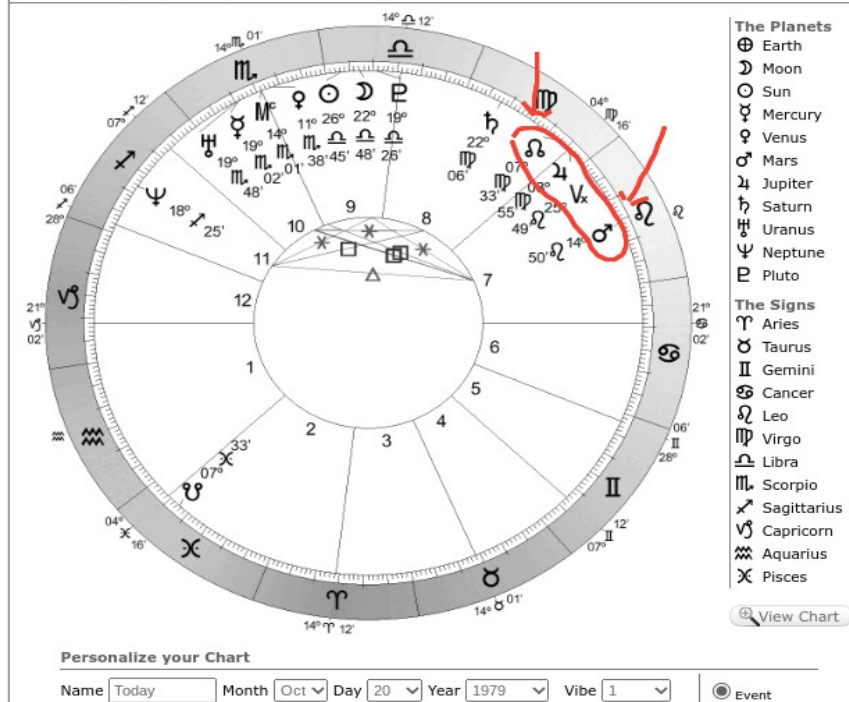
Теперь перейдем к визуализации другого близкого соединения между Луной и Марсом, при котором Луна движется позади Земли, в то время как Марс движется перед Солнцем относительно точки наблюдения с Земли. Оба тела будут

оказывать гравитационное воздействие на наклон Земли, отдаляя Землю от Солнца и подвергая Землю воздействию более низких температур. Если полученные в результате холодные фронтальные температуры смешаются с менее холодным воздухом, может произойти разрыв водяных паров и выпадение осадков. Вот визуализация этого сценария



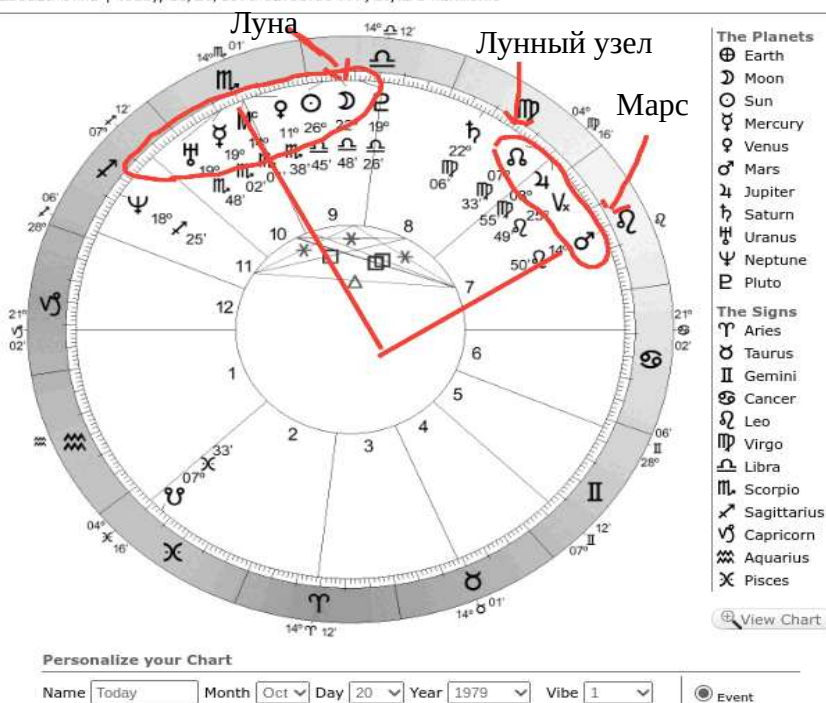
На данный момент мы изложили теоретическую основу, которая могла бы позволить нам предсказать температурные возмущения, приводящие к выпадению осадков посредством воздействия на Землю как гравитации Марса, так и Луны, либо смещения наклона земной оси к Солнцу, либо от Солнца. Однако, поскольку эта статья углубилась в экстремальные события, как было разъяснено в первых двух разделах относительно ракетного обстрела в Газе и крахов фондового рынка, мы должны продолжить эту тему и исследовать экстремальные осадки. Подобно эскалации ракетных атак из Газы и крахам фондового рынка, мы должны найти похожую тему Марса, находящегося в пределах 30 градусов от лунного

узла, что является фактором ускорения, который может вызвать экстремальные осадки. Марс в пределах 30 градусов от лунного узла был объяснен как механизм, посредством которого планета Марс применяет гравитационное притяжение к орбитальному пути Луны, растягивая его, так что он постепенно отдаляет орбиту Луны от Земли, фактор, который будет иметь дестабилизирующий эффект на колебание Земли, что подвергнет Землю более резким колебаниям температуры. Если мы применим эту динамику к погодным явлениям, мы можем предположить, что сценарий может вызвать серьезные температурные возмущения, которые могут конденсировать водяные пары, поглощенные воздухом, вызывая осадки. Луна учитывается в этом, поскольку это компонент, который вызывает краткосрочные температурные возмущения. Имейте в виду, что мы пытаемся объяснить экстремальные явления. Вот наглядное представление того, как работает конфигурация. Этот первый пример — экстремальное выпадение осадков на Ближнем Востоке, которое произошло в 1979 году с 20 октября по 23 октября. Пятьдесят человек погибли, а 66000 пострадали. Посмотрите на карту и заметьте, что Марс находился в пределах 30 градусов от лунного узла, и примените вышеупомянутые гравитационные факторы. Марс также находится позади Солнца относительно Земли, поэтому, предположительно, зима была более теплой.



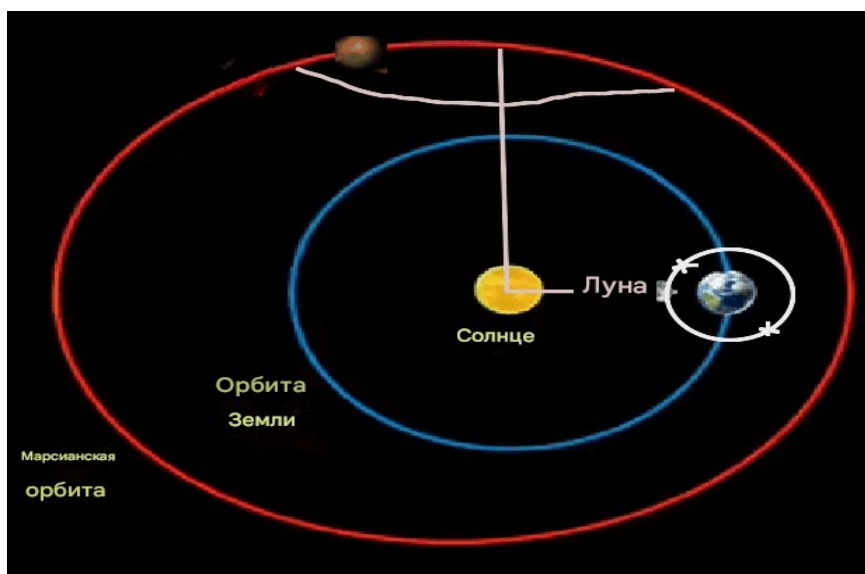
Итак, возмущение было вызвано Луной. Но будьте внимательны. Я обнаружил закономерность, которая указывает на то, что экстремальные осадки могут быть вызваны прямыми углами между Марсом и Луной, если любая из масс находится в пределах 30 градусов от лунного узла. Таким образом, если Марс находится в пределах 30 градусов от лунного узла, возмущение температуры и соответствующие осадки будут вызваны, когда Луна образует почти прямой угол с положением Марса. Аналогично, если Луна находится в пределах 30 градусов от лунного узла, возмущение температуры может быть вызвано, если Луна уже формируется около прямого угла к Марсу. Первое происходит здесь — Марс находится в пределах 30 градусов от лунного узла, в то время как Луна под почти прямым углом к Марсу вызывает температурное возмущение, необходимое для экстремальных осадков. Вот визуальное

230529-0743 | Today, 10/20/1979 02:00:00 PM , style 1 harmonic



Вот как эта конфигурация выглядела в небе.





13 мая 1982 года сильный шторм вызвал наводнение на Ближнем Востоке. Вот график, обратите внимание, что у нас есть похожая динамика, как и на первом графике, но на этот раз Луна находится в пределах 30 градусов от лунного узла, образуя почти прямой угол с Марсом.

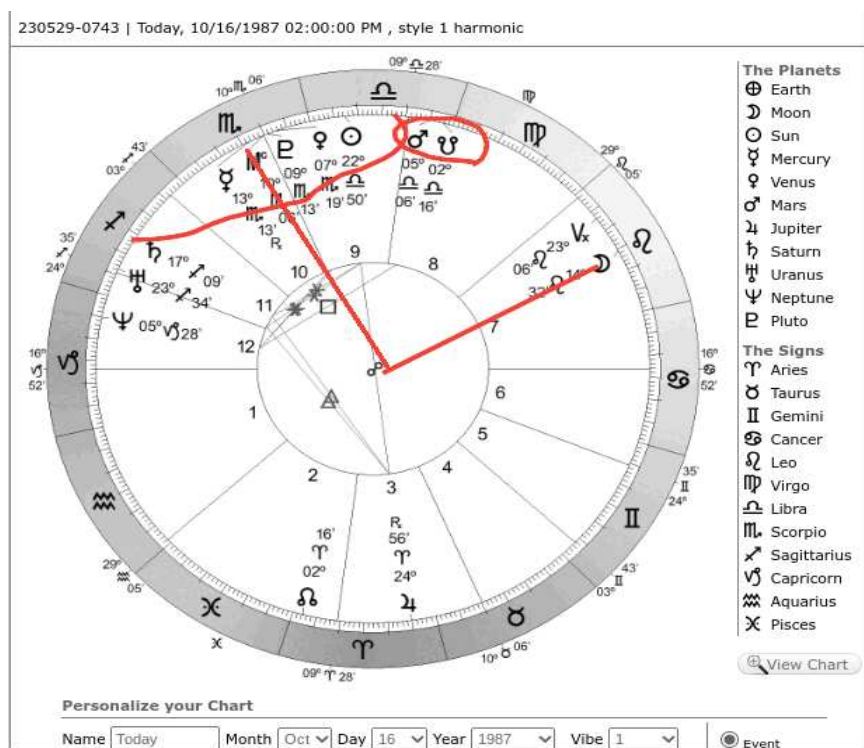
Солнце

Орбита Земли

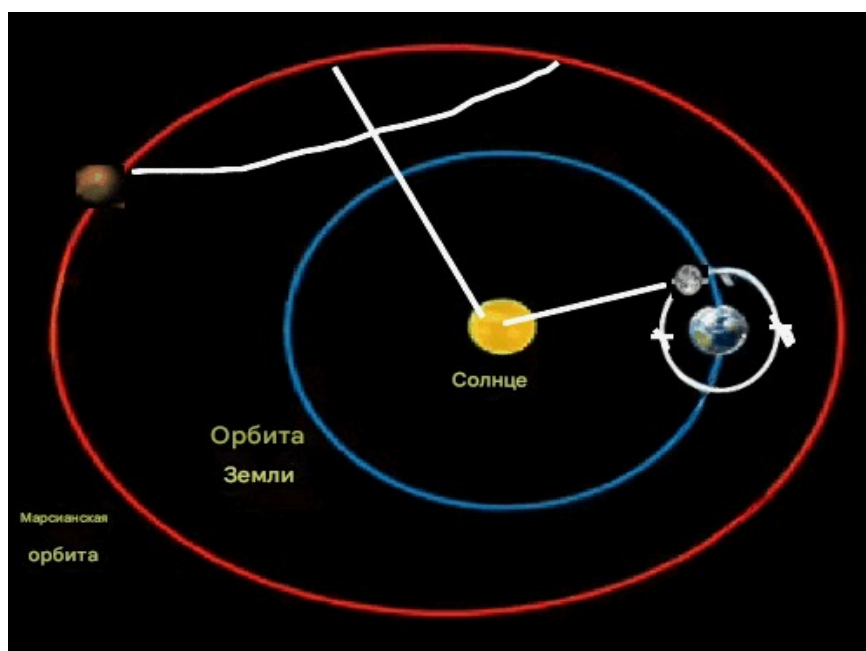
Марсианская орбита

Обратите внимание, что Марс находился в пределах точки, обозначающей прямой угол, образованный конфигурацией Марса и Луны.

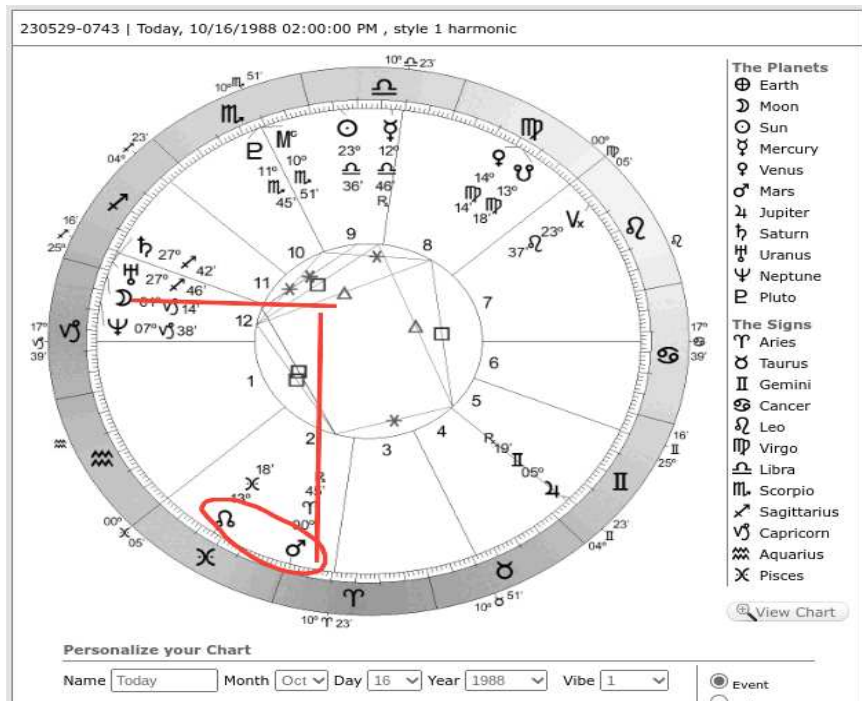
Ниже представлена диаграмма шторма, который произошел 16 октября 1987 года и вызвал наводнение в Египте и Иордании, в результате которого погибло 39 человек.



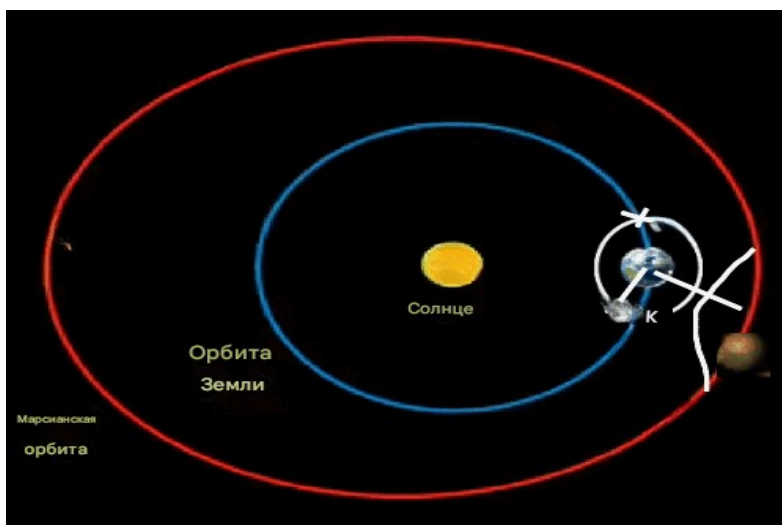
Марс находится в пределах 30 градусов от лунного узла и почти образует прямой угол с Луной, но немного смещен на момент расчета карты. Луна была бы в пределах назначенного диапазона часами ранее. Вот как конфигурация выглядела на небе в тот день



Еще одна дата сильных осадков для Египта, вызвавшая наводнения, произошла 16 октября 1988 года. Вот астрологическая карта, показывающая положение Марса, Луны и лунного узла. И снова Марс находился в пределах 30 градусов от лунного узла и составлял прямой угол с Луной

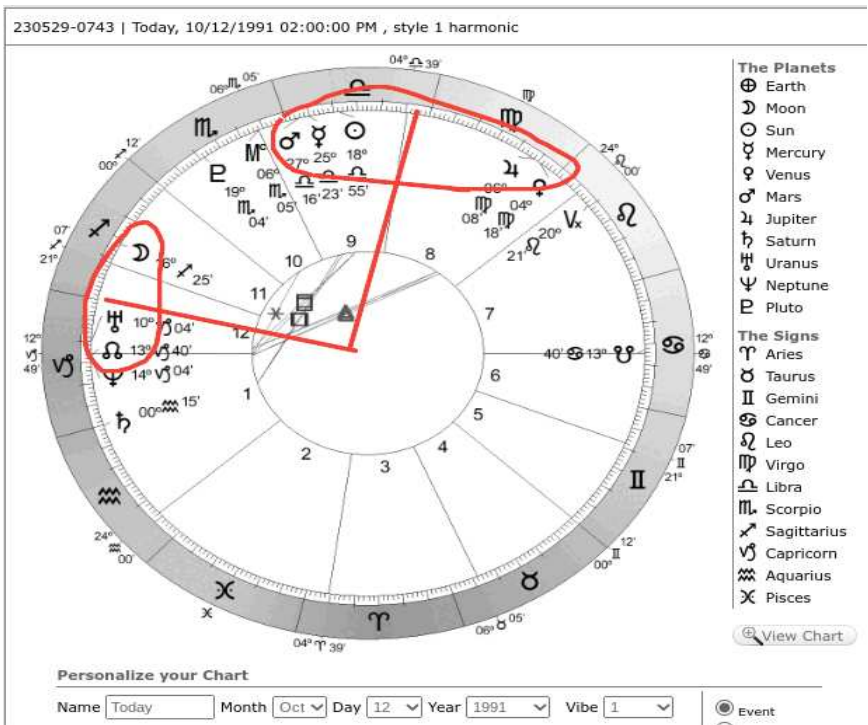


Вот как выглядела эта конфигурация в небе в тот день.

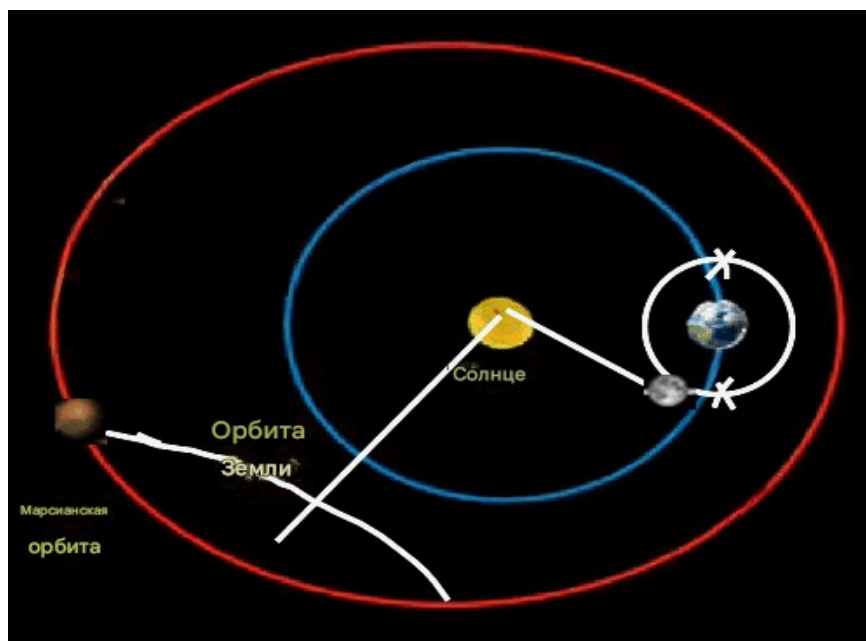


В небе конфигурация образует прямой угол.

Еще одно крупное событие с осадками в Леванте произошло 12 октября 1991 года. В этот раз Луна находилась в пределах 30 градусов от лунного узла и образовывала почти прямой угол с Марсом.

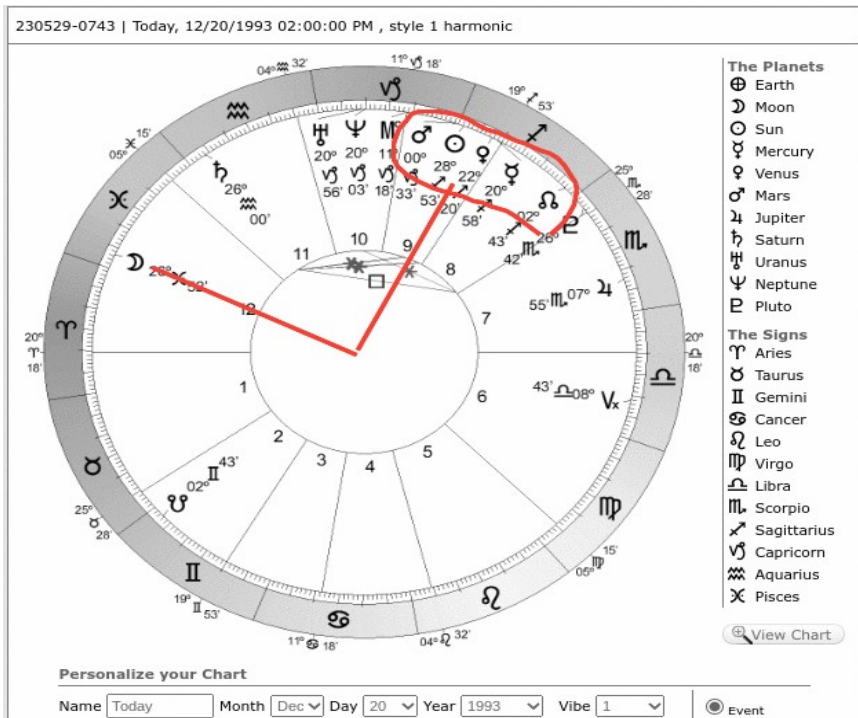


Вот как эта конфигурация выглядела в небе

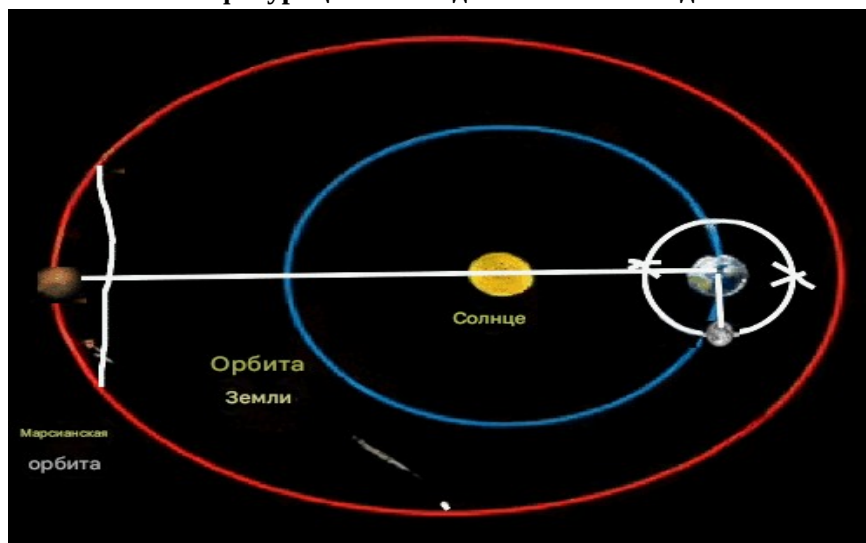


Следующее крупное выпадение осадков в Леванте произошло 20 декабря 1993 года. За это время в Израиле погибло 2 человека и был нанесен ущерб на сумму 10 миллионов.

В астрологии Марс находился в пределах 30 градусов от лунного узла и составлял прямой угол с Луной, что, по-видимому, является типичной конфигурацией для экстремальных событий.



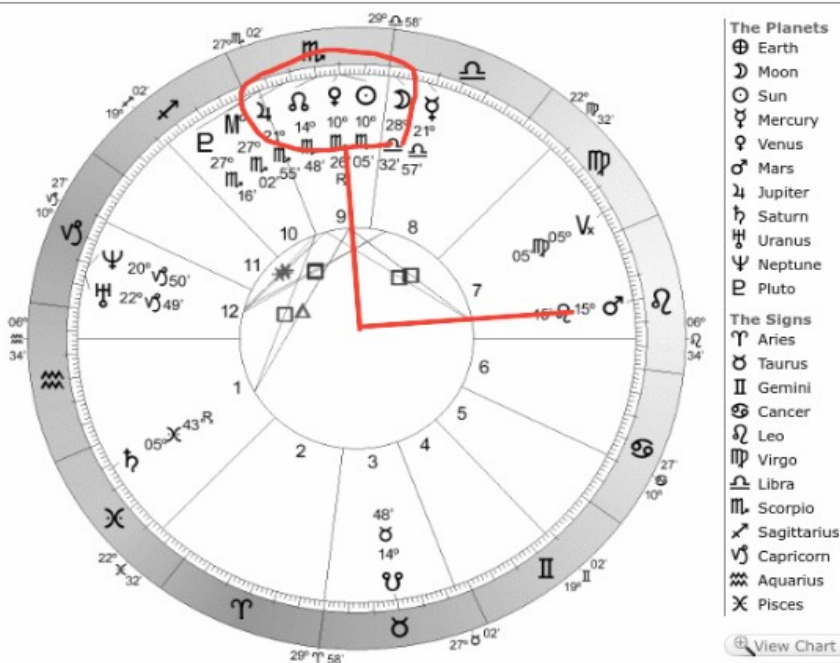
Вот как эта конфигурация выглядела в небе в тот день.



2 ноября 1994 года в Египте произошло сильнейшее наводнение, в результате которого погибло 600 человек, пострадало 160 000 человек, а ущерб составил 140 миллионов долларов.

В это время Луна находилась в пределах 30 градусов от лунного узла и образовывала прямой угол с Марсом. Итак, мы снова видим эту общую закономерность в экстремальных событиях, когда Марс или Луна находятся в пределах 30 градусов от лунного узла и образуют прямой угол друг с другом.

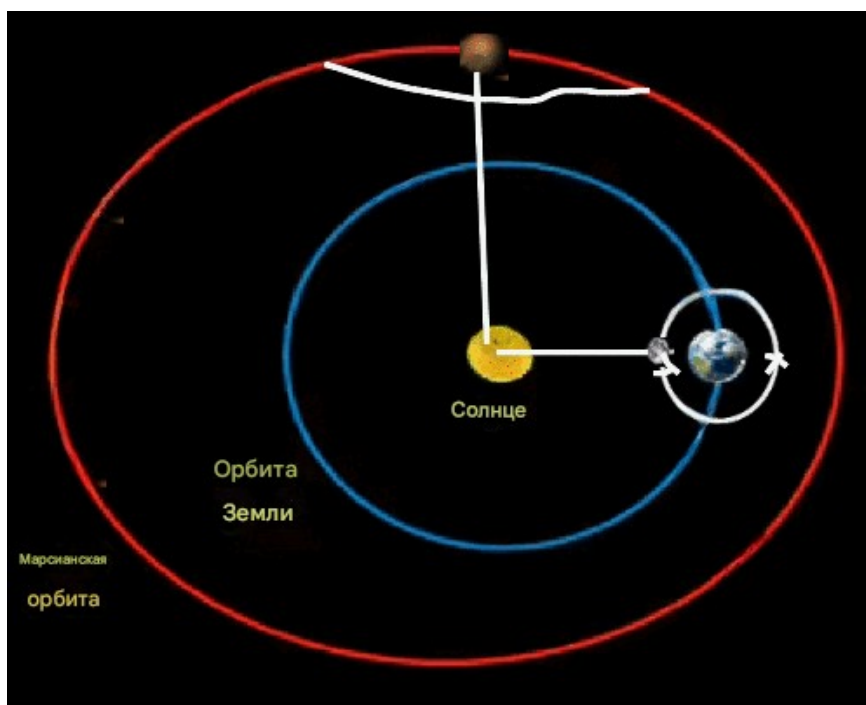
230529-0743 | Today, 11/02/1994 02:00:00 PM, style 1 harmonic



Personalize your Chart

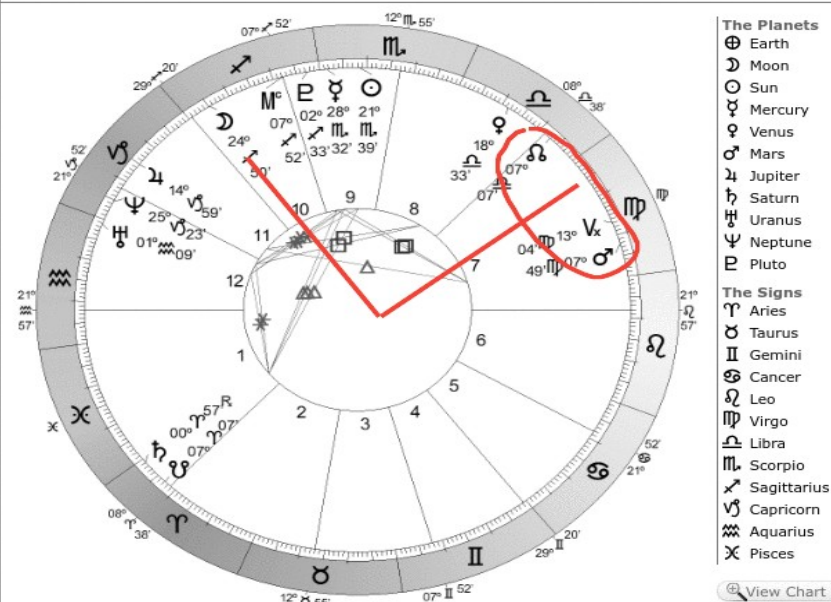
Name Month Day Year Vibe ☒ Event

Вот как эта конфигурация выглядела в небе в тот день.



С 13^{го} 18 ноября 1996 года проливные дожди в Египте привели к 12 жертвам, 260 человек пострадали от наводнений. Марс только что начал свою фазу, проходя в пределах 30 градусов от лунного узла и образовав прямой угол с Луной. Вот астрологическая карта

230529-0743 | Today, 11/13/1996 02:00:00 PM , style 1 harmonic

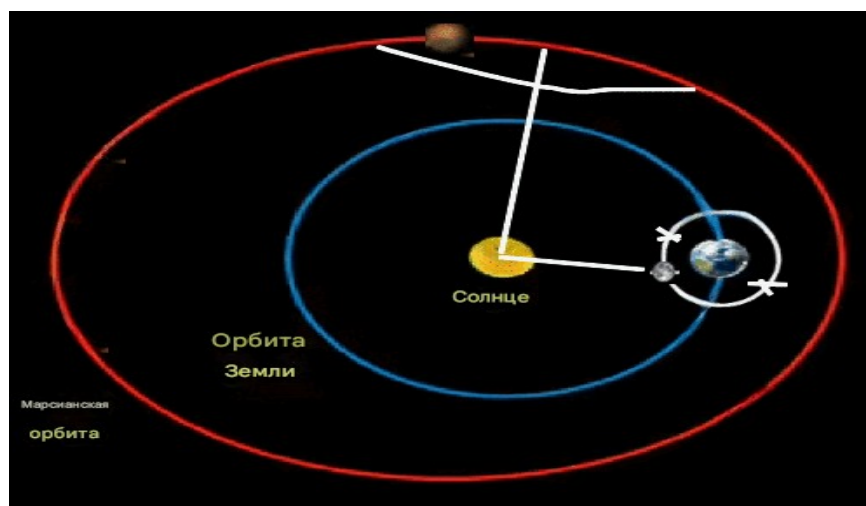


Personalize your Chart

Name Month Day Year Vibe

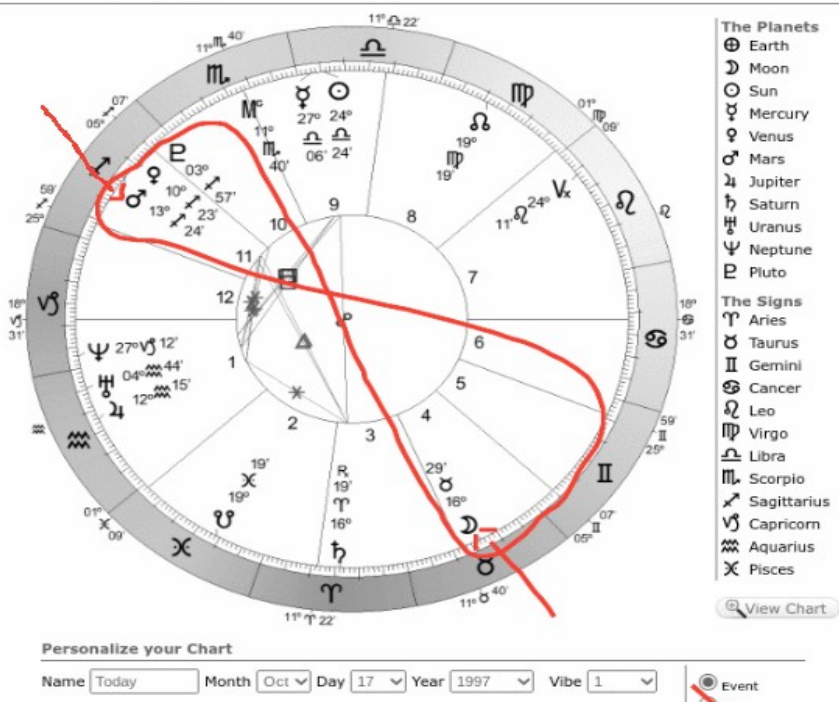
☒ Event

Вот как эта конфигурация выглядела на небе в тот день.

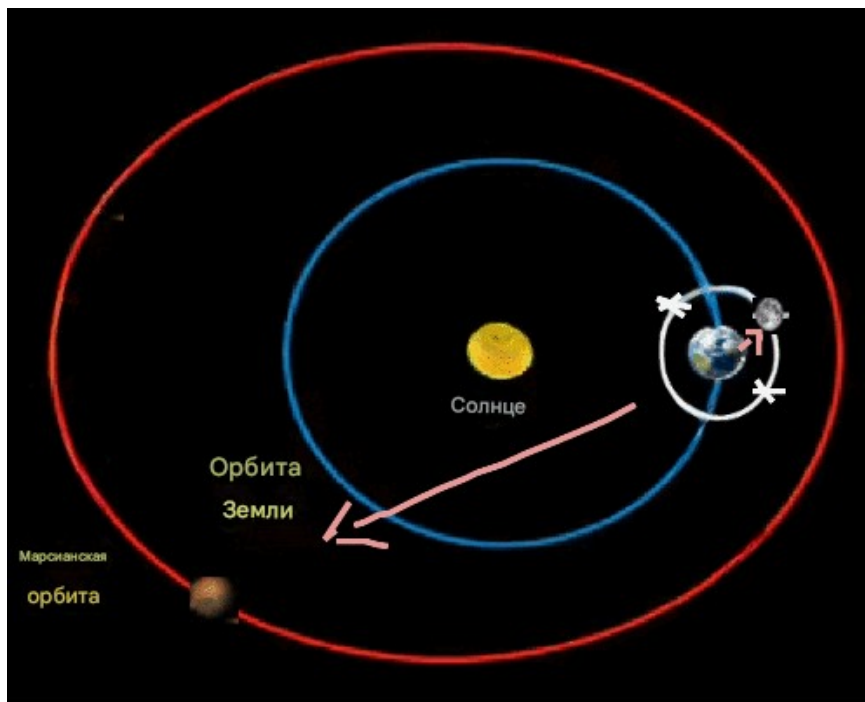


17 октября 1997 года сильные дожди обрушились на Египет, Израиль и Иорданию. В Израиле, Египте и Иордании погибло 15 человек, а ущерб составил более 40 миллионов долларов. Вот астрологическая карта. Вот пример, где ни Марс, ни мон не находились в пределах 30 градусов от лунного узла. Это пример, где луна и Марс находились в оппозиции, и каждое тело тянуло наклон оси Земли, что, вероятно, создавало температурное возмущение. Это пример динамики, с помощью которой можно было предсказать регулярное выпадение осадков

230529-0743 | Today, 10/17/1997 02:00:00 PM , style 1 harmonic



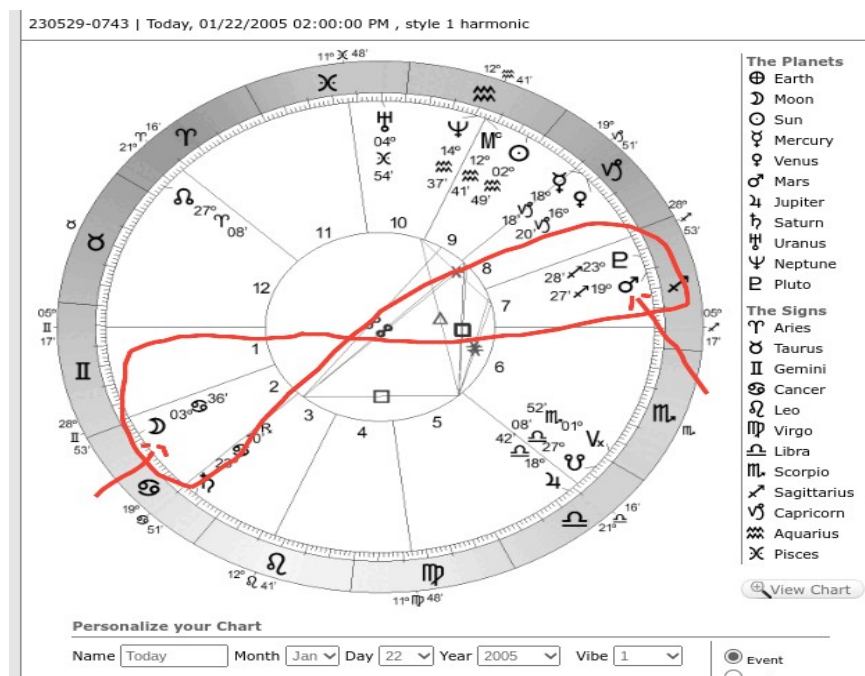
Вот как эта конфигурация выглядела в небе.



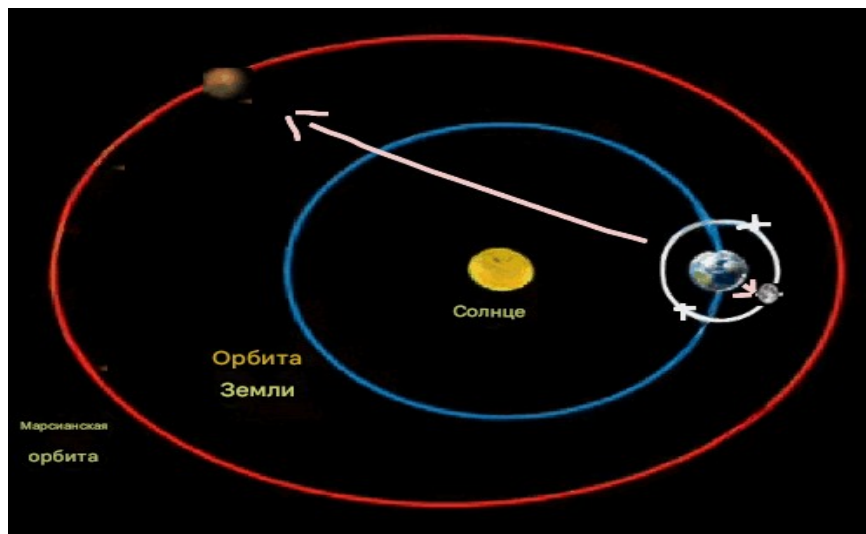
Лучшее объяснение того, почему Марс в пределах 30 градусов от лунного узла, образуя прямой угол с Луной, является катализатором экстремальных осадков, может быть связано с тем, как эта конфигурация указывает на то, что Луна движется по своей орбитальной траектории дальше всего от плоскости эклиптики. Это не следует путать с апогеем и перигеем, когда Луна находится соответственно дальше и ближе всего к Земле на своей орбитальной траектории. Орбита Луны вокруг Земли наклонена на пять градусов от эклиптики и встречается с эклиптикой только в лунных узлах. Тем не менее, во время перигея (Луна ближе всего к Земле) и апогея (Луна дальше всего от Земли) Луна находится очень близко к лунным узлам. Поэтому в этой связи мы должны наблюдать Луну относительно плоскости эклиптики и почему ее близость к таковой является фактором, способствующим температурным возмущениям и

осадкам. Мы можем предположить, что когда Луна находится дальше всего от плоскости эклиптики, а Марс приближается к лунным узлам, температурные возмущения происходят вследствие ослабления гравитационного притяжения Луны к Земле в этот период, что позволяет Марсу оказывать свое гравитационное влияние при меньшем сопротивлении со стороны Луны. Это может принести влажность и влагу, которые немедленно выпадут в осадок, если он смешается с более холодным воздухом, если это произойдет зимой.

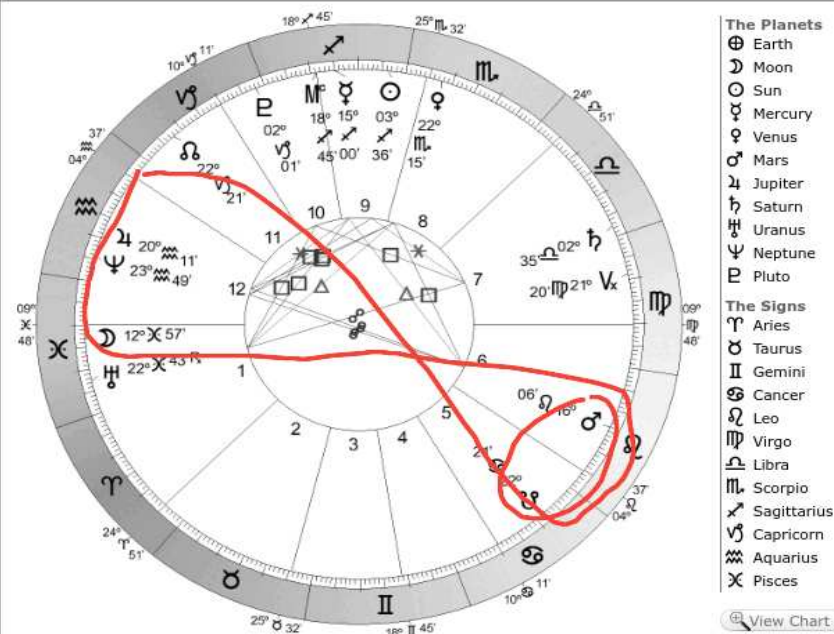
Следующая карта относится к 22 января 2005 года. Между 22 и 27 числами проливной дождь привел к 29 жертвам на Ближнем Востоке. Вот карта. Марс и Луна находятся в оппозиции



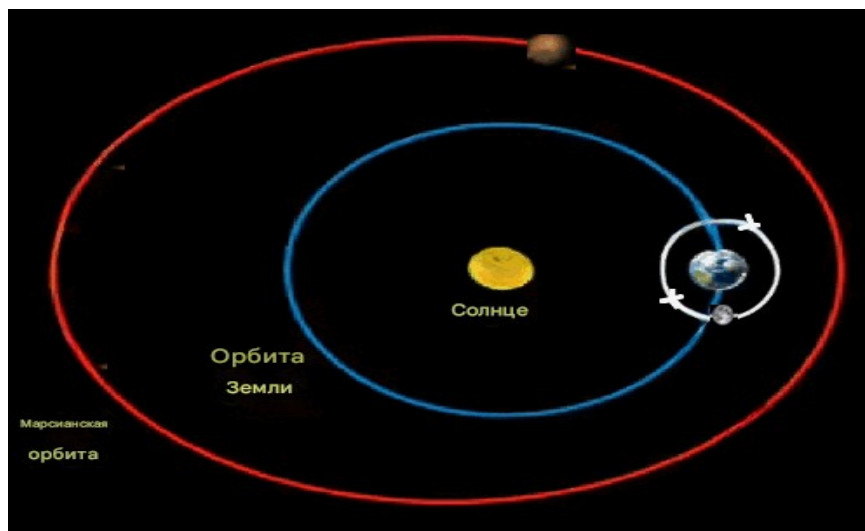
Вот как эта конфигурация выглядела в небе.



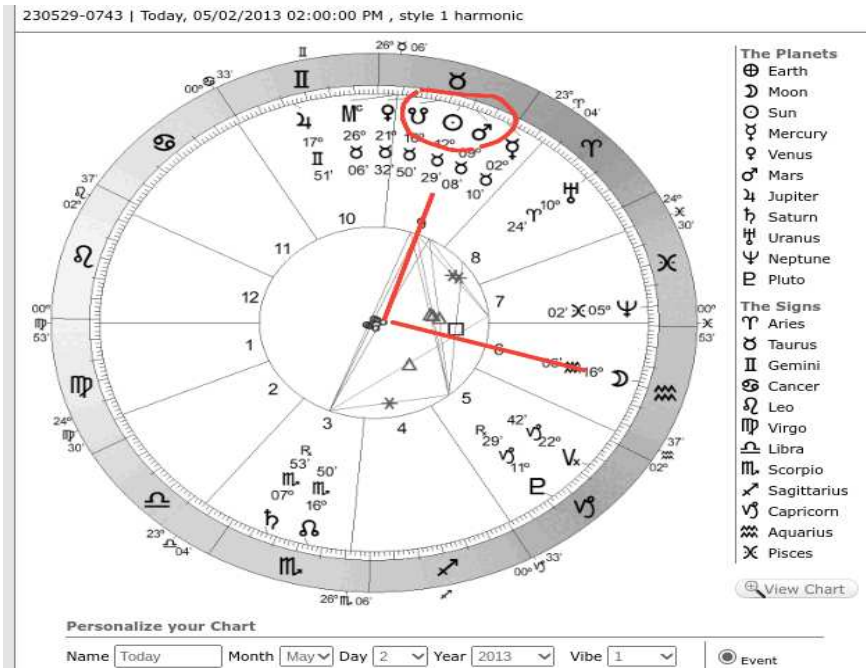
Следующая диаграмма относится к 25 ноября 2009 года, дню, который привел к сильному наводнению в Саудовской Аравии, в результате которого погибло 122 человека. Пострадало 10 000 человек, а ущерб оценивается в 900 миллионов долларов. Марс находится в пределах 30 градусов от лунного узла, но Луна не образует угол, ожидаемый для такого события, как это. Луна находится напротив Марса, оказывая противоположное влияние на гравитационное притяжение Марса.



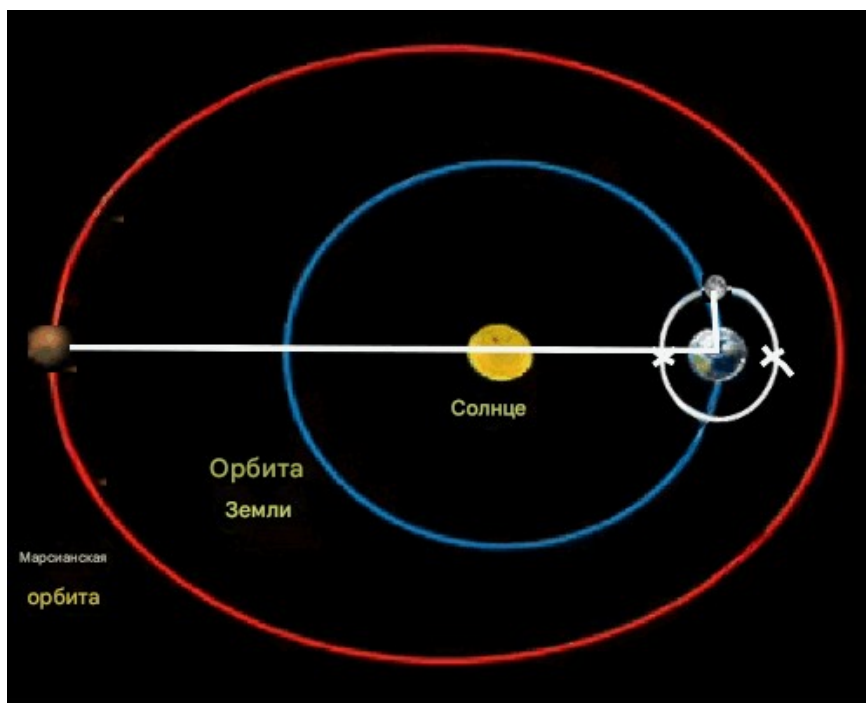
Вот как эта конфигурация выглядела на небе в этот день.



Это карта на 2 мая 2013 года, когда ливни и наводнения привели к 20 жертвам на Ближнем Востоке. На этой карте Марс находится в пределах 30 градусов от лунного узла, образуя прямой угол с Луной.



Вот как эта конфигурация выглядела в небе.



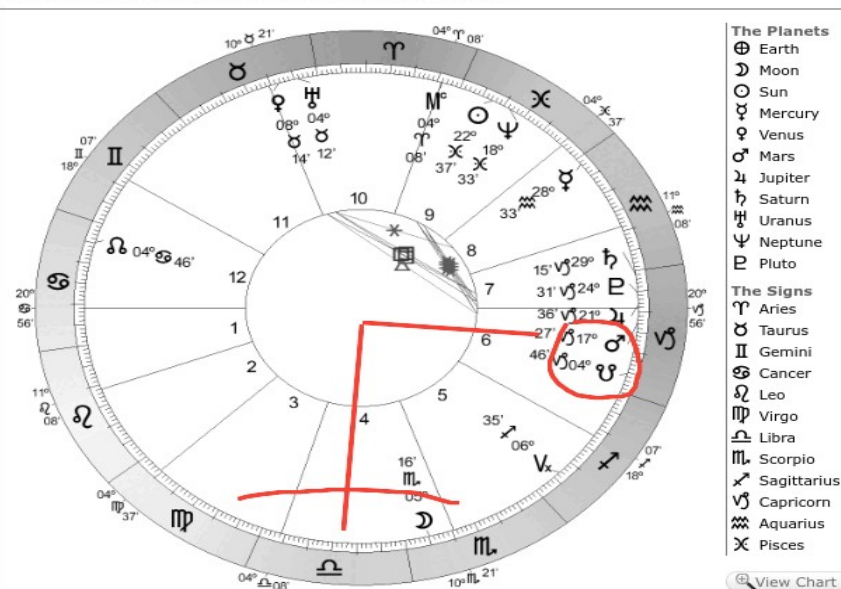
В 7 из 12 перечисленных диаграмм сильных осадков на Ближнем Востоке Марс находился в пределах 30 градусов от лунного узла. Исходя из этого выравнивания, фермеры на Ближнем Востоке могли использовать его для разработки решающих протоколов того, как эффективно распределять водные ресурсы и начинать мероприятия по внесению удобрений и выращиванию сельскохозяйственных культур.

Вот примеры четырех крупных штормов и наводнений за последние пять лет на Ближнем Востоке.

Вот график на 12 марта 2020 года, когда на Ближнем Востоке прошли сильные ливни и наводнения. Пострадали девять

стран: Египет, Иордания, Израиль, Сирия, Ливан, Турция, Саудовская Аравия, Судан, Иран и Ирак. В это время Марс находился в пределах 30 градусов, образуя прямой угол с Луной. Это был самый сильный шторм в Египте с 1979 года, во время которого Марс также находился в пределах 30 градусов от лунного узла.

230529-0743 | Today, 03/12/2020 02:00:00 PM , style 1 harmonic

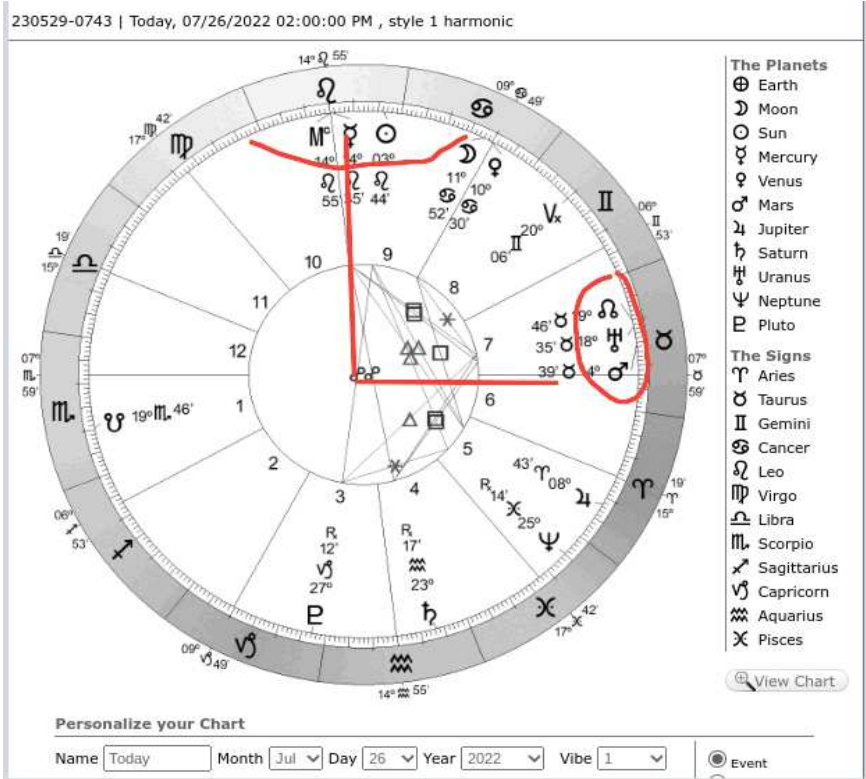


Personalize your Chart

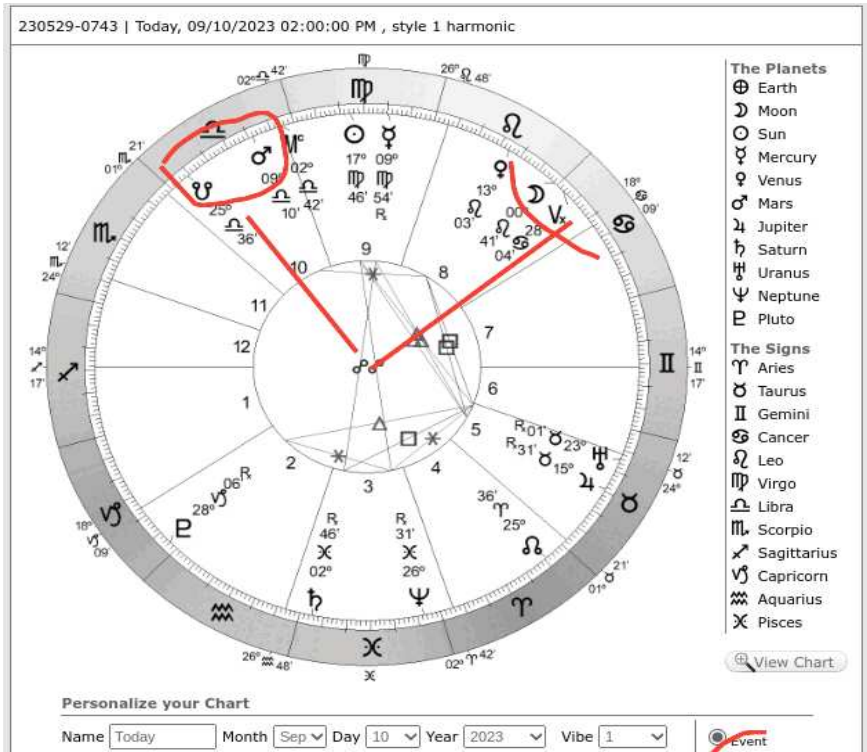
Name Month Day Year Vibe ☒ Event

Ниже представлена диаграмма за 26 июля 2022 года, когда в Объединенных Арабских Эмиратах наблюдалось рекордное количество осадков.

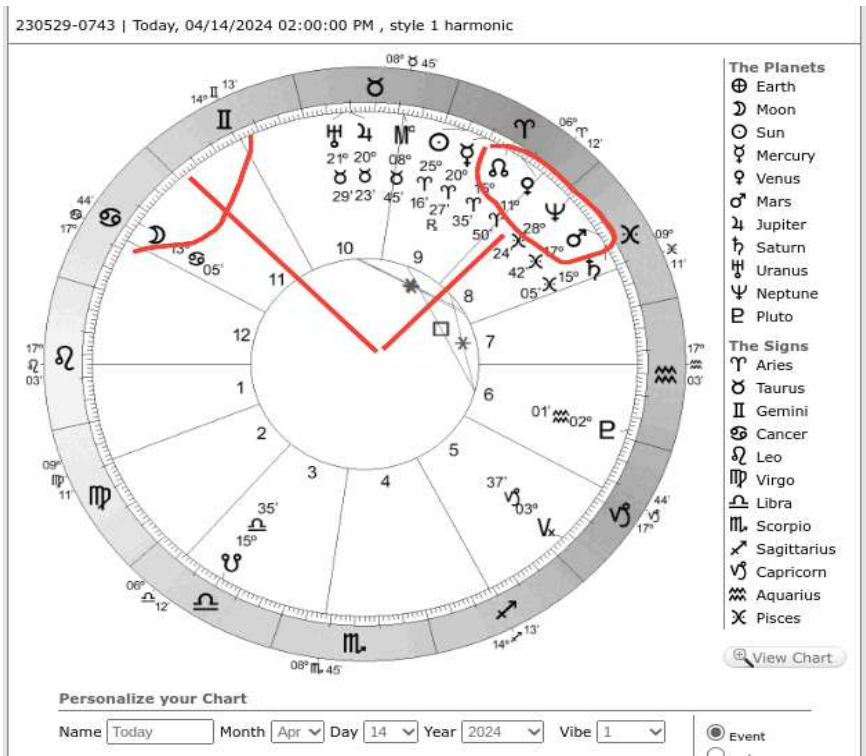
И снова, в этот день Марс находился в пределах 30 градусов от лунного узла, образуя почти прямой угол с Луной в начале. Через несколько часов Луна будет в зоне прямого угла



Ниже представлена карта наводнений в Ливии в 2023 году, вызванных штормом Дэниел, обрушившимся на Ливию 10 сентября 2023 года. В этот день Марс находился в пределах 30 градусов от лунного узла, образуя прямой угол с Луной.



Вот график наводнений в Объединенных Арабских Эмиратах в апреле 2024 года. Сильные дожди обрушились на ОАЭ 14 апреля 2024 года и вызвали крупное наводнение. Пострадали Объединенные Арабские Эмираты, Оман, Иран, Бахрейн, Катар, Саудовская Аравия, Йемен. Это было рекордное событие для ОАЭ. И снова Марс находился в пределах 30 градусов от лунного узла, образуя прямой угол с Луной, когда шторм обрушился туда. Это было рекордное событие для ОАЭ

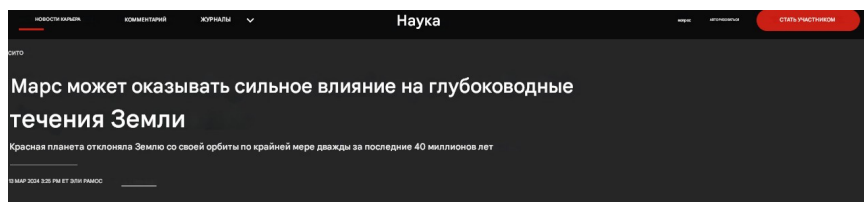


Единственная экстраполяция, которую мы можем получить для этих данных, заключается в том, что Марс в пределах 30 градусов от лунного узла может быть ответственен за более чем среднее количество осадков в определенный сезон. Здесь мы можем разработать систему, которая могла бы предсказывать сильные осадки и, таким образом, помогать всем на Ближнем Востоке с протоколами реагирования на чрезвычайные

ситуации и сельскохозяйственными сроками, связанными с ростом и развитием урожая. В орошаемом земледелии количество осадков определяет количество поливной воды и время ее потребления. Системы, основанные на осадках, обращают внимание на время выпадения осадков, чтобы определить рост урожая. Это также переводится в сроки внесения удобрений, гербицидов и средств борьбы с вредителями. Осадки также являются ключом к расчету времени уборочных работ для послеуборочных мероприятий. Прогнозирование погодных явлений помогает в планировании сельскохозяйственных задач, посадки или нет, определении того, следует ли поливать или нет удобрения, транспортировке и хранении продовольственного зерна, а также мерах по защите скота. В целом, успешная система прогнозирования погоды способствует процессу принятия решений в области сельскохозяйственных методов

Имейте в виду, что предположение о влиянии Марса было подтверждено в 2024 году, когда ученые начали выдвигать гипотезу о том, что Марс влияет на климат Земли и океанские приливы.

Вот статья с сайта Science.org



« Луна вызывает приливы, но это не единственное небесное тело, которое влияет на воду Земли. Гравитация Марса влияет на глубоководные течения нашей планеты, согласно исследованию, опубликованному на этой неделе в журнале Nature Communications».

Другие статьи поддерживают гипотезу о том, что Марс должен иметь некоторое влияние на Землю. В этом разделе я объединил эту динамику с научной предпосылкой о том, что Луна влияет на количество осадков посредством своего гравитационного притяжения к атмосфере Земли.

На следующей странице приведен пример (использованные источники) дат, когда Ближний Восток подвергался сильным дождям, наводнениям и человеческим жертвам. Даты взяты из исследования, в котором изучалась динамика экстремальных осадков в Леванте и на Ближнем Востоке. Источник: Extreme Precipitation Events in the Middle East: Dynamics of the Active Red Sea Basin AJ de Vries, E. Tyrlis, D. Edry, S. o. Krishak, B. Steele, J. Lilyfeld. Впервые опубликовано: 12 июня 2013 г. <https://doi.org/10.1002/jgrd.50569>

Nr.	Years and Months	Days	Sources of Motivation ^a	Societal Impact	Case Studies
1	Oct 1979	20–23	1,2	50 casualties, 66,000 people affected, and US\$ 14 M damage in Egypt (flood) ^b	<i>Greenbaum et al. [1998]</i> <i>Ziv et al. [2005]</i>
2	May 1982	13			
3	Oct 1987	16–18	1,2	30 casualties in Egypt (storm on 17 Oct) and nine casualties in Jordan (flood on 16 Oct) ^b	
4	Oct 1988	16–19	1		
5	Oct 1991	12–14	1,2,3		
6	Dec 1993	20–23	3	two casualties and estimated damage US\$ 10 M in Israel ^c	
7	Oct 1994	10	1,2		

Nr.	Years and Months	Days	Sources of Motivation ^a	Societal Impact	Case Studies
8	Nov 1994	2–4	1,2,3	600 casualties, 160,660 people affected, and US\$ 140 M damage in Egypt (flood, 2–8 Nov) ^b	<i>Krichak and Alpert [1998]</i> , <i>Krichak et al. [2000]</i>
9	Nov 1996	16–18		12 casualties and 260 people affected in Egypt (flood, 13–18 Nov) ^b	<i>Dayan et al. [2001]</i>
10	Oct 1997	17–19	1,2,3	15 casualties and US\$ 40 M damage in Israel (flood from 17 to 19 October), four casualties, and US\$ 1 M damage in Egypt (flood, 18–20 Oct) and two casualties and US\$ 1 M damage in Jordan (flood, 18–20 Oct) ^b ; at least six casualties in Egypt, nine in Israel, and two in Jordan ^c	
11	Nov 2003	23–25			
12	Oct 2004	28–29	3		<i>Greenbaum et al. [2010]</i>

The Dow's Biggest One-Day Drops

Here's where yesterday's drop of 586 points ranks among the worst drops in the Dow's history:

Date	Close	Change	Percent
9/29/2008	10,365.45	-777.68	-6.98%
10/15/2008	8,577.91	-733.08	-7.87%
9/17/2001	8,920.70	-684.81	-7.13%
12/1/2008	8,149.09	-679.95	-7.70%
10/9/2008	8,579.19	-678.92	-7.33%
8/8/2011	10,809.85	-634.76	-5.55%
4/14/2000	10,305.78	-617.78	-5.66%
8/24/2015	15,873.22	-586.53	-3.56%
10/27/1997	7,161.14	-554.26	-7.18%
8/21/2015	16,459.75	-530.94	-3.12%

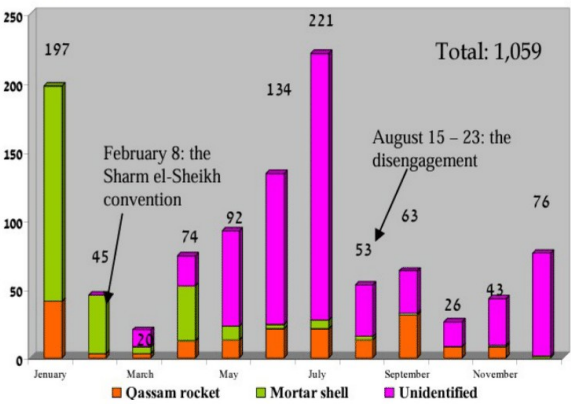
Largest daily percentage losses^[5]

Rank •	Date •	Close •	Change	
			Net •	% •
1	1987-10-19	1,738.74	-508.00	-22.61
2	2020-03-16	20,188.52	-2,997.10	-12.93
3	1929-10-28	260.64	-38.33	-12.82
4	1929-10-29	230.07	-30.57	-11.73
5	2020-03-12	21,200.62	-2,352.60	-9.99
6	1929-11-06	232.13	-25.55	-9.92
7	1899-12-18	58.27	-5.57	-8.72
8	1932-08-12	63.11	-5.79	-8.40
9	1907-03-14	76.23	-6.89	-8.29
10	1987-10-26	1,793.93	-156.83	-8.04
11	2008-10-15	8,577.91	-733.08	-7.87
12	1933-07-21	88.71	-7.55	-7.84
13	2020-03-09	23,851.02	-2,013.76	-7.79
14	1937-10-18	125.73	-10.57	-7.75
15	2008-12-01	8,149.09	-679.95	-7.70
16	2008-10-09	8,579.19	-678.91	-7.33
17	1917-02-01	88.52	-6.91	-7.24
18	1997-10-27	7,161.14	-554.26	-7.18
19	1932-10-05	66.07	-5.09	-7.15
20	2001-09-17	8,920.70	-684.81	-7.13

2005
Source: <https://www.terrorism-info.org.il/en/18892/>

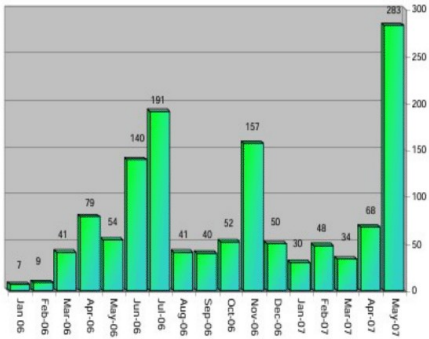
Mortar fire was omitted in data on first page

Qassam rocket and mortar fire in 2005¹³



2006
Source: <https://www.terrorism-info.org.il/en/18614/>

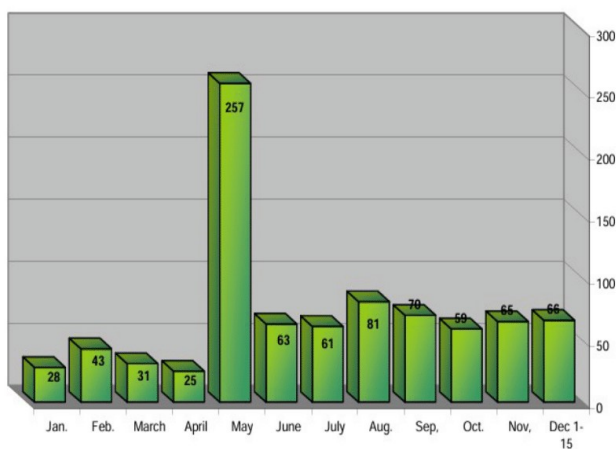
Monthly distribution of identified rocket hits



2007

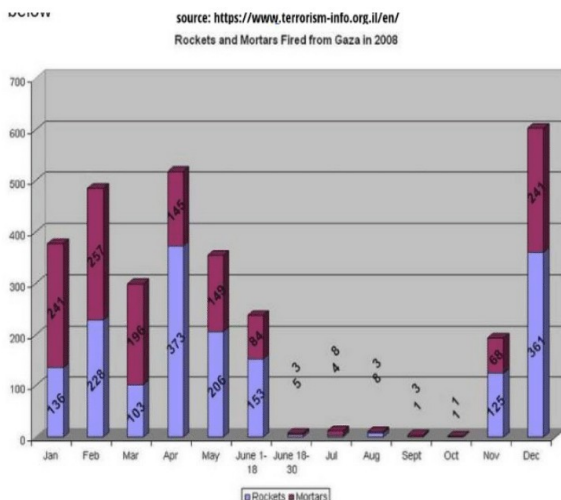
Source: <https://www.terrorism-info.org.il/en/18534/>

Monthly distribution of identified rocket hits



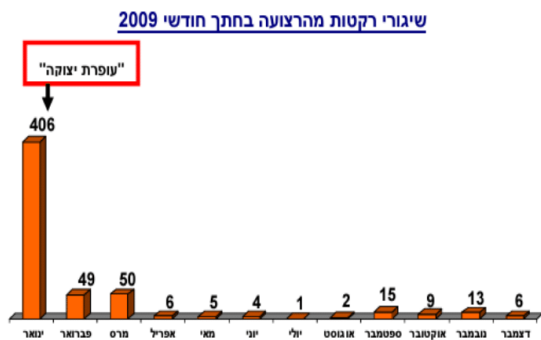
2008

Source: https://en.wikipedia.org/wiki/File:Rock_mort_gaza_2008.JPG



2009

Source: <https://www.shabak.gov.il/reports/>

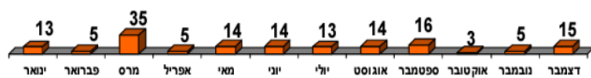


2010

Source: <https://www.shabak.gov.il/reports/>

שיגורי רקטות מהרצועה בחתך חודשי 2010

סה"כ: 152 שיגורים



2011

Source: https://en.wikipedia.org/wiki/List_of_Palestinian_rocket_attacks_on_Israel_in_2011

Month	Missiles launched		Effect of missiles		Retaliation by Israel	
	Rockets	Mortars	Killed	Injured	Killed	Injured
January	17	26		4		
February	6	19			1	17
March	38	87		3	9	8
April	87	57	1	6	8	23
May	1					
June	4	1				
July	20	2				2
August	145	46	1	30	4	2
September	8	2				
October	52	6	1	2	12	
November	11	1		1	2	6
December	30	11			4	4
Total	419	258	3	46	40	62

2012

Source: https://en.wikipedia.org/wiki/List_of_Palestinian_rocket_attacks_on_Israel_in_2012

Month	Missiles launched		Effect of missiles		Retaliation by Israel	
	Rockets	Mortars	Killed	Injured	Killed	Injured
January	9	7				
February	36	1			1	1
March	173	19		14	26	
April	10					
May	3					
June	83	11		1		
July	18	9		1		
August	21	3		1		
September	17	8		7		
October	116	55			8	2
November	1734	83	6	45	6	51
December	1					
Total	2,221	196	6	69	41	54

2013

Source: https://en.wikipedia.org/wiki/List_of_Palestinian_rocket_attacks_on_Israel_in_2013

Month	Missiles launched		Effect of missiles		Retaliation by Israel	
	Rockets	Mortars	Killed	Injured	Killed	Injured
January						
February	1					
March	4					
April	17	5			1	
May	1	4				
June	5					
July	5	2				
August	4					
September	8					
October	3	2				
November		5				
December	4					
Total	52	18	0	0	1	0

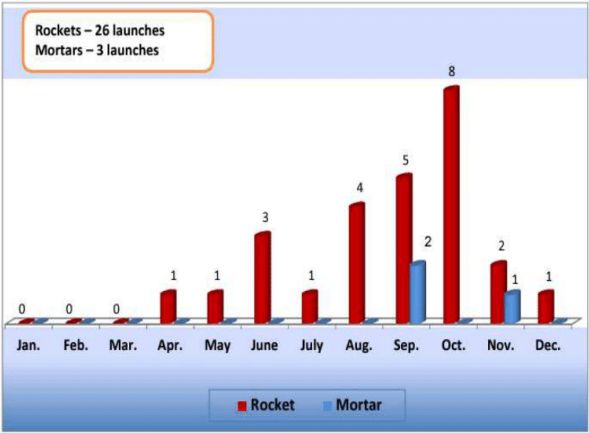
2014

Source: https://en.wikipedia.org/wiki/List_of_Palestinian_rocket_attacks_on_Israel_in_2014

Month	Missiles launched		Effect of missiles		Retaliation by Israel	
	Rockets	Mortars	Killed	Injured	Killed	Injured
January	22	4				
February	9					
March	65	1		1	1	
April	19	5				
May	4	3				
June	62	3		6		
July	2,874	15 ^[6]	6	34	1,122	7,800
August	950		2	19	540	1,913
Total	4,005	31	8	60	1,663	9,713

2015
Source:

2015 monthly distribution of rocket and mortar shell launchings**



See Jewish virtual library for statistics between 2016 and 2022

<https://www.jewishvirtuallibrary.org/palestinian-rocket-and-mortar-attacks-against-israel>

In 2023, the data was taken from both

<https://www.jewishvirtuallibrary.org/palestinian-rocket-and-mortar-attacks-against-israel>

and

Wikipedia

https://en.wikipedia.org/wiki/List_of_Palestinian_rocket_attacks_on_Israel_in_2023

In 2024, the data was taken from

<https://www.shabak.gov.il/reports/>

and also from news sources about Iran's attack in April of 2024